



ตัวควบคุมปรับเฟสของสายอากาศอาร์เรย์

PHASE ARRAY CONTROLLER

โดย

นาย นิรันต์

บัวทอง

นาย สุภชัย

สุภลักษณ์เมธา

นาย เสกสรรค์

วงษ์ปัญญา

วัน เดือน ปี.....	22.คค.2541
เลขทะเบียน.....	039106
เลขเรียกหนังสือ.....	T 4102116 46 217 ๗.

ปริญญาานิพนธ์นี้เป็นส่วนหนึ่งของการศึกษาตามหลักสูตรปริญญาวิศวกรรมบัณฑิต

สาขาวิชาวิศวกรรมโทรคมนาคม

สถาบันเทคโนโลยีพระจอมเกล้าเจ้าคุณทหารลาดกระบัง

ปีการศึกษา 2540

เอกสารนี้เป็นเอกสารที่สงวนไว้สำหรับการใช้งานเพื่อการศึกษาเท่านั้น ไม่อนุญาตให้นำไปใช้ประโยชน์อื่นใด
ไม่ว่ากรณีใดๆ ทั้งสิ้น อีกทั้งห้ามมิให้ดัดแปลงเนื้อหาและต้องอ้างอิงถึงเจ้าของเอกสารทุกครั้งที่มีการนำไปใช้

039106

ตัวควบคุมปรับเฟสของสายอากาศอาร์เรย์

PHASE ARRAY CONTROLLER

โดย

นายนิรันต์ บัวทอง 38013058

นายศุภชัย ศุภลักษณ์เมธา 38013073

นายเสกสรรค์ วงษ์ปัญญา 38013074

อาจารย์ที่ปรึกษา

รศ.ดร.โมไนย ไกรฤกษ์

ปริญญานิพนธ์นี้เป็นส่วนหนึ่งของการศึกษาตามหลักสูตรปริญญาวิศวกรรมศาสตรบัณฑิต

สาขาวิชาวิศวกรรมโทรคมนาคม

สถาบันเทคโนโลยีพระจอมเกล้าเจ้าคุณทหารลาดกระบัง

ปีการศึกษา 2540

เอกสารนี้เป็นเอกสารที่สงวนไว้สำหรับการใช้งานเพื่อการศึกษาเท่านั้น ไม่อนุญาตให้นำไปใช้ประโยชน์ด้านการค้า
ไม่ว่ากรณีใดๆ ทั้งสิ้น อีกทั้งห้ามมิให้ดัดแปลงเนื้อหาและต้องอ้างอิงถึงเจ้าของเอกสารทุกครั้งที่มีการนำไปใช้

ปริญญาานิพนธ์ปีการศึกษา 2540

ภาควิชาวิศวกรรมโทรคมนาคม

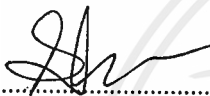
คณะวิศวกรรมศาสตร์ สถาบันเทคโนโลยีพระจอมเกล้าเจ้าคุณทหารลาดกระบัง

เรื่อง ตัวควบคุมปรับเฟสของสายอากาศอาร์เรย์

PHASE ARRAY CONTROLLER

ผู้จัดทำ

- | | | |
|----------------|---------------|----------|
| 1. นายนิรันต์ | บัวทอง | 38013058 |
| 2. นายสุภชัย | สุภลักษณ์เมธา | 38013073 |
| 3. นายเสกสรรค์ | วงษ์ปัญญา | 38013074 |


.....อาจารย์ที่ปรึกษา
(รศ.ดร.โมไนย ไกรฤกษ์)



ตัวควบคุมเฟสของสายอากาศอาร์เรย์

PHASE ARRAY CONTROLLER

โดย	นายนิรันดร์ บัวทอง	38013058
	นายศุภชัย ศุภลักษณ์เมธา	38013073
	นายเสกสรรค์ วงษ์ปัญญา	38013074

อาจารย์ที่ปรึกษา รศ.ดร. โมไนย ไกรฤกษ์

บทคัดย่อ

โครงการนี้เป็นการศึกษา สายอากาศอาร์เรย์ทรงกลมที่สามารถควบคุมโดย ไมโครคอนโทรลเลอร์สำหรับออกแบบตัวควบคุมเฟสของสายอากาศอาร์เรย์ โดยใช้ดีเทคเตอร์ และการแปลงสัญญาณอนาล็อกเป็นดิจิทัล รับสัญญาณส่งให้กับ ไมโครคอนโทรลเลอร์ ประมวลผลเพื่อให้สายอากาศรับสัญญาณสูงสุดตลอดเวลา ที่เขียนโปรแกรมใน หน่วยความจำ ของ ไมโครคอนโทรลเลอร์ ตัวควบคุมเฟสของสายอากาศอาร์เรย์ นี้ใช้ควบคุมกับสายอากาศอาร์เรย์แบบกวาดลำคลื่นได้

ABSTRACT

This project describes the studying of spherical array antenna which is controlled phase by microcontroller for design phase array controller . By using detector and analog digital converter receive signal transfer to microcontroller process for antenna receive highest signal all the time. Which is programming in memory of microcontroller. Phase array controller used control antenna type scan beam.

สารบัญ

เรื่อง

หน้าที่

บทที่ 1 บทนำ	1
บทที่ 2 ทฤษฎีและหลักการ	
2.1 สายอากาศอาร์เรย์ 2 เอลเมนต์	2
2.2 สายอากาศ N เอลเมนต์ เมื่อขนาดของกระแสต่ที่ป้อนแต่ละเอลเมนต์และระยะห่างระหว่างเอลเมนต์ที่มีค่าสม่ำเสมอ	9
2.3 สายอากาศอาร์เรย์แบบวงกลม	18
2.4 การวิเคราะห์สายอากาศอาร์เรย์บนผิวทรงกลม	20
2.5 การติดตามเป้าหมาย(เทคกิ้ง)	21
2.6 ไมโครคอนโทรลเลอร์AT89c51	23
2.7 การแปลงสัญญาณอนาลอกเป็นสัญญาณดิจิทัล ADC0804 ทำงานร่วมกับไมโครคอนโทรลเลอร์MCS 51	25
2.8 การตีเทคสัญญาณและตีเทคเตอร์	25
บทที่ 3 การคำนวณและการสร้าง	
3.1 บล็อกไดอะแกรมของระบบ	29
3.2 วงจรที่เชื่อมต่อ	29
3.3 การออกแบบโปรแกรมเพื่อควบคุมเฟสอาร์เรย์	34
บทที่ 4 การทดลองและผลการทดลอง	
4.1 การทดลองเรื่องการวัดกระแสของรีเลย์ขณะที่ทำงานเพื่อนำไปออกแบบสวิทช์ทรานซิสเตอร์	45
4.2 การทดลองเรื่องการทดลองแรงดันไฟกระแสตรงจากตีเทคเตอร์ผ่านวงจรขยายกระแสตรง	46
4.3 การทดลองการทำงานของวงจรแปลงสัญญาณอนาลอกเป็นสัญญาณดิจิทัล	48
4.4 การทดลองตรวจสอบการทำงานของโปรแกรม	50
บทที่ 5 บทวิจารณ์และสรุป	60
ภาคผนวก	
กิตติกรรมประกาศ	
หนังสืออ้างอิง	

สารบัญรูปภาพ

	ชื่อรูป	หน้าที่
รูปที่ 2.1a	โคโพลจิวสองตัว	2
รูปที่ 2.2b	การสังเกตสนามระยะไกล	3
รูปที่ 2.2	เอเลเมนต์เฟคเตอร์, อาร์เรย์เฟคเตอร์ และสนามลัทธิของอาร์เรย์ ของโคโพลจิวสองตัวที่มี ($\beta = 0^\circ, d = \lambda/4$)	6
รูปที่ 2.3a	เอเลเมนต์เฟคเตอร์, อาร์เรย์เฟคเตอร์ และสนามลัทธิของอาร์เรย์ ของโคโพลจิวสองตัวที่มี ($\beta = +90^\circ, d = \lambda/4$)	7
รูปที่ 2.3b	เอเลเมนต์เฟคเตอร์, อาร์เรย์เฟคเตอร์ และสนามลัทธิของอาร์เรย์ ของโคโพลจิวสองตัวที่มี ($\beta = -90^\circ, d = \lambda/4$)	8
รูปที่ 2.4	รูปการหาสนามระยะไกลของอาร์เรย์ N เอเลเมนต์ของไอโซโทรปิก ซอร์สว่างตามแนวแกน Z	10
รูปที่ 2.5	แพทเทิร์นของยูนิฟอร์มบรอดไซด์อาร์เรย์ ที่มี 10 เอเลเมนต์ ($N = 10, \beta = 0$)	15
รูปที่ 2.6	แพทเทิร์นของยูนิฟอร์มเอนคิไฟร์อาร์เรย์ ที่มี 10 เอเลเมนต์ ($N = 10, D = \lambda/4$)	16
รูปที่ 2.7	แพทเทิร์นของยูนิฟอร์มแอกนนิ่งอาร์เรย์ ที่มี 10 เอเลเมนต์	17
รูปที่ 2.8	แสดงอาร์เรย์แบบวงกลม	18
รูปที่ 2.9	แพทเทิร์นของอาร์เรย์แบบวงกลม 10 เอเลเมนต์	19
รูปที่ 2.10	แสดงอาร์เรย์แบบทรงกลม	20
รูปที่ 2.11	การเปรียบเทียบสัญญาณของซีควอนเซิล-โอบ	22
รูปที่ 2.12	การจัดวางขาของ AT89c51	24
รูปที่ 2.13	วงจรเชื่อมต่อกับ MCS51 กับ ADC0804	26
รูปที่ 2.14	วงจรคิตเตอร์	27
รูปที่ 2.15	กราฟคุณลักษณะ I-V ของไดโอด	27
รูปที่ 3.1	บล็อกไดอะแกรมของระบบ	29
รูปที่ 3.2	วงจรทรานซิสเตอร์เฟสชิฟเตอร์	30
รูปที่ 3.3	วงจรไมโครคอนโทรลเลอร์ และ วงจรแปลงสัญญาณอนาลอกเป็นดิจิตอล	31
รูปที่ 3.4	วงจรแสดงผลแอลอีดี และ สวิตช์โหมดเลือกเฟส	32
รูปที่ 3.5	วงจรขยายแรงดันดิซี แบบกลับเฟสและแพทเทิร์นตัวอย่างของสายอากาศ อาร์เรย์แบบวงกลมที่ใช้เพื่อนำมาออกแบบโปรแกรมควบคุม	33
รูปที่ 3.6	โฟลว์ชาร์ทที่แสดงการทำงานของโปรแกรม	36
รูปที่ 4.1	การวัดกระแสรีเลย์ที่ใช้แรงดัน 9 V	45

รูปที่ 4.2	การวัดกระแสรีเลย์ที่ใช้แรงดัน 48 V	46
รูปที่ 4.3	กราฟแสดงค่าเอ้าท์พุทของดีเทคเตอร์ที่ผ่านวงจรมหา	48
รูปที่ 4.4	แสดงรูปผลการทดลอง A/D ที่อินพุทเข้า A/D 0.2 V	49
รูปที่ 4.5	แสดงรูปผลการทดลอง A/D ที่อินพุทเข้า A/D 0.4 V	50
รูปที่ 4.6	แสดงรูปแพทเทอร์นเมื่อปรับเฟสที่ 45 องศา	51
รูปที่ 4.7	แสดงรูปแพทเทอร์นเมื่อปรับเฟสที่ 90 องศา	52
รูปที่ 4.8	แสดงรูปแพทเทอร์นเมื่อปรับเฟสที่ 135 องศา	53
รูปที่ 4.9	แสดงรูปแพทเทอร์นเมื่อปรับเฟสที่ 180 องศา	54
รูปที่ 4.10	แสดงรูปแพทเทอร์นเมื่อปรับเฟสที่ 225 องศา	55
รูปที่ 4.11	แสดงรูปแพทเทอร์นเมื่อปรับเฟสที่ 270 องศา	56
รูปที่ 4.12	แสดงรูปแพทเทอร์นเมื่อปรับเฟสที่ 315 องศา	57
รูปที่ 4.13	แสดงรูปแพทเทอร์นเมื่อปรับเฟสที่ 360 องศา	58
รูปที่ 4.14	แสดงการต่อเครื่องควบคุมเฟสเข้ากับเน็ตเวิร์คออนไลน์เซอร์	59



สารบัญตาราง

	ชื่อตาราง	หน้าที่
ตารางที่ 2.1	ตารางการถืออภิสิทธิ์	24
ตารางที่ 2.2	แสดงการจัดตั้งญาณการเขียนข้อมูลลง EEPROM	24
ตารางที่ 3.1	แสดงค่าการสวิตช์เฟสซีฟเตอร์	34
ตารางที่ 3.2	แสดงค่าเฟสของสายอากาศอาร์เรย์แต่ละบีม	35
ตารางที่ 4.1	แสดงผลการวัดกระแสของรีเลย์	46
ตารางที่ 4.2	ตารางผลการทดลองแรงดันไฟกระแสตรงจากคิเทคเตอร์ผ่าน วงจรขยายกระแสตรง	47
ตารางที่ 4.3	แสดงค่าของรหัสที่ได้เมื่อป้อนอินพุตค่าต่างๆ	48



บทที่ 1

บทนำ

เนื่องจากการแพร่กระจายคลื่นของสายอากาศเดี่ยวนั้นจะมีแพทเทิร์นค่อนข้างกว้างและมีแกนต่ำ แต่ว่าในงานบางอย่างต้องการใช้สายอากาศที่มีแกนสูง ซึ่งการที่จะเพิ่มแกนทำได้โดยการเพิ่มขนาดของสายอากาศ โดยคุณสมบัติในการชี้ทิศทางจะดีขึ้น แต่ก็มีวิธีอื่นที่จะเพิ่มแกนของสายอากาศ โดยไม่ต้องเพิ่มขนาดของสายอากาศ ซึ่ง จะทำการวัดเอเลเมนต์ (Element) ที่แพร่กระจายคลื่นให้เหมาะสมทั้งทางไฟฟ้าและรูปทรงซึ่งเรียกว่า อาร์เรย์ (Array)

ลักษณะรูปแบบของการกระจายพลังงานของคลื่น หรือที่เรียกกันเป็นคำศัพท์เฉพาะว่า "แพทเทิร์น การกระจายคลื่น" ของสายอากาศ ทิศทางที่สายอากาศจะแผ่กระจายคลื่นออกไปนั้น อาจพุ่งขึ้นไปในท้องฟ้า หรือพุ่งไปในทิศทางต่าง ๆ ทั้งนี้ขึ้นอยู่กับกรอกแบบสายอากาศนั้น คุณสมบัติที่สำคัญอย่างหนึ่งอย่างหนึ่งของสาย อากาศก็คือ แพทเทิร์นแสดงความเข้มของคลื่นแม่เหล็กไฟฟ้าที่ได้กระจายออกไปจากสายอากาศในทิศทางต่าง ๆ ตามธรรมชาติแล้วแพทเทิร์นนี้จะมีลักษณะกระจายไปในทั้ง 3 มิติ แต่การเขียนรูปการแสดงผลแพทเทิร์นการกระจาย คลื่นในลักษณะ 3 มิตินั้นทำได้ลำบาก ดังนั้นโดยทั่วไปแล้วการเขียนรูปแสดงผลแพทเทิร์นการกระจายคลื่นของสาย อากาศจึงมักนิยมแบ่งเขียนกันอยู่ในสองระนาบเท่านั้น คือการเขียนรูปแสดงผลแพทเทิร์นการกระจายคลื่นของสาย อากาศในระนาบแนวนอน และในระนาบแนวตั้ง

สายอากาศปรับเฟสอาร์เรย์ประโยชน์ที่เห็นได้ชัดคือ เมื่อนำสายอากาศชนิดนี้ติดตั้งบนรถ เมื่อรถนั้น เกิดการเคลื่อนที่ ดังนั้น ทิศทางของการแพร่กระจายคลื่นย่อมเปลี่ยนไปมากหรือน้อย ขึ้นอยู่กับมุมหรือองศาที่ เปลี่ยนไปเมื่อทำการเลี้ยวรถ แต่นั่นก็ไม่ใช่อุปสรรคสำคัญ เพราะจะมีอุปกรณ์ชุดหนึ่งที่สามารถทำการปรับเฟสโดย ส่วนของโปรแกรม จะสั่งการให้สวิตช์นั้นทำการเลื่อนเฟสหรือปรับเฟสไปที่ตำแหน่งที่มีการแพร่กระจายคลื่นสูงที่ สุด

รายงานฉบับนี้จะกล่าวถึง หลักการทำงาน โครงสร้างและหน้าที่ของอุปกรณ์แต่ละชนิดที่สั่งการ อย่างเป็นขั้นตอนเมื่อรับข้อมูลมาแล้วว่า ณ ตำแหน่งนั้น ๆ มีการแพร่กระจายคลื่นมากหรือน้อย ถ้าน้อยหรือเห็นสมควร แล้ว จะสามารถทำการปรับเฟสของสายอากาศได้อย่างไร ให้ได้ทิศทางที่มีการแพร่กระจายคลื่นสูงสุด

บทที่ 2 ทฤษฎีและหลักการ อาร์เรย์

คุณสมบัติของการแพร่กระจายคลื่นของสายอากาศเดี่ยว ซึ่งมีแพทเทิร์นค่อนข้างกว้างและมีเกนต่ำ แต่ในงานบางอย่างต้องการใช้สายอากาศที่มีเกนสูง การเพิ่มเกนนี้อาจทำได้โดยเพิ่มขนาดของสายอากาศ

แม้ว่าการเพิ่มขนาดของสายอากาศเดี่ยวจะทำให้คุณสมบัติในการชี้ทิศทางดีขึ้นก็ตาม แต่ก็ยังมีวิธีอื่นที่จะเพิ่มขนาดของสายอากาศ โดยไม่ต้องเพิ่มขนาดของสายอากาศที่นำมาทำเป็นเอลเมนต์ (Element) ซึ่งทำได้โดยจัดเอลเมนต์ที่แพร่กระจายคลื่นให้เหมาะสมทั้งทางไฟฟ้า และรูปทรง ซึ่งเรียกว่า อาร์เรย์ (Array) ปกติแล้วจะเลือกให้แต่ละเอลเมนต์ของอาร์เรย์เหมือนกัน

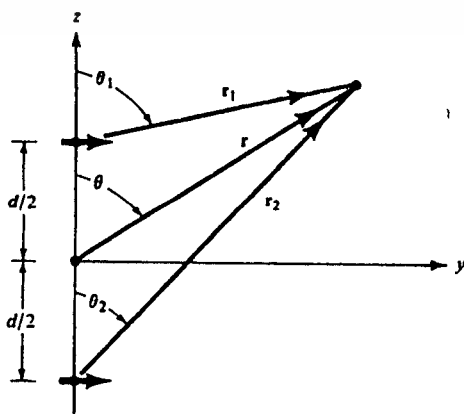
เมื่อตัดการคับปลิง (Coupling) ระหว่างเอลเมนต์ทั้ง จะหาสนามลัพธ์ของอาร์เรย์ได้โดยบวกเวกเตอร์ของสนามที่แพร่กระจายจากแต่ละเอลเมนต์ สนามจะรวมกันในทิศทางที่ต้องการติดต่อสื่อสาร และหักล้างกันในทิศทางที่ไม่ต้องการติดต่อสื่อสาร

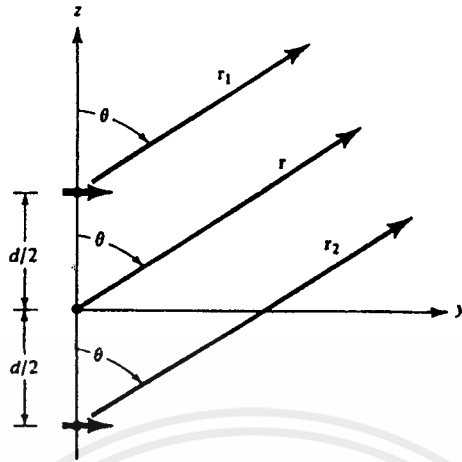
มีอยู่ 5 วิธีด้วยกันที่จะควบคุมแพทเทิร์นของสายอากาศ ซึ่งทำได้โดยควบคุมสิ่งต่าง ๆ ต่อไปนี้

คือ

1. การจัดเรียงเอลเมนต์ของอาร์เรย์ (เป็นเส้นตรง , วงกลม , สี่เหลี่ยม ฯลฯ)
2. ระยะห่างระหว่างเอลเมนต์
3. ขนาดของกระแสที่ป้อนแต่ละเอลเมนต์
4. เฟสของกระแสที่ป้อนแต่ละเอลเมนต์
5. แพทเทิร์นของแต่ละเอลเมนต์

2.1 อาร์เรย์สองเอลเมนต์





b) การสังเกตสนามระยะไกล

รูป 2.1 รูปของอาร์เรย์ 2 เอลเมนต์ ที่วางตามแนวแกน z

สมมติว่ามีไดโพลจิว 2 ตัว (ตามที่กล่าวมาแล้วว่าไดโพลจิว คือไดโพลที่มีความยาวน้อยมากเมื่อเทียบกับความยาวคลื่น) วางตามแนวนอนและเรียงตามแกน z ดังแสดงในรูป 2.1a) และสมมติว่าไม่มีคัปปลิงระหว่างเอลเมนต์ทั้งสอง ดังนั้นสนามที่แพร่กระจายจากสายอากาศจิวทั้งสองจะเป็นผลรวมของสนามจากสายอากาศทั้งสองนั้น เมื่อคิดในระนาบ yz จะได้ผลลัพธ์ดังนี้

$$\begin{aligned} \bar{E}_r = \bar{E}_1 + \bar{E}_2 = \bar{a}_0 j \eta \frac{kl \cdot 2}{4\pi} \left\{ \frac{e^{-j(kr_1 - (\beta/2))}}{r_1} |\cos \theta_1| \right. \\ \left. + \frac{e^{-j(kr_2 + (\beta/2))}}{r_2} |\cos \theta_2| \right\} \end{aligned} \quad (2.1)$$

เมื่อ B เป็นความต่างเฟสของกระแสที่ป้อนให้แก่เอลเมนต์ทั้งสอง โดยที่ป้อนให้มีขนาดของกระแสเท่ากัน ถ้าทำการสังเกตหาสนามที่ระยะทางไกล ๆ ดังแสดงในรูป 2.1b จะสามารถประมาณค่าได้ดังต่อไปนี้

$$\theta_1 \cong \theta_2 \cong \theta \quad (2.2a)$$

$$\left. \begin{aligned} r_1 &\cong r - \frac{d}{2} \cos \theta \\ r_2 &\cong r + \frac{d}{2} \cos \theta \end{aligned} \right\} \text{สำหรับการแปรผันของเฟส} \quad (2.2b)$$

เอกสารนี้เป็นเอกสารที่สงวนลิขสิทธิ์ไว้สำหรับการใช้เฉพาะสำหรับการแปรผันของขนาด ณ จุดใด ๆ (2.2c) โดยขึ้นด้านการค้าไม่ว่ากรณีใดๆ ทั้งสิ้น อีกทั้งห้ามมิให้ตัดแปลงเนื้อหาและต้องอ้างอิงถึงเจ้าของเอกสารทุกครั้งที่มีการนำไปใช้

(2.1) จะกลายเป็นดังนี้

$$\begin{aligned}\bar{E}_r &= \bar{a}_0 j \eta \frac{kl \cdot le^{-1kr}}{4\pi r} |\cos \theta| [e^{+j(kd \cos \theta + \beta) \sqrt{2}} + e^{-j(kd \cos \theta + \beta) \sqrt{2}}] \\ &= \bar{a}_0 j \eta \frac{kl \cdot le^{-1kr}}{4\pi r} |\cos \theta| 2 \cos \left[\frac{1}{2} (kd \cos \theta + \beta) \right]\end{aligned}\quad (2.3)$$

จาก (2.3) จะเห็นว่าสนามลัพท์ของอาร์เรย์มีค่าเท่ากับสนามของเอลเมนต์เดี่ยวที่วางอยู่ที่ ออริจิน คูณด้วยแฟกเตอร์ ซึ่งเรียกว่าอาร์เรย์แฟกเตอร์ (Array Factor) เพราะฉะนั้นอาร์เรย์แฟกเตอร์ของอาร์เรย์ 2 เอลเมนต์ ที่มีขนาดของกระแสที่ป้อนให้แต่ละเอลเมนต์เท่ากันจะมีค่าดังนี้คือ

$$AF = 2 \cos \left[\frac{1}{2} (kd \cos \theta + \beta) \right] \quad (2.4)$$

ซึ่งนอร์มอลไลซ์อาร์เรย์แฟกเตอร์นี้จะมีค่าดังนี้

$$(AF)_n = \cos \left[\frac{\eta}{2} (kd \cos \theta + \beta) \right] \quad (2.4a)$$

จะเห็นว่าอาร์เรย์แฟกเตอร์เป็นฟังก์ชันของรูปทรงอาร์เรย์ และเฟสของการป้อนกระแสให้กับเอลเมนต์ของอาร์เรย์ เราสามารถควบคุมสนามลัพท์ของอาร์เรย์ได้โดยเปลี่ยนแปลงระยะห่างระหว่างเอลเมนต์ d และ β หรือเฟส B ซึ่งสนามระยะไกลของอาร์เรย์ 2 เอลเมนต์ที่เหมือนกัน และมีขนาดของการป้อนกระแสสม่ำเสมอจะมีค่าดังต่อไปนี้

$$\bar{E}(\text{ลัพท์}) = |\bar{E}(\text{เอลเมนต์เดี่ยวอยู่ที่ออริจิน})| \times [\text{อาร์เรย์แฟกเตอร์}] \quad (2.5)$$

เรียก (2.5) ว่าหลักการคูณแพทเทิร์น (Pattern Multiplication)

ตัวอย่าง 2.1 จงหาลักษณะของสนามที่แพร่กระจายจากอาร์เรย์ในรูป 2.1 เมื่อ $d = \lambda/4$ และ (a) β

$$= 0, (b) \beta = \frac{+\pi}{2}, (c) \beta = \frac{-\pi}{2}$$

วิธีทำ (a) $\beta = 0$ สนามนอร์มอลไลซ์มีค่าดังนี้

$$E_n = |\cos \theta| \cos \left(\frac{\pi}{4} \cos \theta \right)_{\theta=\theta_n} = 0$$

$$\cos \theta_n = 0 \rightarrow \theta_n = 90^\circ$$

เอกสารนี้เป็นเอกสารที่สงวนไว้สำหรับใช้งานเพื่อการศึกษานี้เท่านั้น ไม่อนุญาตให้นำไปใช้ประโยชน์ด้านการค้า และ ไม่สามารถนำออกทางอื่นใดได้โดยไม่ได้รับอนุญาตจากเจ้าของเอกสารทุกครั้งที่มีการนำไปใช้

เพราะฉะนั้นจะมีนัลเกิดขึ้นเฉพาะที่ $\theta = 90^\circ$ และเป็นนัลที่เกิดจากเอเลเมนต์แพทเทอร์น อาร์เรย์แฟคเตอร์จะไม่ทำให้เกิดนัล เพราะระยะห่างระหว่างเอเลเมนต์ไม่มากพอที่จะทำให้เกิดความต่างเฟส 180° ระหว่างเอเลเมนต์

$$b) \beta = \frac{+\pi}{2} \text{ สนามนอร์มอลไซม์มีค่าดังนี้}$$

$$E_m = |\cos \theta| \cos\left(\frac{\pi}{4}(\cos \theta + 1)\right)_{\theta=\theta_n} = 0$$

$$\cos \theta_n = 0 \rightarrow \theta_n = 90^\circ$$

และ $\cos\left(\frac{\pi}{4}(\cos \theta + 1)\right)_{\theta=\theta_n} = 0 \rightarrow \frac{\pi}{4}(\cos \theta_n + 1) = \frac{\pi}{2} \rightarrow \theta_n = 0^\circ$

และ $\rightarrow \frac{\pi}{4}(\cos \theta_n + 1) = \frac{-\pi}{2} \rightarrow \theta_n$ ไม่มี

จะเห็นว่านัลของอาร์เรย์จะเกิดขึ้นที่ $\theta = 90^\circ$ และ 0° นัลที่ 0° เกิดจากอาร์เรย์แฟคเตอร์ เพราะเอเลเมนต์ที่แกน $-z$ มีเฟสตามหลังอีกเอเลเมนต์ที่อยู่ 90° เมื่อคลื่นจากเอเลเมนต์นั้นเดินทางไปตามแกน $+z$ จะทำให้เกิดความหน่วงเฟสไปอีก 90° เมื่อไปถึงอีกเอเลเมนต์หนึ่งบนแกน $+z$ จะมีเฟสทั้งหมด 180° และคลื่นทั้งสองจะมีเฟสเดียวกัน เมื่อเดินทางไปตามแกน $-z$ ($\theta = 180^\circ$)

$$c) \beta = \frac{-\pi}{2} \text{ สนามนอร์มอลไซม์มีค่าดังนี้}$$

$$E_m = |\cos \theta| \cos\left(\frac{\pi}{4}(\cos \theta - 1)\right)_{\theta=\theta_n} = 0$$

$$\cos \theta_n = 0 \rightarrow \theta_n = 90^\circ$$

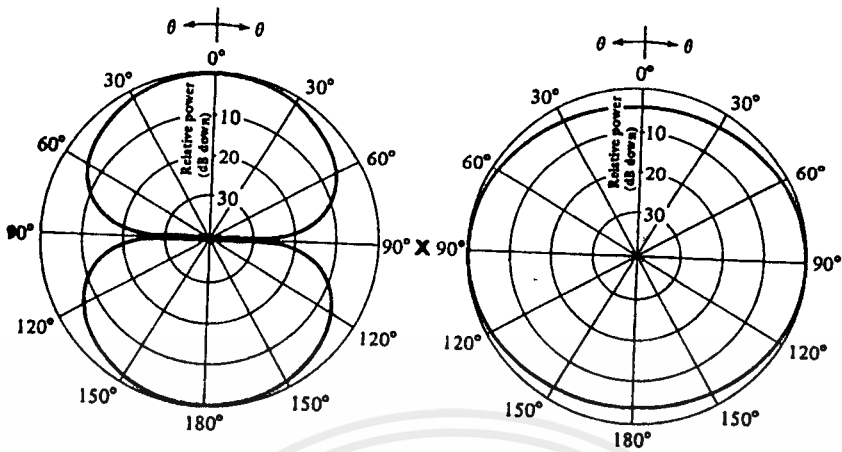
และ $\cos\left(\frac{\pi}{4}(\cos \theta - 1)\right) = 0 \rightarrow \frac{\pi}{4}(\cos \theta_n - 1) = \frac{\pi}{2} \rightarrow \theta_n$ ไม่มี

และ $\rightarrow \frac{\pi}{4}(\cos \theta_n - 1) = \frac{-\pi}{2} \rightarrow \theta_n = 180^\circ$ ไม่มี

จะมีนัลเกิดที่ $\theta = 90^\circ$ และ 180° ตามลำดับ

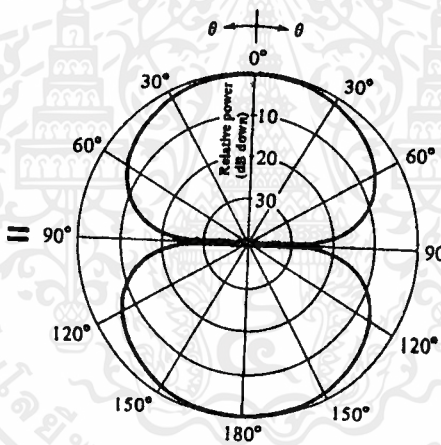
ขอให้ดูรูปการลู่แพทเทอร์นในรูป 2.2 , 2.30 และ 2.3 b

เอกสารนี้เป็นเอกสารที่สงวนไว้สำหรับการใช้งานเพื่อการศึกษาเท่านั้น ไม่อนุญาตให้นำไปใช้ประโยชน์ด้านการค้า ไม่ว่ากรณีใดๆ ทั้งสิ้น อีกทั้งห้ามมิให้ดัดแปลงเนื้อหาและต้องอ้างอิงถึงเจ้าของเอกสารทุกครั้งที่มีการนำไปใช้



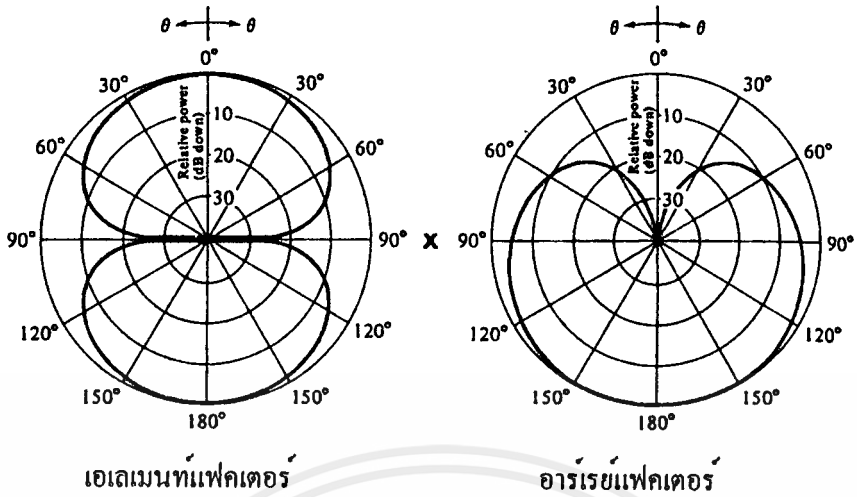
เอเลเมนต์แฟคเตอร์

อาร์เรย์แฟคเตอร์



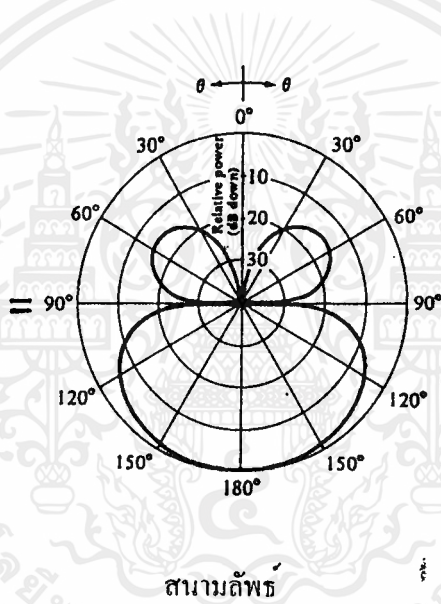
สนามลัพธ์

รูป 2.2 เอเลเมนต์แฟคเตอร์ , อาร์เรย์แฟคเตอร์ และสนามลัพธ์ของอาร์เรย์ของไดโพลจิวสองตัวที่มี $\beta = 0^\circ, d = \lambda/4$



เอเลเมนต์แฟคเตอร์

อาร์เรย์แฟคเตอร์

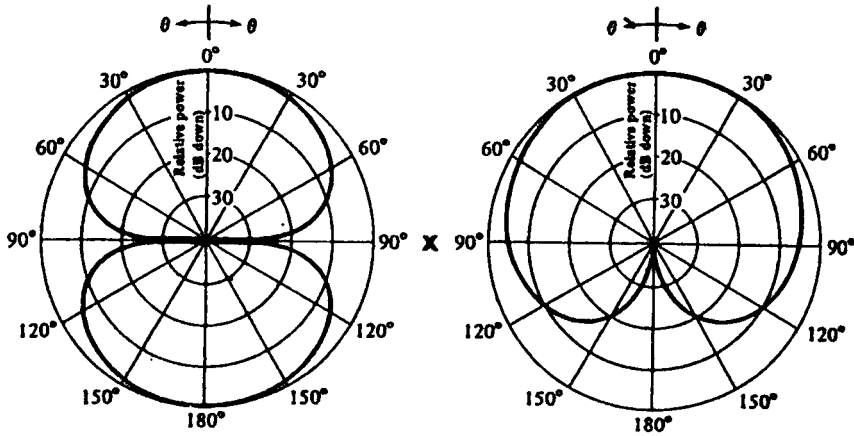


สามมัลทิพ

รูป 2.3a การคูณแพทเทิร์นของเอเลเมนต์แฟคเตอร์ , อาร์เรย์แฟคเตอร์และสามมัลทิพของไดโพลี วสองตัวที่มี

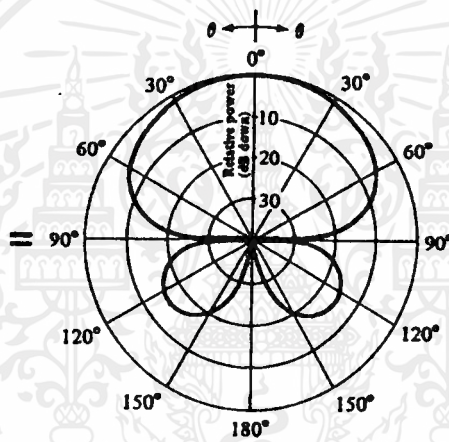
a) $\beta=+90^\circ$, $d = \lambda/4$

b) $\beta=+90^\circ$, $d = \lambda/4$



เอลเมนต์แฟคเตอร์

อาร์เรย์แฟคเตอร์



สนามลัพท์

รูป 2.3b (ต่อ)

ตัวอย่าง 2.2 จากอาร์เรย์เหมือนในรูป 2.1 a,b ที่วางแต่ละเอลเมนต์ห่างกัน d และความต่างเฟสของการป้อนกระแสเป็น β จงหามุมที่เกิดนัล เมื่อขนาดของการป้อนกระแสเท่ากัน

วิธีทำ จาก (2.3)

$$E_n = |\cos \theta| \cos \left[\frac{1}{2} (kd \cos \theta + \beta) \right]_{\theta=0, \pi}$$

เพราะฉะนั้น $\cos \theta_n = 0 \rightarrow \theta_n = 90^\circ$

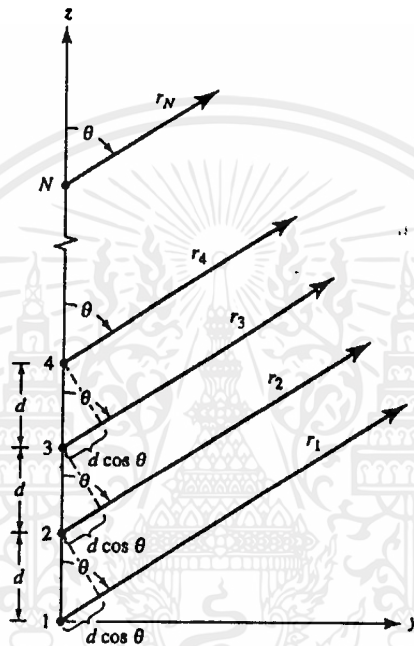
$$\text{และ } \cos \left[\frac{1}{2} (kd \cos \theta_n + \beta) \right] = 0 \rightarrow \frac{1}{2} (kd \cos \theta_n + \beta) = \pm \left(\frac{2n+1}{2} \right) \pi$$

เอกสารนี้เป็นเอกสาร → $\theta_n = \cos^{-1} \left(\frac{\lambda}{2\pi d} [-3 \pm (2n+1)\pi] \right), n = 0, 1, 2, \dots$ ไปอนุญาตให้นำไปใช้ประโยชน์ด้านการค้า
ไม่ว่ากรณีใดๆ ทั้งสิ้น อีกทั้งห้ามมิให้ดัดแปลงเนื้อหาและต้องอ้างอิงถึงเจ้าของเอกสารทุกครั้งที่มีการนำไปใช้

จะมีนัลเกิดที่ $\theta = 90^\circ$ ซึ่งเกิดจากเอเลเมนต์แพทเทอร์น ในขณะที่นัลที่เหลือเกิดจากอาร์เรย์แฟคเตอร์ ถ้า $\beta = 0^\circ$ ในที่นี้ d ต้อง $\geq \frac{\lambda}{2}$ ถึงจะเกิดอย่างน้อย 1 นัล

2.2 อาร์เรย์ N เอเลเมนต์

เมื่อขนาดของกระแสน้ำที่ป้อนแต่ละเอเลเมนต์และระยะห่างระหว่างเอเลเมนต์มีค่าสม่ำเสมอ



รูป 2.4 รูปการหาสนามระยะไกลของอาร์เรย์ N เอเลเมนต์ของไอโซโทรปิกซอร์สว่างตามแนวแกน Z

ตามรูป 2.4 มีเอเลเมนต์ที่เหมือนกันอยู่ N ตัว แต่ละเอเลเมนต์มีเฟสต่างกัน β จะเรียกอาร์เรย์แบบนี้ว่ายูนิฟอร์มอาร์เรย์ (Uniform Array)

สนามลัพท์ของอาร์เรย์นี้จะเป็นการคูณแพทเทอร์นระหว่างเอเลเมนต์แพทเทอร์นกับอาร์เรย์แฟคเตอร์ ในกรณีนี้อาร์เรย์แฟคเตอร์จะมีค่าดังต่อไปนี้

$$AF = 1 + e^{+j(kd \cos \theta + \beta)} + e^{+j2(kd \cos \theta + \beta)} + \dots + e^{j(N-1)(kd \cos \theta + \beta)}$$

$$AF = \sum_{n=1}^N e^{j(n-1)(kd \cos \theta + \beta)} \tag{2.6}$$

ซึ่งเขียนได้ว่า

เอกสารนี้เป็นเอกสารสงวนลิขสิทธิ์สำหรับการใช้งานเพื่อการศึกษาเท่านั้น ไม่อนุญาตให้นำไปใช้ประโยชน์ด้านการค้า
 ไม่ว่ากรณีใดๆ ทั้งสิ้น ผู้ที่ห้ามมิให้ตัดแปลงเนื้อหาและต้องอ้างอิงถึงเจ้าของเอกสารทุกครั้งที่มีการนำไปใช้

$$AF = \sum_{n=1}^N e^{j(n-1)\phi} \tag{2.7}$$

เมื่อ $\varphi = kd \cos \theta + \beta$ (2.7a)

เมื่อคูณทั้งสองข้างของ (2.7) ด้วย $e^{j\varphi}$ จะได้

$$(AF)e^{j\varphi} = e^{j\varphi} + e^{j2\varphi} + e^{j3\varphi} + \dots + e^{j(N-1)\varphi} + e^{jN\varphi} \quad (2.8)$$

และเมื่อลบ (2.7) ออกจาก (2.8) จะได้ผลลัพธ์ดังนี้

$$AF(e^{j\varphi} - 1) = (-1 + e^{jN\varphi}) \quad (2.9)$$

หรือเขียนได้ว่า

$$\begin{aligned} AF &= \left[\frac{e^{jN\varphi} - 1}{e^{j\varphi} - 1} \right] = e^{j(N-1)/2\varphi} \left[\frac{e^{j(N/2)\varphi} - e^{-j(N/2)\varphi}}{e^{j(\frac{1}{2})\varphi} - e^{-j(\frac{1}{2})\varphi}} \right] \\ &= e^{j[(N-1)/2]\varphi} \left[\frac{\sin\left(\frac{N}{2}\varphi\right)}{\sin\left(\frac{1}{2}\varphi\right)} \right] \end{aligned} \quad (2.10)$$

ถ้าจุดเปรียบเทียบเฟสเป็นจุดกึ่งกลางของอาร์เรย์ (2.10) จะกลายเป็นดังนี้

$$AF = \left[\frac{\sin\left(\frac{N}{2}\varphi\right)}{\sin\left(\frac{1}{2}\varphi\right)} \right] \quad (2.10a)$$

ถ้าค่า φ มีค่าน้อย ๆ จะประมาณ (2.10a) ได้ว่า

$$AF \cong \left[\frac{\sin\left(\frac{N}{2}\varphi\right)}{\left(\frac{\varphi}{2}\right)} \right] \quad (2.10b)$$

(2.10a) และ (2.10b) มีค่าสูงสุดเท่ากับ N และค่านอร์มอลไลซ์อาร์เรย์แฟคเตอร์จะมีค่าดังนี้คือ

เอกสารนี้เป็นเอกสารที่สงวนไว้สำหรับการใช้งานเพื่อการศึกษาเท่านั้น ไม่อนุญาตให้นำไปใช้ประโยชน์ด้านการค้า
ไม่ว่ากรณีใดๆ ทั้งสิ้น อีกทั้งห้ามมิให้ตัดแปลงเนื้อหาและต้องอ้างอิงถึงเจ้าของเอกสารทุกครั้งที่มีการนำไปใช้

$$(AF)_n = \frac{1}{N} \left[\frac{\sin\left(\frac{N}{2}\varphi\right)}{\sin\left(\frac{1}{2}\varphi\right)} \right] \quad (2.10c)$$

และ

$$(AF)_n \cong \frac{1}{N} \left[\frac{\sin\left(\frac{N}{2}\varphi\right)}{\frac{N\varphi}{2}} \right] \quad (2.10d)$$

ถ้าจะหาค่าจะกำหนดให้ (2.10c) และ (2.10d) เท่ากับศูนย์ เพราะฉะนั้น

$$\sin\left(\frac{N\varphi}{2}\right) = 0 \rightarrow \frac{N\varphi}{2} \Big|_{\varphi=\theta_n} = \pm n\pi \rightarrow \theta_n = \cos^{-1} \left[\frac{\lambda}{2\pi d} \left(-\beta + \frac{2n\pi}{N} \right) \right] \quad (2.11)$$

$$n = 1, 2, 3, \dots$$

$$n \neq N, 2N, 3N \text{ พร้อมกับ (2.10c)}$$

เมื่อ $n = N, 2N, 3N, \dots$ (2.10c) จะมีค่าสูงสุด เพราะจะอยู่ในรูปแบบ $\frac{\sin(0)}{0}$ ค่า n เป็นตัวกำหนดกำลังของนัล (ที่หนึ่ง, ที่สอง ฯลฯ) สำหรับในกรณีที่มีค่าเป็นศูนย์ อาร์คไซน์ของอาร์คโคไซน์ (ArcCrosine) ไม่สามารถเป็นหนึ่ง ดังนั้นจำนวนนัลที่ได้จะเป็นฟังก์ชันของระยะระหว่างเอลเมนต์ d และความต่างเฟส β

นอกจากนี้ค่าสูงสุดของ (2.10c) จะเกิดขึ้นเมื่อ

$$\frac{\varphi}{2} = \frac{1}{2} (kd \cos \theta + \beta) \Big|_{\varphi=\theta_m} = \pm m\pi \rightarrow \theta_m = \cos^{-1} \left[\frac{\lambda}{2\pi d} (-\beta \pm 2m\pi) \right] \quad (2.12)$$

$$m = 0, 1, 2, \dots$$

อาร์เรย์แฟคเตอร์ใน (2.10c) มีค่าสูงสุดค่าเดียว ซึ่งจะเกิดขึ้นเมื่อ $m = 0$ ใน (2.12) นั่นคือ

$$\theta_m = \cos^{-1} \left(\frac{\lambda\beta}{2\pi d} \right) \quad (2.13)$$

เอกสารนี้เป็นเอกสารที่สงวนไว้สำหรับการใช้งานเพื่อการศึกษาเท่านั้น ไม่อนุญาตให้นำไปใช้ประโยชน์ด้านการค้าไม่ว่ากรณีใดๆ ทั้งสิ้น อีกทั้งห้ามมิให้ตัดแปลงเนื้อหาและต้องอ้างอิงถึงเจ้าของเอกสารทุกครั้งที่มีการนำไปใช้

ซึ่งเป็นมุมที่ทำให้การสังเกตที่ทำให้ $\varphi = 0$

จุด - 3dB ของอาร์เรย์แฟคเตอร์ใน (2.10d) จะเกิดขึ้นเมื่อ

$$\frac{N\varphi}{2} = \frac{N}{2} (kd \cos \theta + \beta) \Big|_{\theta=\theta_n} = \pm 1.391$$

$$\rightarrow \theta_n = \cos^{-1} \left[\frac{\lambda}{2\pi d} \left(-\beta \pm \frac{2.782}{N} \right) \right] \quad (2.14)$$

ซึ่งอาจเขียนได้ว่า

$$\theta_n = \frac{\pi}{2} - \sin^{-1} \left[\frac{\lambda}{2\pi d} \left(-\beta \pm \frac{2.782}{N} \right) \right] \quad (2.14a)$$

ถ้า $d \gg \lambda$ จะได้ค่า

$$\theta_n \cong \left[\frac{\pi}{2} - \frac{\lambda}{2\pi d} \left(-\beta \pm \frac{2.782}{N} \right) \right] \quad (2.14b)$$

จะหาค่า HPBW θ_h ได้เมื่อหามุมของ θ_m แรก และ HPBW (θ_h) ได้ ซึ่งถ้าแพทเทิร์นมีลักษณะสมมาตรตรงบริเวณมีหลัก จะได้ว่า

$$\theta_h = 2|\theta_m - \theta_n| \quad (2.14c)$$

สำหรับอาร์เรย์แฟคเตอร์ใน (2.10d) จะมีค่าสูงสุดค่าที่สอง (ค่าสูงสุดของไซน์โคส) ซึ่งเกิดขึ้นโดยประมาณ เมื่อเศษของ (2.10d) มีค่าสูงสุดนั้นคือ

$$\sin\left(\frac{N\varphi}{2}\right) = \sin\left[\frac{N}{2}(kd \cos \theta + \beta)\right]_{\theta=\theta_s} \cong \pm 1$$

$$\rightarrow \left[\frac{N}{2}(kd \cos \theta + \beta)\right]_{\theta=\theta_s} \cong \pm \left(\frac{2S+1}{2}\right)\pi$$

$$\rightarrow \theta_s \cong \cos^{-1} \left\{ \frac{\lambda}{2\pi d} \left[-\beta \pm \frac{2S+1}{N} \right] \pi \right\}$$

เอกสารนี้เป็นเอกสารที่สงวนไว้สำหรับการใช้งานเพื่อการศึกษาเท่านั้น ไม่อนุญาตให้นำไปใช้ประโยชน์ด้านการค้าไม่ว่ากรณีใดๆ ทั้งสิ้น อีกทั้งห้ามมิให้ตัดแปลงเนื้อหาและต้องอ้างอิงถึงเจ้าของเอกสารทุกครั้งที่มีการนำไปใช้

$$S = 1, 2, 3, \dots \tag{2.15}$$

ซึ่งอาจเขียนได้ว่า

$$\theta_s \cong \frac{\pi}{2} - \sin^{-1} \left\{ \frac{\lambda}{2\pi d} \left[-\beta \pm \frac{2S+1}{N} \right] \pi \right\}, S = 1, 2, 3, \dots \tag{2.15a}$$

ถ้า $d \gg \lambda$ จะหาค่า θ ได้ดังนี้

$$\theta_s \cong \frac{\pi}{2} - \frac{\lambda}{2\pi d} \left[-\beta \pm \left(\frac{2S+1}{N} \right) \pi \right], S = 1, 2, 3, \dots \tag{2.15b}$$

ส่วนค่าสูงสุดของไซด์โลบแรกของ (2.10c) เกิดขึ้นโดยประมาณเมื่อ

$$\frac{N\varphi}{2} = \frac{N}{2} (kd \cos \theta + \beta) \Big|_{\theta=\theta_s} \cong \pm \left(\frac{3\pi}{2} \right) \tag{2.16}$$

หรือเมื่อ

$$\theta_s \cong \cos^{-1} \left\{ \frac{\lambda}{2\pi d} \left[-\beta \pm \frac{2S+1}{N} \right] \right\} \tag{2.16}$$

ที่จุดนั้น ขนาดของ (2.10d) มีค่าดังนี้

$$(AF)_n \cong \frac{1}{N} \left[\frac{\sin \left(\frac{N}{2} \varphi \right)}{\frac{N\varphi}{2}} \right]_{\substack{\theta=\theta_s \\ S=1}} = \frac{2}{3\pi} = 0.212 \tag{2.17}$$

$$(AF)_n = 20 \log_{10} \left(\frac{2}{3\pi} \right) = -13.46 \text{ dB} \tag{2.17a}$$

บรอดไซด์อาร์เรย์

บรอดไซด์อาร์เรย์ (Broadside Array) เป็นอาร์เรย์ที่มีการแพร่กระจายคลื่นมากที่สุดในทิศทาง

ตั้งฉากกับแกนของอาร์เรย์

เอกสารนี้เป็นเอกสารที่สงวนไว้สำหรับการใช้งานเพื่อการศึกษเท่านั้น ไม่อนุญาตให้นำไปใช้ประโยชน์ด้านการค้า จาก (2.10c) และ (2.10d) ค่าสูงสุดของอาร์เรย์แฟคเตอร์ จะเกิดขึ้นเมื่อ

ไม่ว่ากรณีใดๆ ทั้งสิ้น อีกทั้งห้ามมีเหตุดัดแปลงเนื้อหาและต้องอ้างอิงถึงเจ้าของเอกสารทุกครั้งที่มีการนำไปใช้

$$\varphi = kd \cos \theta + \beta = 0 \quad (2.18)$$

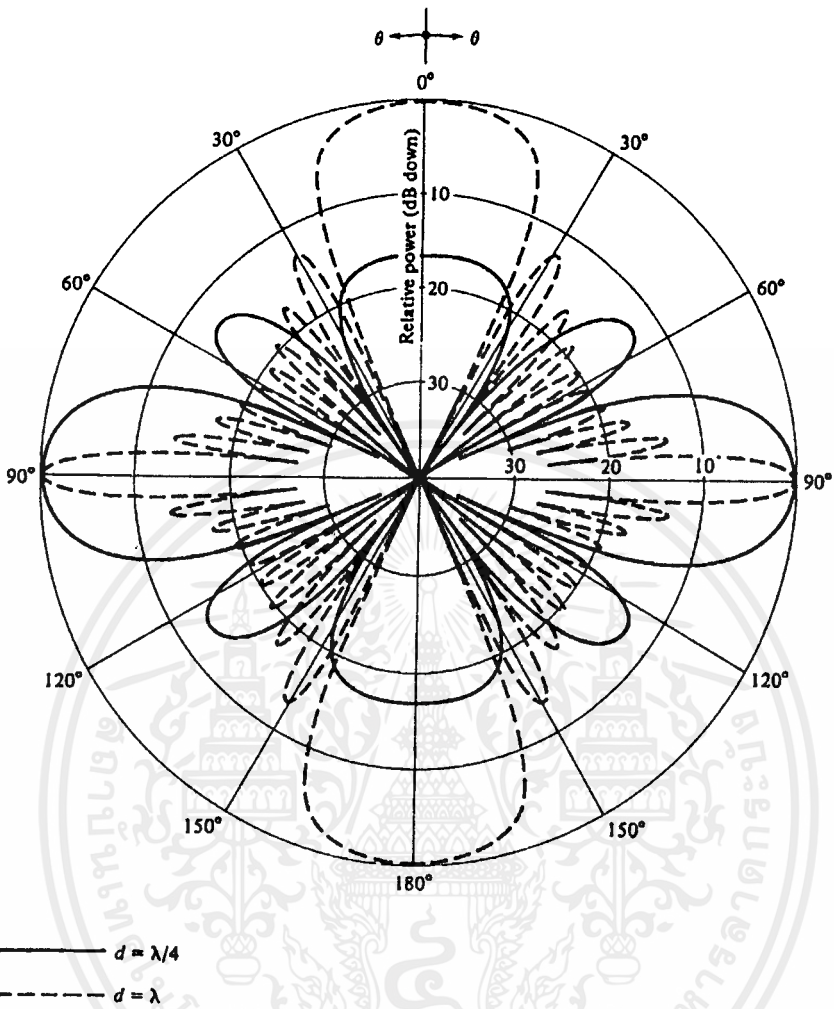
เนื่องจากต้องการให้มีค่าสนามสูงสุดที่ $\theta = 90^\circ$ ดังนั้น

$$\varphi = kd \cos \theta + \beta \Big|_{\theta=90^\circ} = \beta = 0 \quad (2.18a)$$

เพราะฉะนั้นเพื่อจะทำให้อาร์เรย์แฟกเตอร์ของยูนิฟอร์มลิเนียร์อาร์เรย์มีค่าสูงสุด ซึ่งในทิศทางบรอดไซด์กับแกนของอาร์เรย์ทุกเอเลเมนต์จะต้องมีเฟสเดียวกัน โดยที่ระยะห่างระหว่างเอเลเมนต์จะเป็นเท่าไรก็ได้ เพื่อให้มั่นใจว่าสนามไม่มีค่าสูงสุดในทิศทางอื่น d ต้องไม่เท่ากับ $D\lambda (n=1,2,3,\dots)$ เมื่อ $\beta=0$ ถ้า $d = n\lambda$, $n = 1, 2, 3, \dots$ และ $\beta = 0$ จะได้

$$\varphi = kd \cos \theta + \beta \Big|_{\substack{d=n\lambda \\ \beta=0 \\ n=1,2,3,\dots}} = 2n\pi \cos \theta \Big|_{\theta=0^\circ, 180^\circ} = \pm 2n\pi \quad (2.19)$$

ค่าของ φ นี้เมื่อถูกแทนเข้าไปใน (2.10c) จะทำให้อาร์เรย์แฟกเตอร์มีค่าสูงสุด ดังนั้นสำหรับยูนิฟอร์มอาร์เรย์ ที่มี $\beta = 0$ และ $d = n\lambda$ นอกจากสนามจะมีค่าสูงสุดในทิศทางบรอดไซด์ ($\theta = 90^\circ$) แล้วสนามจะมีค่าสูงสุดในทิศทางตามแกนของอาร์เรย์ ($\theta = 0^\circ, 180^\circ$) อีกด้วย



รูป 2.5 แพทเทอรันของยูนิฟอร์มบรอดไซด์อาร์เรย์ ที่มี 10 เอลิเมนต์ ($N = 10, \beta = 0$)

เอนด์ไฟร์อาร์เรย์

เอนด์ไฟร์อาร์เรย์ (End-fire Array) เป็นอาร์เรย์ที่มีการแพร่กระจายคลื่นค่าสูงสุดในทิศทางตามแกนของอาร์เรย์ สามารถกำหนดให้แพทเทอรันมีค่าสูงสุดในทิศทาง $\theta = 0^\circ$ หรือ $\theta = 180^\circ$ ก็ได้

ในกรณีที่ตั้งในทิศทาง $\theta = 0^\circ$

$$\begin{aligned} \varphi &= kd \cos \theta + \beta \Big|_{\theta=0^\circ} = kd + \beta = 0 \\ \rightarrow \beta &= -kd \end{aligned} \tag{2.20a}$$

ส่วนในกรณีที่ตั้งในทิศทาง $\theta = 180^\circ$

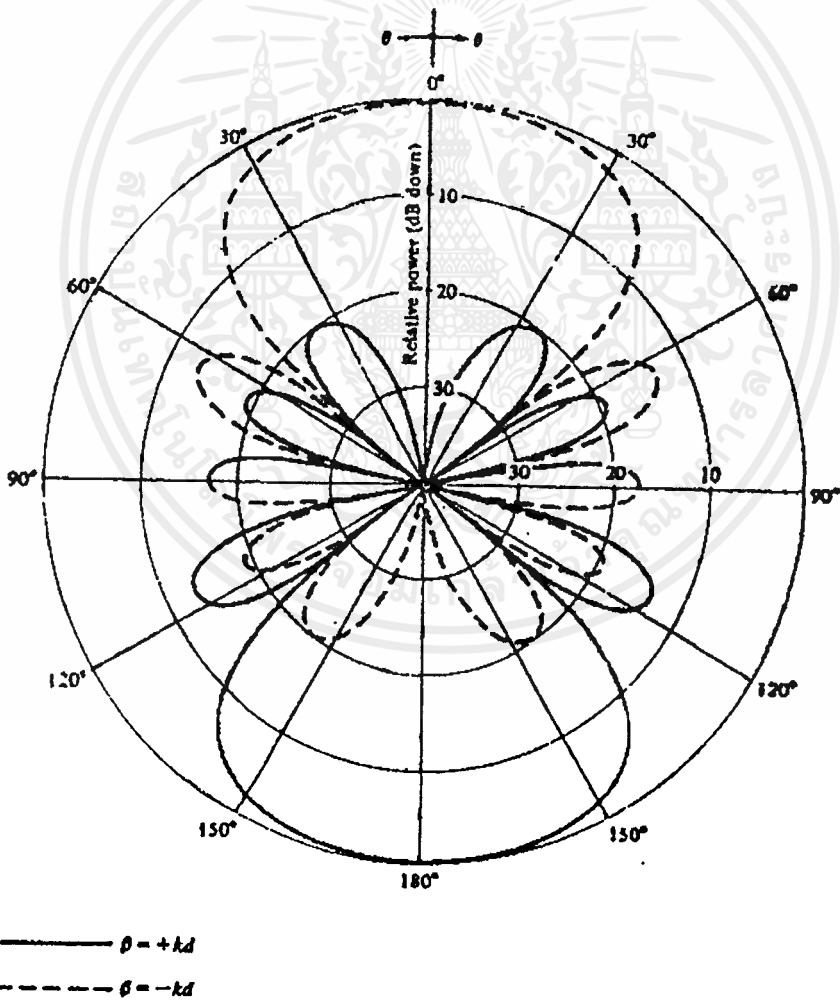
เอกสารนี้เป็นเอกสารที่สงวนไว้สำหรับการใช้งานเพื่อการศึกษาเท่านั้น ไม่อนุญาตให้นำไปใช้ประโยชน์ด้านการค้าไม่ว่ากรณีใดๆ ทั้งสิ้น อีกทั้งห้ามมิให้ดัดแปลงเนื้อหาและต้องอ้างอิงถึงเจ้าของเอกสารทุกครั้งที่มีการนำไปใช้

$$\varphi = kd \cos \theta + \beta \Big|_{\theta=180^\circ} = -kd + \beta = 0$$

$$\rightarrow \beta = +kd \tag{2.20b}$$

ถ้าระยะห่างระหว่างเอลเมนต์เป็น $d = n\lambda$ ($n = 1, 2, 3, \dots$) นอกจากจะเป็นเอนด์ไฟร์แล้ว ยังมีค่าสูงสุดของแพทเทิร์นในทิศทางบรอดไซด์อีกด้วย นอกจากนี้ในทิศทางเอนด์ไฟร์ยังชี้ทั้งในทิศทาง $\theta = 0^\circ$ และ $\theta = 180^\circ$ อีกด้วย ดังนั้นเมื่อ $d = n\lambda$, $n = 1, 2, 3, \dots$ สนามจะมีค่าสูงสุดอยู่ในทั้งสองทิศทาง

ได้แสดงแพทเทิร์นการแพร่กระจายคลื่นของอาร์เรย์ 10 เอลเมนต์ เมื่อ $d = \frac{\lambda}{4}$ และ $\beta = \pm kd$ ไว้ในรูป 2.6 เมื่อ $\beta = -kd$ สนามค่าสูงสุดจะอยู่ในทิศทาง $\theta = 0^\circ$ และเมื่อ $\beta = +kd$ สนามค่าสูงสุดจะอยู่ในทิศทาง $\theta = 180^\circ$



รูป 2.6 แพทเทิร์นของยูนิฟอร์มเอนด์ไฟร์อาร์เรย์ที่มี 10 เอลเมนต์ ($N=10, d=\lambda/4$)

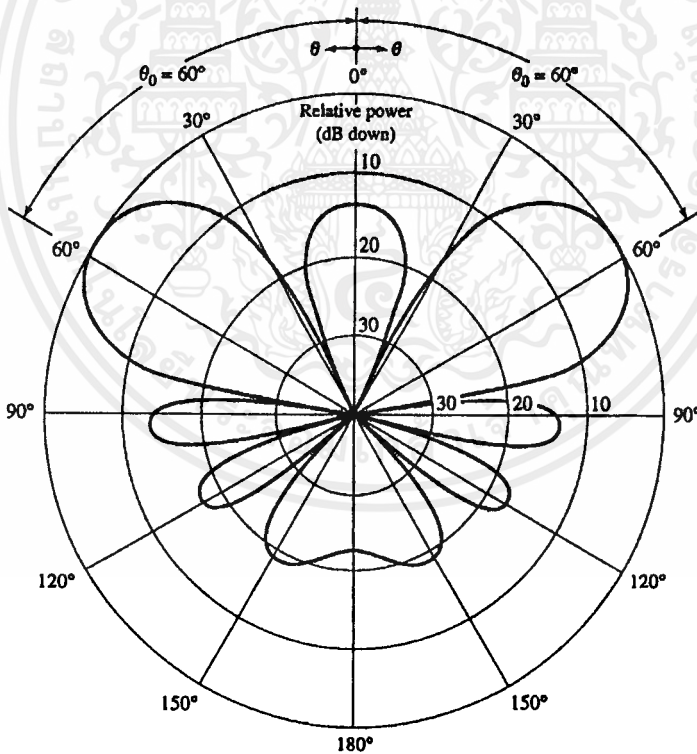
เฟสอาร์เรย์

ในเรื่องของสายอากาศเฟสอาร์เรย์ (Phased Array) ค่าสูงสุดของการแพร่กระจายคลื่น จะเกิดขึ้นในทิศทางใด ๆ ซึ่งสมมติว่าเป็นมุม $\theta (0^\circ \leq \theta \leq 180^\circ)$ ในที่นี้จะทำได้โดยปรับเฟส β ให้เป็นดังนี้

$$\varphi = kd \cos \theta + \beta = 0 \rightarrow \beta = -kd \cos \theta \quad (2.21)$$

ดังนั้นโดยการควบคุมความต่างเฟสระหว่างเอเลเมนต์ จะทำให้ได้การแพร่กระจายคลื่นค่าสูงอยู่ในทิศทางใด ๆ ตามต้องการได้ อันนี้เป็นพื้นฐานของอิเล็กทรอนิกส์สแกนนิ่งเฟสอาร์เรย์ (Electronic Scanning Phased Array) ปกติต้องการสแกนอย่างต่อเนื่อง จึงจำเป็นต้องทำตัวปรับเฟสอย่างต่อเนื่อง ซึ่งทำได้โดยใช้เฟอโรไรท์เฟสชิฟเตอร์

รูป 2.7 แสดงพื้นฐานของการสแกน โดยมีอาร์เรย์ 10 เอเลเมนต์ $d = \frac{\lambda}{4}$ ให้สนามมีค่าสูงสุดอยู่ที่มุม $\theta = 60^\circ$



รูป 2.7 แพทเทิร์นของยูนิฟอร์มสแกนนิ่งอาร์เรย์ที่มี 10 เอเลเมนต์

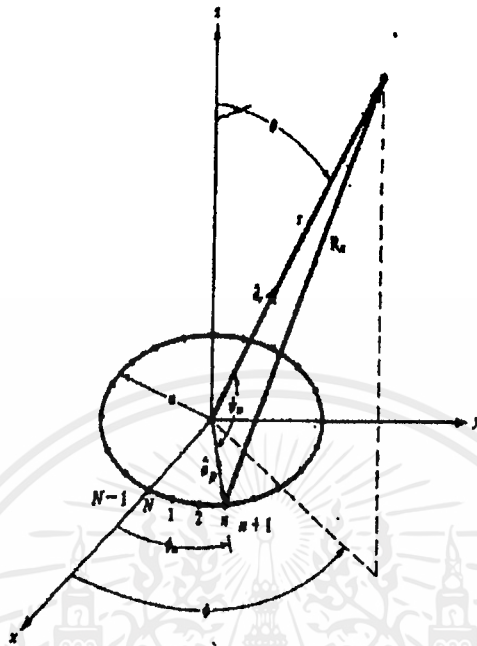
$$(N=10, \beta = -kd \cos \theta, \theta = 60^\circ, d = \lambda/4)$$

$$\text{HPBW} = \theta_h = \cos^{-1} \left[\cos \theta - 0.443 \frac{\lambda}{(L+d)} \right] - \cos^{-1} \left[\cos \theta - 0.443 \frac{\lambda}{(L+d)} \right] \quad (2.22)$$

เอกสารนี้เป็นเอกสารที่สงวนไว้สำหรับการใช้งานเพื่อการศึกษาเท่านั้น ไม่อนุญาตให้นำไปใช้ประโยชน์ด้านการค้า ไม่ว่ากรณีใดๆ ทั้งสิ้น อีกทั้งห้ามมิให้ตัดแปลงเนื้อหาและต้องอ้างอิงถึงเจ้าของเอกสารทุกครั้งที่มีการนำไปใช้

2.3 อาร์เรย์แบบวงกลม

อาร์เรย์แบบวงกลมมีโครงสร้างดังรูปที่ 2.8 มีแต่ละเอเลเมนต์ที่วางอยู่ที่เส้นรอบวงกลมของอาร์เรย์แบบวงกลม



รูปที่ 2.8

อาร์เรย์แฟคเตอร์

อาร์เรย์แบบวงกลม มี N เอเลเมนต์ ที่เหมือนกันและมีระยะห่างแต่ละเอเลเมนต์เท่ากัน อยู่บนระนาบ xy ตามเส้นรอบวงกลมที่มีรัศมี a สนามไฟฟ้าในออร์มอดไลซ์ ของสายอากาศแบบวงกลมคือ

$$E_n(r, \theta, \phi) = \sum_{n=1}^N a_n (e^{-jkR_n} / R_n) \quad (2.23)$$

R_n คือ ระยะห่างจาก เอเลเมนต์ที่ n ถึงจุดที่สังเกต

$$R_n = (r^2 + a^2 - 2ar \cos \psi_n)^{1/2} \quad (2.24)$$

ถ้า $r \gg a$

$$R_n \cong r - a \cos \psi_n = r - a(\overline{ap} \cdot \overline{ar}) = r - a \sin \theta \cos(\phi - \phi_n) \quad (2.25)$$

ขณะที่

ดังนั้นสำหรับการแปรผันของแอมพลิจูด $R_n \cong r$

$$E_n(r, \theta, \phi) = (e^{-jkr} / r) \sum_{n=1}^N a_n e^{jk a \sin \theta \cos(\phi - \phi_n)} \quad (2.26)$$

a_n : สัมประสิทธิ์การป้อนกระแสให้กับสายอากาศ(แอมพลิจูด และ เฟส) ของ เอเลเมนต์ที่ n

ϕ_n : $2\pi(n/N)$ = ตำแหน่งมุมของเอเลเมนต์ที่ n บนระนาบ xy

สัมประสิทธิ์การป้อนกระแสที่ n คือ

$$a_n = I_n e^{jn\alpha} \quad (2.27)$$

เอกสารนี้เป็นเอกสารที่สงวนไว้สำหรับการใช้งานเพื่อการศึกษาเท่านั้น ไม่อนุญาตให้นำไปใช้ประโยชน์ด้านการค้าไม่ว่ากรณีใดๆ ทั้งสิ้น อีกทั้งห้ามมิให้ดัดแปลงเนื้อหาและต้องอ้างอิงถึงเจ้าของเอกสารทุกครั้งที่มีการนำไปใช้



E_n : แอมพลิจูด การรบกวนกระแสดของ เอลิเมนต์ที่ n

α_n : เฟส ของกระแสของเอลิเมนต์ ที่ n สัมพันธ์กับจุดกึ่งกลางของอาร์เรย์ จาก (2.26),(2.27) จะได้

$$E_n(r, \theta, \phi) = (e^{-jk r} / r) [AF(\theta, \phi)] \tag{2.28}$$

ขณะที่

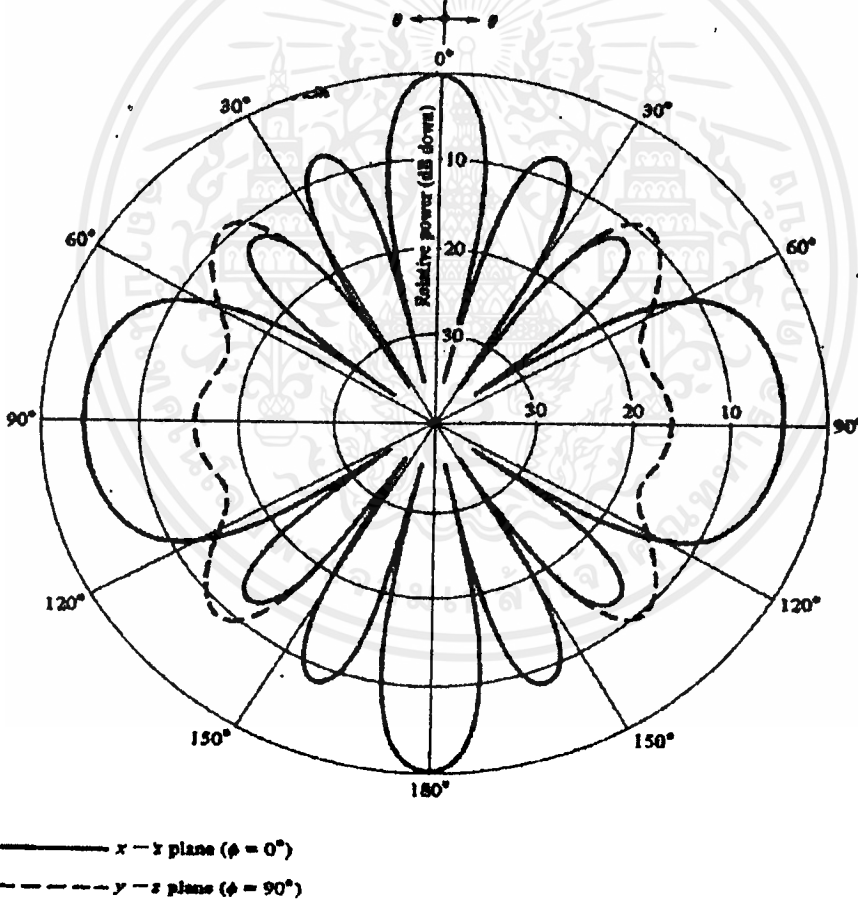
$$AF(\theta, \phi) = e^{j[k a \sin \theta \cos(\phi - \phi_n) + \alpha_n]} \tag{2.29}$$

สมการ 7) แสดงให้เห็นอาร์เรย์แฟคเตอร์ของอาร์เรย์แบบวงกลมของ N เอลิเมนต์ ถ้าทิศทางของแอนนิมิในทิศทาง (θ, ϕ) เฟสของกระแส ของเอลิเมนต์ที่ n มีสมการดังนี้

$$\alpha_n = -k a \sin \theta \cos(\phi - \phi_n) \tag{2.30}$$

ดังนั้นอาร์เรย์แฟคเตอร์ สมการ 7) จะเป็นดังนี้

$$\begin{aligned} AF(\theta, \phi) &= I_n e^{j k a [\sin \theta \cos(\phi - \phi_n) - \sin \theta \cos(\phi - \phi_n)]} \\ &= I_n e^{j k a [\cos \psi - \cos \psi_0]} \end{aligned} \tag{2.31}$$



รูปที่ 2.9 แสดงแพทเทิร์นของสายอากาศอาร์เรย์แบบวงกลม 10 เอลิเมนต์

สนามระยะไกลของสายอากาศอาร์เรย์ทรงกลมคือ

$$E_n(\theta, \phi) = (\theta, \phi) (e^{jkr}) / r^n \quad (2.35)$$

a_n : กระแสในเอเลเมนต์ที่ n

$f_n(\theta, \phi)$: แสดงการเปลี่ยนแปลงของเอเลเมนต์แพทเทิร์น
เพราะฉะนั้น

$$E(\theta, \phi) = (e^{jkr} / r) (\theta, \phi) e^{jkR \cos \zeta} \quad (2.36)$$

ยูนิทเวกเตอร์ในทิศทางสนามระยะไกลคือ

$$a_r = a_x \sin \theta \cos \phi + a_y \sin \theta \sin \phi + a_z \cos \theta \quad (2.37)$$

ยูนิทเวกเตอร์ในทิศทางของเอเลเมนต์ที่ n

$$a_{Rn} = a_x \sin \theta_n \cos \phi_n + a_y \sin \theta_n \sin \phi_n + a_z \cos \theta_n \quad (2.38)$$

ดังนั้น

$$\cos \zeta_n = a_r \cdot a_{Rn} = \sin \theta \sin \theta_n \cos(\phi - \phi_n) + \cos \theta \cos \theta_n \quad (2.39)$$

การคำนวณหาค่า A_k

เมื่อเราต้องการให้สนาม มาเสริมกันที่ สนามระยะไกล เราจะต้องทำให้เฟสที่เกิดจากอาร์เรย์แต่ละเอเลเมนต์ มีค่าต่างๆ กันแล้วแต่ตำแหน่งที่มันอยู่ ดังนั้นค่า a_n จะแปรผันเป็นสัดส่วนโดยตรงกับค่าของมุมระหว่างบีมสนามระยะไกลกับเอเลเมนต์ใดๆ (B) (ζ_{kb}) ต้องมีเฟสต่างไปเมื่อเทียบกับจุดอ้างอิงบนผิวทรงกลม

$$a_k = A_k e^{j(2\pi/\lambda)R(1 - \cos \zeta_{kb})} \quad (2.40)$$

a_k : ขนาดของกระแสที่ป้อนให้เอเลเมนต์ ตัวที่ k ดังนั้นเมื่อเรานำสมการทั้งหมดมารวมกัน จะได้ว่า

$$f_r = f_n(\zeta_k) e^{j(2\pi/\lambda)R(1 - \cos \zeta_{kb})} e^{j(2\pi/\lambda)R(1 - \cos \zeta_{kr})} \quad (2.41)$$

$$f_r = f_n(\zeta_k) e^{j(2\pi/\lambda)R(\cos \zeta_{kr} - \cos \zeta_{kb})} \quad (2.42)$$

2.5 การติดตามเป้าหมาย (เทคกิง)(Tracking)

การเทคกิงนั้นจะต้องทำการสแกน หาเป้าหมายที่ต้องการก่อนนั่นคือ การทำการค้นหา หลังจากนั้นก็จะไปทำงานในโหมด การเทคกิง

การสแกนบีมค้นหา ได้แล้วจะได้ข้อมูลที่ต้องการ ถ้าในทางรับสัญญาณนั้นก็คือ ค่าระดับสัญญาณที่สูงที่สุด และจะพิจารณาดำแหน่งในอวกาศของสัญญาณ ถ้าสัญญาณเปลี่ยนตำแหน่ง โดยมีข้อมูลใช้ในการพยากรณ์ตำแหน่ง โดยมีข้อมูลใช้ในการพยากรณ์ ตำแหน่งในอวกาศของสัญญาณ
เทคนิคการเทคกิง

มีพื้นฐานการเทคกิงอยู่ 2 แบบ

1. ซีควนเชียล-โอบ คอมพาริซัน (sequential-lob comparison)
2. ซิมูลเทนอัส-โอบ คอมพาริซัน (simultaneous-lob comparison)

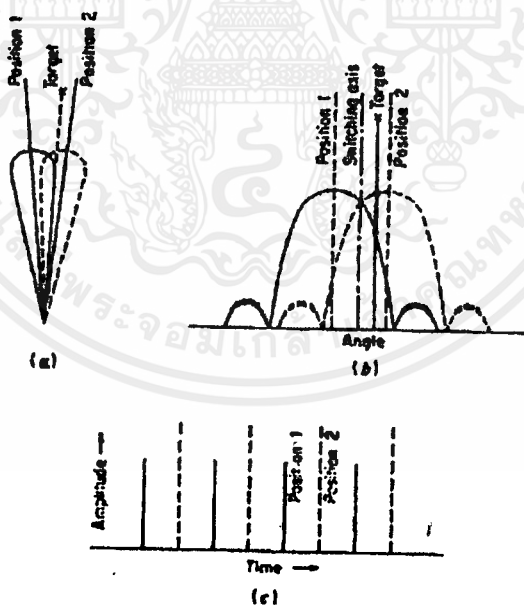
เอกสารนี้เป็นเอกสารที่สงวนไว้สำหรับการใช้งานเพื่อการศึกษาเท่านั้น ไม่อนุญาตให้นำไปใช้ประโยชน์ด้านการค้า
ไม่ว่ากรณีใดๆ ทั้งสิ้น อีกทั้งห้ามมิให้ดัดแปลงเนื้อหาและต้องอ้างอิงถึงเจ้าของเอกสารทุกครั้งที่มีการนำไปใช้

ทั้ง 2 เทคนิค จะเตรียมขนาดและทิศทางของความแตกต่างของสัญญาณที่ได้มา และตำแหน่งบีมที่จำเป็นสำหรับหน้าที่ในการเทคกิ้ง

ซีควนเซียล-โอบ คอมพาริซัน

มีการทำงานโดยสัญญาณที่ต่อเนื่องกัน และทำการวัดผลต่างในความสัมพันธ์ของกำลังของไฟฟ้าที่ได้ของทั้งสองตำแหน่งของสัญญาณในรูปที่ 2.11a) การรับสัญญาณจะคนละตำแหน่งกันและทำการเปรียบเทียบระดับของสัญญาณทั้งสองว่ามีผลต่างกันเท่าไร นั่นคือ ค่ามุมของความแตกต่างระหว่างแกนทิศทางตำแหน่งเป้าหมายและตำแหน่งของสายอากาศ เทคนิคนี้จะต้องทำให้แกนของตำแหน่งเป้าหมายตรงกับตำแหน่งของสายอากาศนั่นคือ ผลต่างของแรงดันที่รับเข้ามาได้ เท่ากับ 0 จะได้สัญญาณที่เข้ามามีค่าสูงสุดนั่นเองดังรูปที่ 2.11b)

ในซีควนเซียล-โอบยังมีเทคนิคอีกอย่างคือ คอนิคอล สแกนนิ่ง นั่นจะทำให้ฟีดนั้นคงที่ไว้และทำให้หมุนรีเฟกเตอร์ให้เอียงหมุนรอบๆแกน ของสายอากาศ (boresight axis) สายอากาศจะคงที่ก็ต่อเมื่อแกนของตำแหน่งแกนเป้าหมายกับแกนของสายอากาศนั้นทับตรงกัน การเคลื่อนที่จะเกิดขึ้นก็ต่อเมื่อแกนของเป้าหมายออกห่างจากแกนสายอากาศแอมพลิจูดของสัญญาณที่ได้มาจะขึ้นขนาดของผลต่างระหว่างแกนเป้าหมายกับแกนสายอากาศ



รูปที่ 2.11

ซีมูลเทนธัส-โอบ คอมพาริซัน

ใช้ประโยชน์ของผลต่างของบีมที่เวลาเดียวกัน รูปทรงของบีมทั้ง 2 ที่เหมือนกันจะเกิดขึ้นจาก สายอากาศรีเฟกเตอร์และ 2 ฟีดฮอร์น ที่สมมาตรกันกับแกนของสายอากาศคั้งนั้นสัญญาณผลต่างที่ได้ จะรับได้ในเวลาเดียวกันและสามารถรับค่าผลต่างที่ได้นั้นมากกว่าสัญญาณช่องเดียว

เอกสารนี้เป็นเอกสารที่สงวนไว้สำหรับการใช้งานเพื่อการศึกษาเท่านั้น ไม่อนุญาตให้นำไปใช้ประโยชน์ด้านการค้า ไม่ว่ากรณีใดๆ ทั้งสิ้น อีกทั้งห้ามมิให้ดัดแปลงเนื้อหาและต้องอ้างอิงถึงเจ้าของเอกสารทุกครั้งที่มีการนำไปใช้

เทคนิคที่ใช้วิธีการนี้ก็คือ โมโนพัลส์ นั่นก็คือ มีการได้ค่าผลรวมของสัญญาณ และ ผลต่างของสัญญาณ จากสายอากาศ แต่อย่างไรก็ยังอยู่บนพื้นฐาน ของผลต่างของแพทเทิร์นของสัญญาณ เทคนิคนี้จะมี การเปรียบเทียบ 2 ลักษณะ คือ

1. แอมพลิจูด คอมพาริชั่น

สัญญาณที่ได้จะต้องมีความต่างเฟสเพียงเล็กน้อย และพีคฮอน์ต้องอยู่ห่างจากกันไม่มากเมื่อเป้าหมายเลื่อนออกห่างจากแกนของสายอากาศจะใช้หลักการเปรียบเทียบขนาดของสัญญาณ

2. เฟส คอมพาริชั่น

สัญญาณที่จะมีความต่างเฟสกันมาก เนื่องจากระยะห่างของพีคฮอน์อยู่ห่างกันมาก เพราะฉะนั้น ในการเปรียบเทียบสัญญาณ จะเปรียบเทียบความต่างกัน สำหรับเป้าหมายออกห่างจากแกนของสายอากาศ จะเกิดความต่างเฟสกันจาก 2 สัญญาณ แสดงได้ดังนี้

$$\Delta\phi = (2\pi/\lambda)dsin\theta \quad (2.43)$$

d คือ ระยะห่างระหว่างสายอากาศ, λ คือ ความยาวคลื่น และ θ คือ มุมระหว่างทิศทางเป้าหมายกับแกนสายอากาศ สำหรับ มุมค่าน้อยๆ $sin\theta$ จะมีค่าเท่ากับ θ และความต่างเฟสจะถูกใช้เป็นการประมาณค่าแบบลิเนียร์ ของความต่างกันระหว่าง ทิศทางแกนสายอากาศกับเป้าหมาย

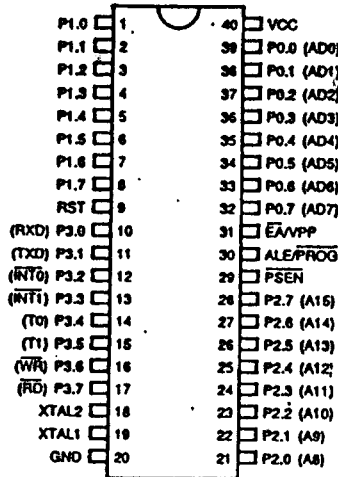
2.6 ไมโครคอนโทรลเลอร์ AT89C51

เป็นไมโครคอนโทรลเลอร์ขนาด 8 บิต ที่สามารถใช้เครื่องคอมพิวเตอร์ พีซี ทำการลบและเขียนโปรแกรมได้โดยตรง เรียกว่า “ชิปเต็มโปรแกรมมิ่ง” หรือใช้เครื่องโปรแกรม (ยูนิเวอร์แซล โปรแกรมเมอร์) ในตัว 89C51 มีหน่วยความจำแบบแฟลชอยู่ภายในขนาด 4 กิโลไบต์ สามารถโปรแกรมทับลงไปได้อีกนับพันครั้งเหมือนกับการโปรแกรมในลักษณะเดียวกับ EEPROM

AT89C51 เป็นไมโครคอนโทรลเลอร์ ชนิด (CMOS) 8 บิต ประสิทธิภาพสูงกินกำลังไฟต่ำ มีโครงสร้างที่ใช้งานได้เหมือนกับ 80C51, MCS51 ใช้ทดแทนได้ทั้งทางด้านชุดคำสั่งและการจัดเรียงขาโดยมีรูปแบบตัวถังบรรจุและการจัดเรียงขาในแบบ DIP, PLCC และ QFR ดังรูปที่ 2.12

นอกจากนี้ ไมโครคอนโทรลเลอร์ AT89C51 มีโหมดการป้องกันการเขียนแบบด้วย “โปรแกรม เมมเมอรี ล็อก บิต” ดังแสดงการเซตรหัส การล็อกไว้ในตารางที่ 2.1 AT89C51 จะสามารถใช้โหมดการป้องกันได้ 3 ระดับ ความหมายในตารางที่ 2 อักษร U (UNPROGRAMED) หมายถึง การกำหนดไม่ให้ล็อก ส่วนอักษร P (PROGRAMED) คือเป็นการใช้คุณสมบัติของการป้องกันแบบล็อกบิตและ LB_1 คือการล็อกบิตที่ 1, 2 และ 3 ตามลำดับ

ก่อนโปรแกรม AT89C51 โหลดแอดเดรสข้อมูลและสัญญาณควบคุม จะต้องกำหนดค่าตามตารางที่ 2.2



รูปที่ 2.12 การจัดวางขาของ AT89C51

การโปรแกรมการล๊อคบิต AT89C51/52				ประเภทของการป้องกัน	การโปรแกรมการล๊อคบิต AT89C1051/2051		
ระดับการล๊อค	LB ₁	LB ₂	LB ₃		ระดับการล๊อค	LB ₁	LB ₂
1	U	U	U	ไม่มีการตั้งโปรแกรมล๊อคใดๆ	1	U	U
2	P	U	U	ไม่สามารถใช้คำสั่ง MOVX จากโปรแกรมหน่วยความจำภายนอกมาอ่านรหัสคำสั่งภายในออกมาได้ นอกจากนี้การโปรแกรมหรือเขียนคำสั่งใดๆ ลงบนหน่วยความจำพลซจะทำได้คืออีก	2	P	U
3	P	P	P	เช่นเดียวกับแบบที่ 2 และการตรวจสอบรหัส (Verify) จะทำไม่ได้	3	P	P
4	P	P	P	เช่นเดียวกับแบบที่ 3 และการอ่านจากภายนอกเช่น ROM ทำไม่ได้			

ตาราง 2.1 ตารางการล๊อคบิต

ขาต่อใช้งาน	RST	PSEN	ALE/ PROG	EA/ V _{PP}	P2.6	P2.7	P3.6	P3.7
เขียนรหัสข้อมูล	H	L		H/12V ⁽¹⁾	L	H	H	H
อ่านรหัสข้อมูล	H	L	H	H	L	L	H	H
ล๊อคบิตการเขียน 1	H	L		H/12V	H	H	H	H
ล๊อคบิตการเขียน 2	H	L		H/12V	H	H	L	L
ล๊อคบิตการเขียน 3	H	L		H/12V	H	L	H	L
การลบข้อมูลในชิป	H	L		H/12V	H	L	L	L
กำหนดไบต์การอ่าน	H	L	H	H	L	L	L	L

ตารางที่ 2.2 แสดงการจัดสัญญาณการเขียนข้อมูลลง EEPROM

เอกสารนี้เป็นเอกสารที่สงวนไว้สำหรับการใช้งานเพื่อการศึกษาเท่านั้น ไม่อนุญาตให้นำไปใช้ประโยชน์ด้านการค้า ไม่ว่าจะกรณีใดๆ ทั้งสิ้น อีกทั้งห้ามมิให้ดัดแปลงเนื้อหาและต้องอ้างอิงถึงเจ้าของเอกสารทุกครั้งที่มีการนำไปใช้

2.7 การแปลงสัญญาณอนาลอกเป็นดิจิทัลทำงานร่วมกับไมโครคอนโทรลเลอร์MCS51

การใช้ไอซีแปลงสัญญาณอนาลอกเป็นสัญญาณดิจิทัล(ADC 0804) จำเป็นจะต้องรู้จักเกี่ยวกับการทำงานของ ADC 0804 ก่อน ดังนี้

- ADC 0804

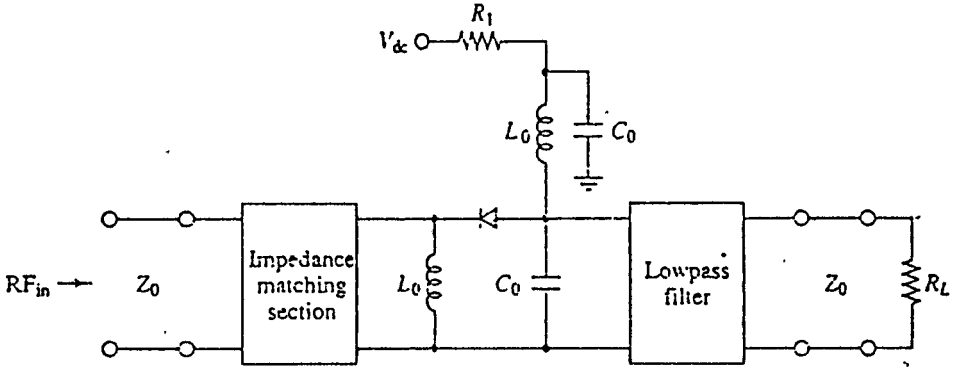
เป็นไอซีแปลงสัญญาณอนาลอกเป็นดิจิทัล แบบ successive approximation มีคุณสมบัติดังนี้

- ทำงานร่วมกันกับไมโครโปรเซสเซอร์ ได้ง่าย
- มีอินพุตผลต่างแรงดันอนาลอก
- ระดับสัญญาณทางเข้า อินพุต และเอาต์พุต สอดคล้องทั้งแรงดัน ทีทีแอลและมอส
- ทำงานด้วย แรงดันอ้างอิง 2.5 โวลต์
- มีวงจรกำเนิดสัญญาณนาฬิกาภายในตัวไอซีเอง
- มีย่านระดับแรงดัน อินพุต 0 ถึง 5 โวลต์
- มี 20 ขา
- มีความเร็วในการเปลี่ยนสัญญาณอนาลอกเป็นดิจิทัล (conversiontime) = 100 μ s

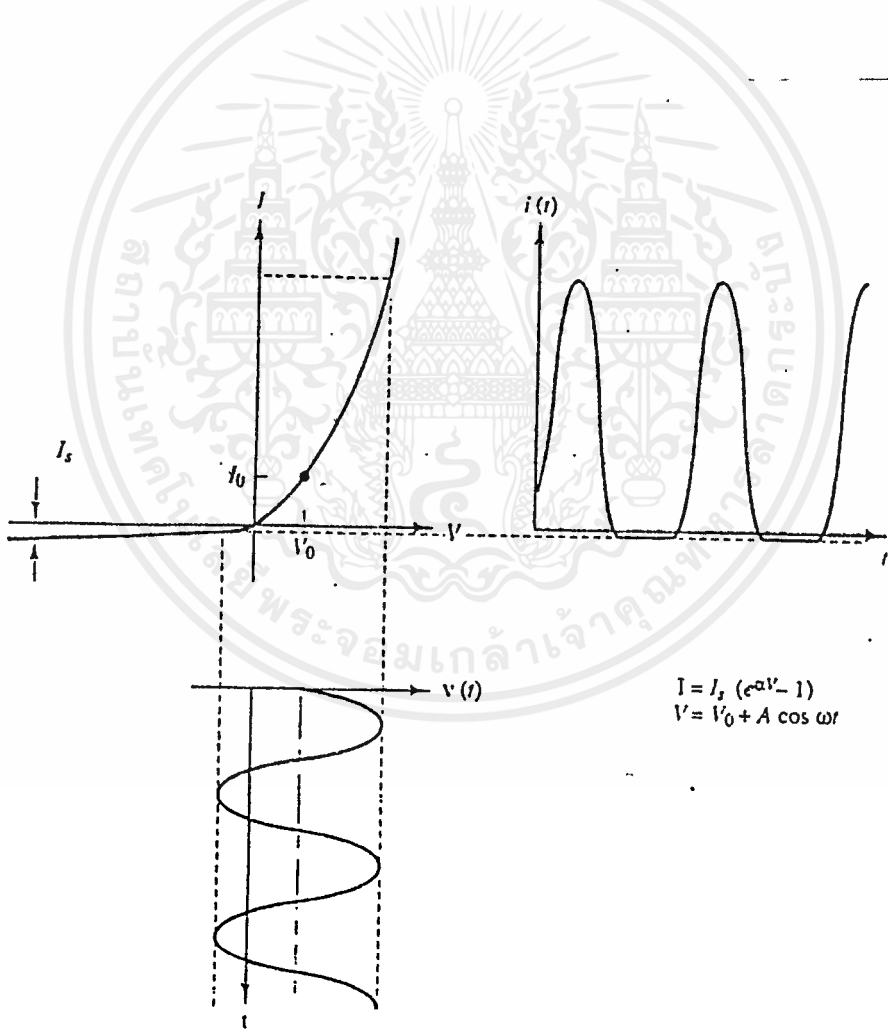
การแปลงสัญญาณอนาลอกเป็นดิจิทัล ทำงานร่วมกับไมโครคอนโทรลเลอร์ MCS-51 นั้นมีการต่อวงจรร่วมกันดังรูป 2.13 ในการทำงานร่วมกันจำเป็นต้องเริ่ม start A/D ก่อน โดยทำให้ขา WR เป็น LOW ความเร็วในการแปลงสัญญาณเท่ากับ 100 μ s เมื่อแปลงเสร็จแล้วก็มีสัญญาณออกมาที่ขา INTR เป็นระดับลอจิกสูง (high) ดังนั้น ในการเขียนโปรแกรม ต้องทำการเขียนพอร์ท A/D ก่อนนั่นคือทำให้ WR และ CS ของ A/D ทำงาน หลังจากนั้นก็รอขา INTR เป็นระดับลอจิกสูง (high) แล้วจึงอ่านข้อมูลเข้าไปเก็บเป็นการสิ้นสุดการทำงาน 1 รอบ หรืออีกวิธีหนึ่ง เมื่อทำการ start A/D แล้วให้วนรูปรองจนกว่าจะกินเวลาครบ 100 μ s แล้วจึงมาอ่านค่า A/D ไปเก็บ

2.8 การตีเทคสัญญาณและตีเทคเตอร์

การตีเทคสัญญาณอาร์เอฟนั้น ทำได้ด้วยการนำสัญญาณเข้าอินพุตของอุปกรณ์ตีเทค ซึ่งเรียกว่า "ตีเทคเตอร์" ซึ่งประกอบด้วย วงจรแมตซ์ซิ่งอิมพีแดนซ์ และ ไดโอด และวงจรรองความถี่ต่ำ ซึ่งส่วนวงจรรองความถี่ต่ำนั้นอาจจะไม่ใช่วงจรรองความถี่ต่ำก็ได้ แล้วแต่ว่าต้องการสัญญาณอะไรออกมา ในส่วนวงจรแมตซ์ซิ่งอิมพีแดนซ์นั้นเป็นการทำให้อิมพีแดนซ์ ตีเทคเตอร์กับสายนำสัญญาณเท่ากันเพื่อให้การส่งผ่านสัญญาณกันได้สูงสุด และไดโอดจะให้ความถี่ที่ผ่านเข้ามานั้น เมื่อไดโอดออกไปสัญญาณจะมีส่วนประกอบ ที่เป็น คีซี, ฮาร์โมนิกต่างๆ ประกติกการตีเทคสัญญาณจะสนใจเพียงสัญญาณเดียวซึ่งจะใช้วงจรรองความถี่ กรองสัญญาณที่ต้องการออกมา ดังแสดงในรูปที่ 2.14 จะเห็นว่าในรูปนั้นใช้วงจรรองความถี่ต่ำ ซึ่งสัญญาณที่ต้องการจะได้เป็นสัญญาณ คีซี ออกมา



รูปที่ 2.14 วงจรดีเทคเตอร์



รูปที่ 2.15 กราฟคุณสมบัติ I-V ของไดโอด

เอกสารนี้เป็นเอกสารที่สงวนไว้สำหรับการใช้งานเพื่อการศึกษาเท่านั้น ไม่อนุญาตให้นำไปใช้ประโยชน์ด้านการค้า ไม่ว่ากรณีใดๆ ทั้งสิ้น อีกทั้งห้ามมิให้ดัดแปลงเนื้อหาและต้องอ้างอิงถึงเจ้าของเอกสารทุกครั้งที่มีการนำไปใช้

ในการวิเคราะห์ระดับสัญญาณนั้น เราคิดเทคสัญญาณออกมาเป็นสัญญาณคิซี ซึ่งจะแปรผันตามระดับสัญญาณอาร์เอฟที่เข้ามา ดังการแสดงสมการต่อไปนี้

$$i(t) = I_s(\exp(\alpha V_i(t)) - 1) \quad (2.45)$$

ขณะที่

$$\alpha = q/(nkT) \quad (2.46)$$

I_s : กระแสย้อนกลับอิ่มตัว

q : ประจุไฟฟ้า

k : ค่าคงที่ โบลต์มันน์

n : เฟคเตอร์คุณสมบัติของไดโอด

V_o, I_o : จุดทำงาน คิซีของไดโอด

ให้
$$V_i(t) = V_o + A \cos \omega t \quad (2.47)$$

สมการ 2.47) แทนใน 2.45) และทำการขยายอนุกรมเทเลอร์ ของเอ็กซ์โปเนนเชียล จะได้

$$\begin{aligned} i(t) &= I_s(\exp(\alpha V_o) - 1) = I_o \\ i/I_o &= 1 + \alpha A \cos \omega t + (\alpha^2/2)(A \cos \omega t)^2 + \dots \end{aligned} \quad (2.48)$$

เราเลือกมาแค่ 3 เทอม

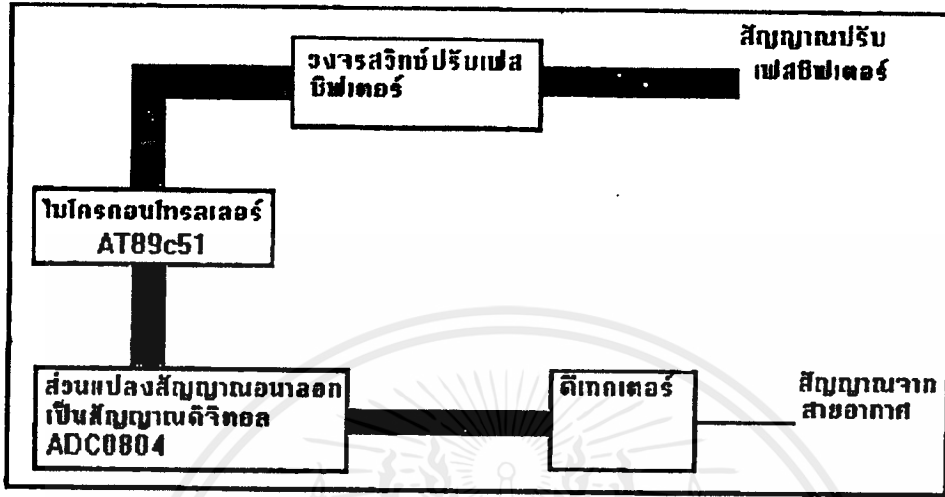
$$i/I_o = 1 + \alpha A \cos \omega t + (\alpha^2 A^2)/2 + (\alpha^2 A^2)/2 \cos 2\omega t \quad (2.49)$$

จะเห็นว่าถ้าเราต้องการเฉพาะ สัญญาณคิซี ก็ทำได้โดยกรองความถี่ที่ สูงออกไปโดยใช้วงจรกรองความถี่ต่ำที่ ความถี่คัตออฟต่ำกว่า $\omega/(2\pi)$ จะได้สัญญาณออกมาเป็น คิซี

บทที่ 3

การคำนวณและการสร้าง

3.1 บล็อกโคอะแกรมของระบบ



รูปที่ 3.1 บล็อกโคอะแกรมของระบบ

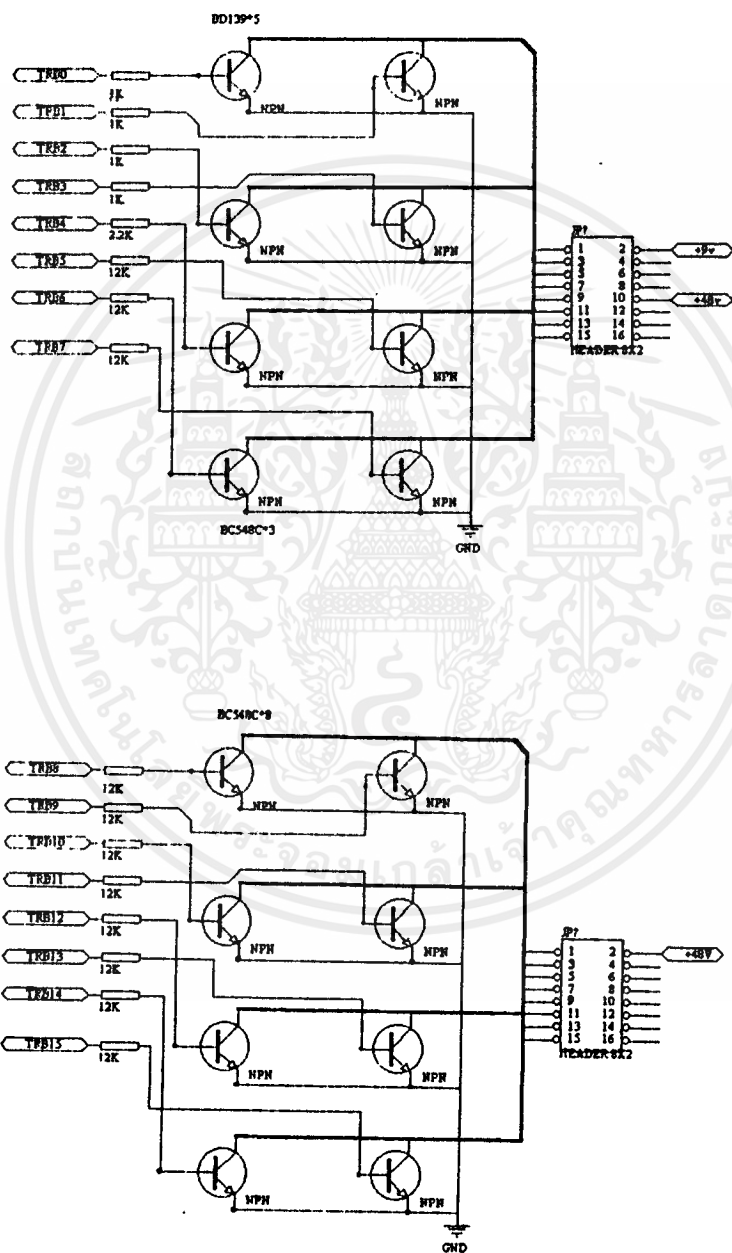
จากรูปที่ 3.1 บล็อกโคอะแกรมของระบบ สัญญาณจากสายอากาศจะเข้ามาที่ส่วนวงจรรับสัญญาณวงจรถิเทคเตอร์ เมื่อสัญญาณจากสายอากาศผ่านทริเทคเตอร์แล้ว จะได้ระดับแรงดันค่าหนึ่งส่งให้กับวงจรแปลงสัญญาณอนาล็อกเป็นดิจิทัลเพื่อส่งค่าที่ได้มาเป็นสัญญาณดิจิทัลส่งให้ไมโครคอนโทรลเลอร์ เพื่อทำการประมวลผลว่าสัญญาณที่รับได้มีระดับสูงสุดหรือไม่ โดยทำการประมวลผลตามโปรแกรมที่ใช้สำหรับการเปรียบเทียบระดับสัญญาณในแต่ละการเปลี่ยนแปลงของสายอากาศอาร์เรย์ ที่ทำให้กับสายอากาศนั้นรับสัญญาณได้สูงสุด แล้วเมื่อสัญญาณที่รับได้ต่อเนื่องมามีระดับต่ำลง โปรแกรมจะส่งสัญญาณไปให้วงจรสวิตช์เปลี่ยนเฟสของสายอากาศ สวิตช์ติดตามสัญญาณสูงสุดรับมาอีกตามการควบคุมของโปรแกรม หลังจากที่เราทราบความสัมพันธ์ของระบบแล้ว จึงได้เขียนวงจร และออกแบบวงจรดังจะแสดงต่อไป

3.2 วงจรที่ทำการเชื่อมต่อ

วงจรประกอบด้วย ส่วนที่เป็นการแปลงสัญญาณอนาล็อกเป็นสัญญาณดิจิทัลก็คือ วงจรที่ต่อร่วมกับ ไอซี ADC0804 และมีวงจรที่ควบคุมแรงดันของอินพุต 2.5 โวลต์ ให้กับ ADC0804 โดยใช้ LM336 2.5V ซึ่งเป็นไดโอดแรงดันอ้างอิง(Voltage Reference Diode)ปรับระดับแรงดันอ้างอิง 2.5 V ที่ขา V_{ref2} ของ ADC0804 และ ADC0804 จะส่งสัญญาณที่แปลงมาได้ไปให้กับ ไมโครคอนโทรลเลอร์ AT89C51 จากขา D0 ถึง D7 ไปที่พอร์ทหนึ่ง ของ AT89C51 ซึ่งใน AT89C51 จะมีโปรแกรมควบคุมวงจรสวิตช์ปรับเฟสอินฟlector และ ติดตามระดับสัญญาณสูงสุด AT89C51 จะส่งสัญญาณควบคุมวงจรสวิตช์ปรับเฟสอินฟlector ออกทาง ผ่านทางเอาต์พุตที่ได้จากตำแหน่งที่ DECODE ที่ E000H และ E001H ซึ่งเป็นไอซีเบอร์ 74LS374 เป็น (Octal D-Type Transparent Latches and-triggered Flip-Flops) ส่วนวงจรสวิตช์

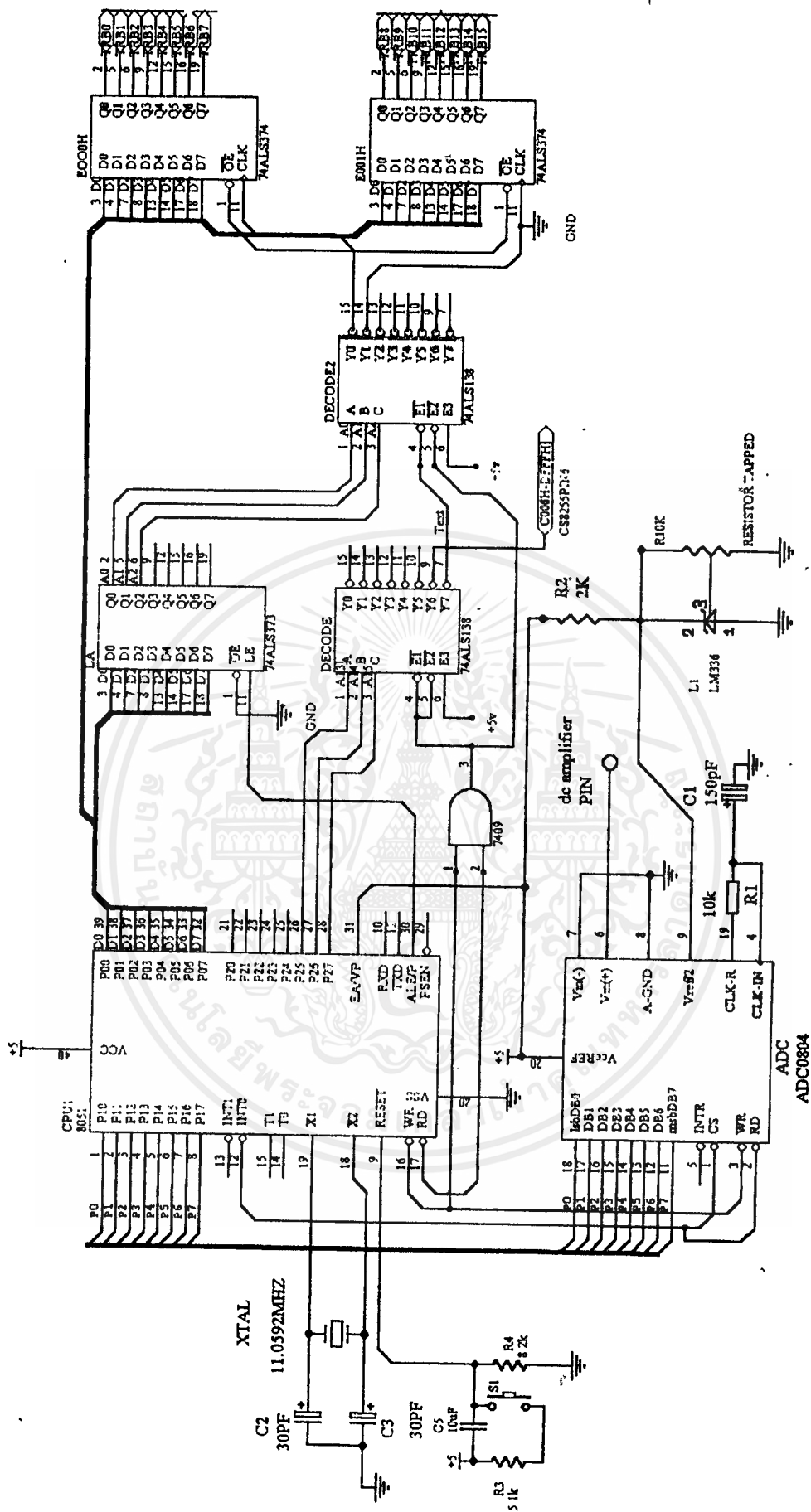
เอกสารนี้เป็นเอกสารที่สงวนไว้สำหรับการใช้งานเพื่อการศึกษาเท่านั้น ไม่อนุญาตให้นำไปใช้ประโยชน์ด้านการค้าไม่ว่ากรณีใดๆ ทั้งสิ้น อีกทั้งห้ามมิให้ดัดแปลงเนื้อหาและต้องอ้างอิงถึงเจ้าของเอกสารทุกครั้งที่มีการนำไปใช้

ปรับเฟสรีฟเตอร์ ประกอบด้วย ทรานซิสเตอร์ BC548C และ BD139 แล้วแต่ตัวเฟสรีฟเตอร์จะใช้ไฟเลี้ยงที่จะทำให้ทำงานเท่าไรจัดการไบอัส ให้อยู่ในการทำงานเป็นทรานซิสเตอร์สวิทช์ รูปวงจรการเชื่อมต่ออยู่ในรูปที่ 3.2 และมีจอแอลอีดี แสดงผลว่าตอนนีฟอสของสายอากาศมีผลทำให้มีมของสายอากาศอยู่ที่องศาที่เท่าไร และในระบบมีส่วนที่ ให้เลือกว่าจะเป็นระบบ อัตโนมัตหรือแบบเปลี่ยนเฟสสายอากาศเอง โดยผู้ใช้เครื่องเอง วงจรส่วนนี้ใช้การขยายอินพุท,เกาท์พุท โดยใช้ไอซี 8255 ต่อรับค่าการกดสวิทซ์เลือก



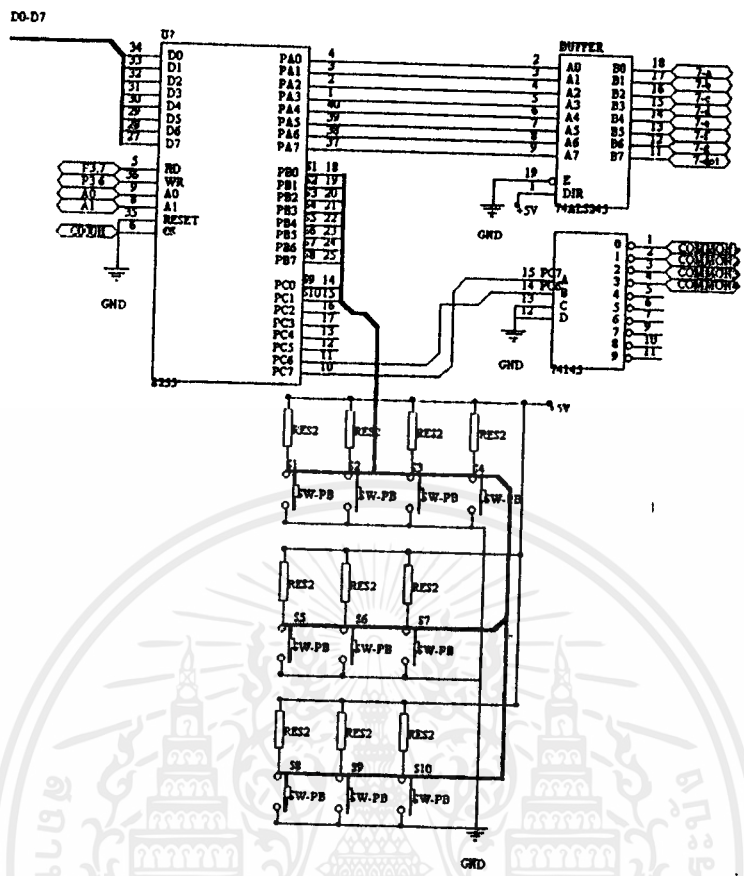
รูปที่ 3.2 วงจรทรานซิสเตอร์สวิทซ์เฟสรีฟเตอร์

เอกสารนี้เป็นเอกสารที่สงวนไว้สำหรับการใช้งานเพื่อการศึกษาเท่านั้น ไม่อนุญาตให้นำไปใช้ประโยชน์ด้านการค้าไม่ว่ากรณีใดๆ ทั้งสิ้น อีกทั้งห้ามมิให้ดัดแปลงเนื้อหาและต้องอ้างอิงถึงเจ้าของเอกสารทุกครั้งที่มีการนำไปใช้



รูปที่ 3.3 วงจรไมโครคอนโทรลเลอร์ และ วงจรแปลงสัญญาณอนาลอกเป็นดิจิทัล

เอกสารนี้เป็นเอกสารที่สงวนไว้สำหรับการใช้งานเพื่อการศึกษาเท่านั้น ไม่นอนุญาตให้นำไปใช้ประโยชน์ด้านการค้า
ไม่ว่ากรณีใดๆ ทั้งสิ้น อีกทั้งห้ามมิให้ดัดแปลงเนื้อหาและต้องอ้างอิงถึงเจ้าของเอกสารทุกครั้งที่มีการนำไปใช้



รูปที่ 3.4 วงจรแสดงผลแอลอีดี และ สวิตช์เลือกโหมดและเลือกเฟส

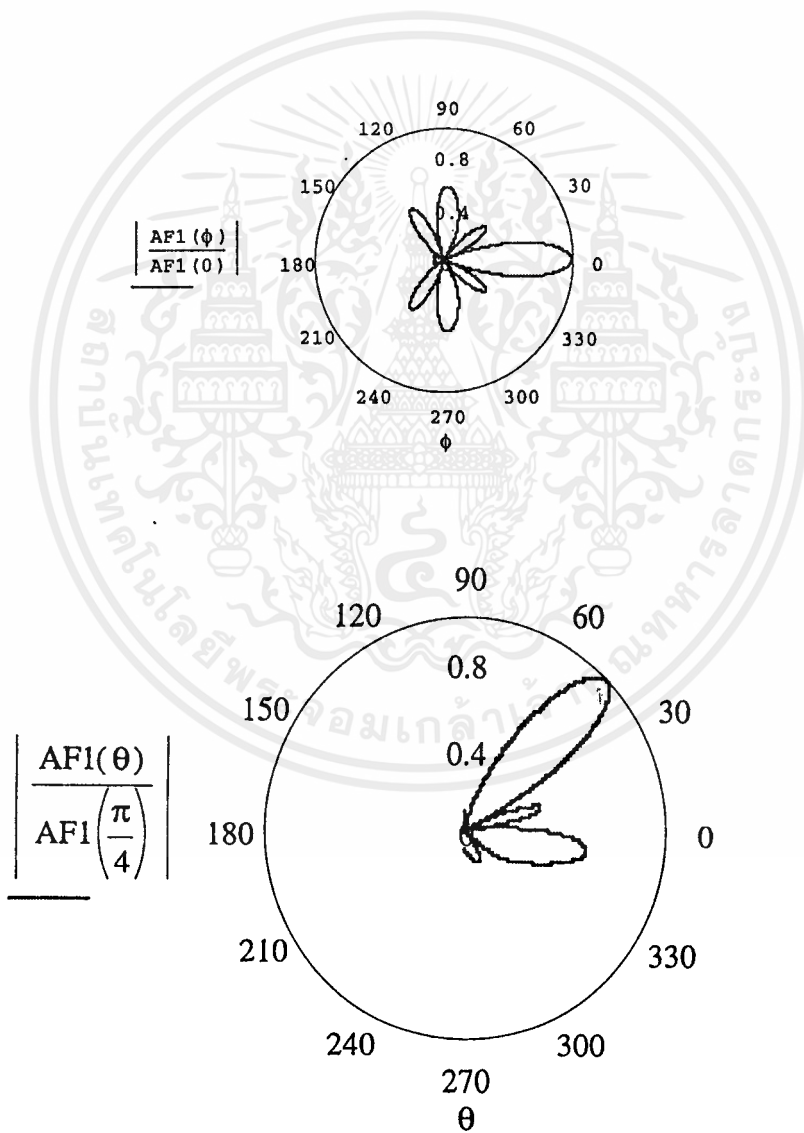
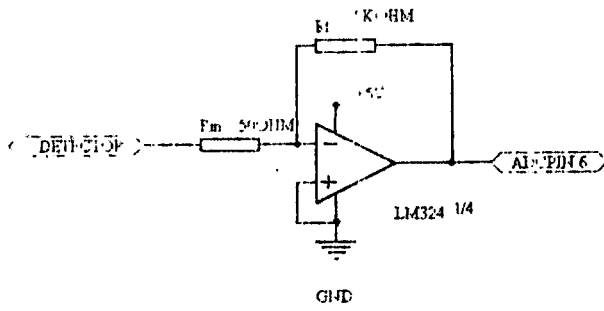
หลังจากที่ได้ประกอบวงจรที่ต้องการใช้ประมวลผล และควบคุมสวิตช์เฟสจิปเตอร์แล้วต่อมาเป็นส่วนของวงจรรับสัญญาณ ซึ่งเราจะใช้ ดีเทคเตอร์ เบอร์ 75KC50 ซึ่งมีการดีเทคเตอร์ สัญญาณอาร์เอฟใน ความถี่ที่ต้องการได้ คือ ความถี่ที่ 2.45 GHz แต่เนื่องจากเอาท์พุทที่ออกมาจาก ดีเทคเตอร์นั้น มีระดับแรงดัน ที่ต่ำเพราะฉะนั้น เราต้องมี วงจรขยายแรงดัน คีชี ก่อนที่จะเข้า วงจรแปลงสัญญาณอนาลอกเป็นดิจิตอล วงจรขยายแรงดันคีชีนั้นใช้ ออปแอมป์ เอมป์ LM324 ที่ใช้ไฟเลี้ยงเดียวได้(+5V) ต่อกับในวงจรขยายแบบกลับ เฟส เพราะเนื่องจากว่า ดีเทคเตอร์นั้นเป็นแบบลบก็คือระดับคีชีที่ออกมาทางเอาท์พุทนั้นเป็นค่าลบ จึงต้อง ขยายกลับมาให้เป็นบวก

วงจขยายจะใช้การขยาย 100 เท่าตามสูตร อัตราการขยายของวงจขยายแบบกลับเฟสของออป แอมป์นั้นก็คือ

$$-Rf/Rin \tag{3.1}$$

ดังรูปวงจรที่3.4 ได้ $Rf = 5k\Omega$ และ $Rin = 50\Omega$ เพราะฉะนั้นจะได้ อัตราการขยายเท่ากับ 100 เท่า

เอกสารนี้เป็นเอกสารที่สงวนไว้สำหรับการใช้งานเพื่อการศึกษาเท่านั้น ไม่อนุญาตให้นำไปใช้ประโยชน์ด้านการค้า ไม่ว่ากรณีใดๆ ทั้งสิ้น อีกทั้งห้ามมิให้ดัดแปลงเนื้อหาและต้องอ้างอิงถึงเจ้าของเอกสารทุกครั้งที่มีการนำไปใช้



รูปที่ 3.5 วงจรขยายแรงดัน อินเวอร์ต แบบกลับเฟสและแพทเทิร์นตัวอย่างของสายอากาศอาร์เรย์แบบวงกลมที่ใช้เพื่อนำมาออกแบบโปรแกรมควบคุม

เอกสารนี้เป็นเอกสารที่สงวนไว้สำหรับการใช้งานเพื่อการศึกษาเท่านั้น ไม่อนุญาตให้นำไปใช้ประโยชน์ด้านการค้าไม่ว่ากรณีใดๆ ทั้งสิ้น อีกทั้งห้ามมิให้ดัดแปลงเนื้อหาและต้องอ้างอิงถึงเจ้าของเอกสารทุกครั้งที่มีการนำไปใช้

3.3 การออกแบบโปรแกรมเพื่อควบคุมเฟสอาร์เรย์

จุดประสงค์หลักของโปรแกรมคือ สำหรับควบคุมสวิทช์ที่ได้สำหรับปรับเฟสรีเฟเตอร์ ซึ่งสายอากาศที่ใช้สำหรับโปรเจกนี้มีทั้งหมด 8 เอลเมนต์ ถ้าจะให้บีมชี้ไปทางใดจะต้องปรับเฟสรีเฟเตอร์ตามตาราง 3.1 ซึ่งจะต้องควบคุมโดยส่งข้อมูลจากไมโครคอนโทรลเลอร์ไปที่ตำแหน่ง E000H และ E001H โดยกำหนดลอจิกควบคุมไว้ดังนี้

ตาราง 3.1 ตารางแสดงการกำหนดสัญญาณลักษณะของสวิทช์

สวิทช์	สวิทช์1,สวิทช์2 เปิด	สวิทช์1 - ปิด สวิทช์2 - เปิด	สวิทช์1 - ปิด สวิทช์2 - ปิด
A	1	2	3
B	3	2	1
1	1	2	3
2	1	2	3
3	1	2	3
4	1	2	3
5	1	2	3
6	1	2	3

หมายเหตุ

1. คือ สายที่มี เฟส 0 องศา
2. คือ สายที่มี เฟส $+ \sqrt{2}\pi$, -105 องศา
3. คือ สายที่มี เฟส $- \sqrt{2}\pi$, +105 องศา

โดย 1 เอลเมนต์ จะควบคุมโดยบิทที่ 0 กับ บิทที่ 1 เช่น เอลเมนต์ที่ 2 ควบคุมโดย บิทที่2 กับ บิทที่3 ของตำแหน่ง E000H และเอลเมนต์ที่เหลือ จะเรียงต่อไปเรื่อยๆจนถึง บิทที่ 6 กับ บิทที่ 7 ของตำแหน่ง E001H เป็นเอลเมนต์ที่ 8 ซึ่งเป็นเอลเมนต์สุดท้าย โดยจะปรับให้บีมชี้ไปที่ไหนนั้นจะต้องปรับตามตาราง 3.2 โดยจะปรับบีมไปที่ 45° , 90° , 135° , 180° , 225° , 270° , 315° , 360° ซึ่งหลักการของโปรแกรมคือ จะรับค่ามาจากวงจร เอบูติ นำค่าเข้ามาจากพอร์ต 1 แล้วนำค่านี้นำประมวลผลในไมโครคอนโทรลเลอร์แล้วส่งสัญญาณควบคุมให้กับเฟสรีเฟเตอร์ผ่านตำแหน่ง E000H และ E001H

ตาราง 3.2 แสดงค่าของเฟสแต่ละเอเลเมนต์ที่เปลี่ยนไปเมื่อต้องการขึ้นไปที่ทิศทาง(θ_0/n)

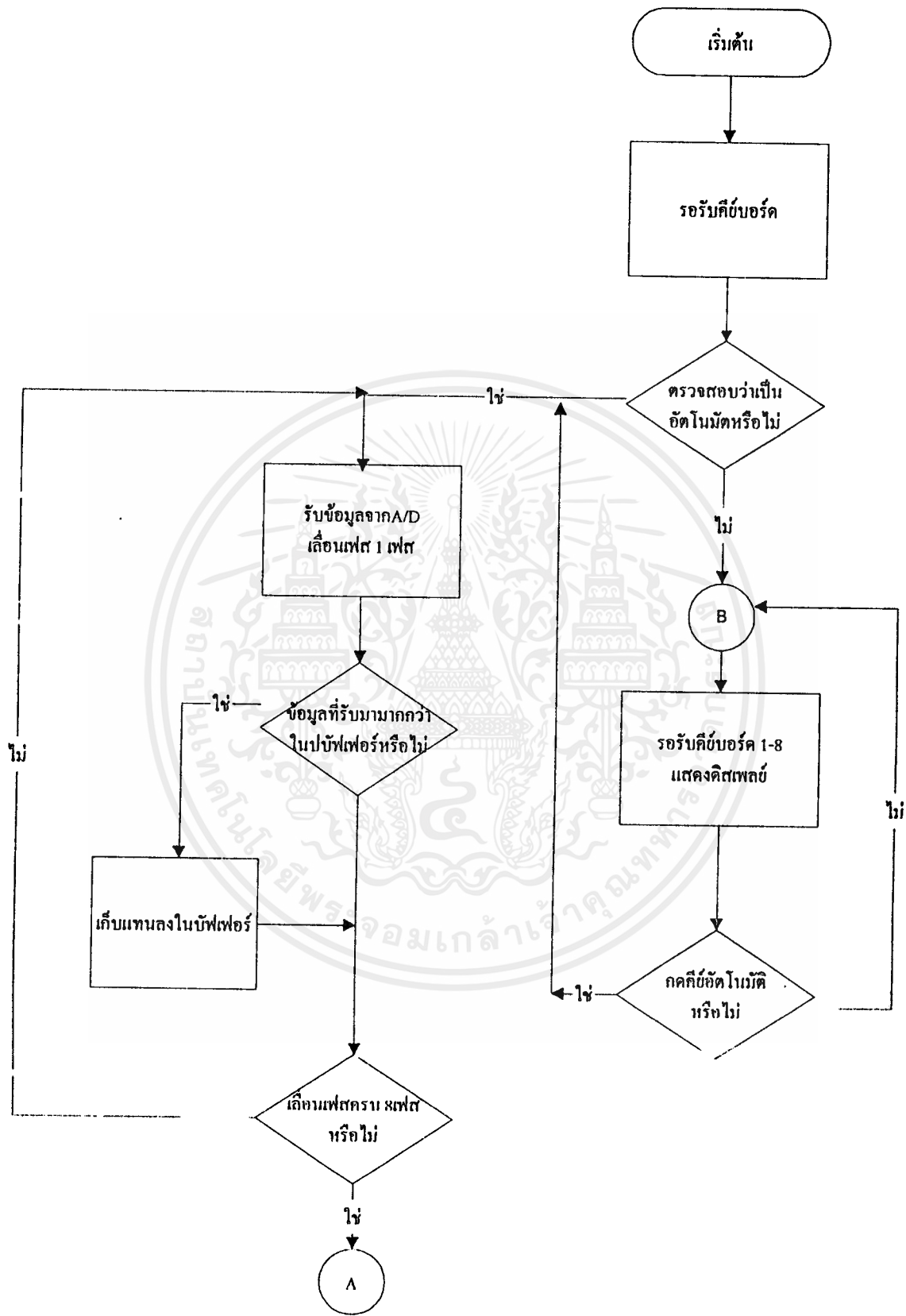
θ_0	θ_0/n	$\frac{\pi}{4}$	$\frac{\pi}{2}$	$\frac{3\pi}{4}$	π	$\frac{5\pi}{4}$	$\frac{3\pi}{2}$	$\frac{7\pi}{4}$	2π
n	$\downarrow \theta_0$								
1	$\pi/4$	0	$-\sqrt{2}\pi$	0	$\sqrt{2}\pi$	0	$\sqrt{2}\pi$	0	$-\sqrt{2}\pi$
2	$\pi/2$	$-\sqrt{2}\pi$	0	$-\sqrt{2}\pi$	0	$\sqrt{2}\pi$	0	$\sqrt{2}\pi$	0
3	$(3\pi/4)$	0	$-\sqrt{2}\pi$	0	$-\sqrt{2}\pi$	0	$\sqrt{2}\pi$	0	$\sqrt{2}\pi$
4	π	$\sqrt{2}\pi$	0	$-\sqrt{2}\pi$	0	$-\sqrt{2}\pi$	0	$\sqrt{2}\pi$	0
5	$(5\pi/4)$	0	$\sqrt{2}\pi$	0	$-\sqrt{2}\pi$	0	$-\sqrt{2}\pi$	0	$\sqrt{2}\pi$
6	$(3\pi/2)$	$\sqrt{2}\pi$	0	$\sqrt{2}\pi$	0	$-\sqrt{2}\pi$	0	$-\sqrt{2}\pi$	0
7	$(7\pi/4)$	0	$\sqrt{2}\pi$	0	$\sqrt{2}\pi$	0	$-\sqrt{2}\pi$	0	$-\sqrt{2}\pi$
8	2π	$-\sqrt{2}\pi$	0	$\sqrt{2}\pi$	0	$\sqrt{2}\pi$	0	$-\sqrt{2}\pi$	0

การทำงานของโปรแกรม

แบ่งเป็นสองส่วน คือ ส่วนของอัลกอริทึมกับกึ่งอัลกอริทึม

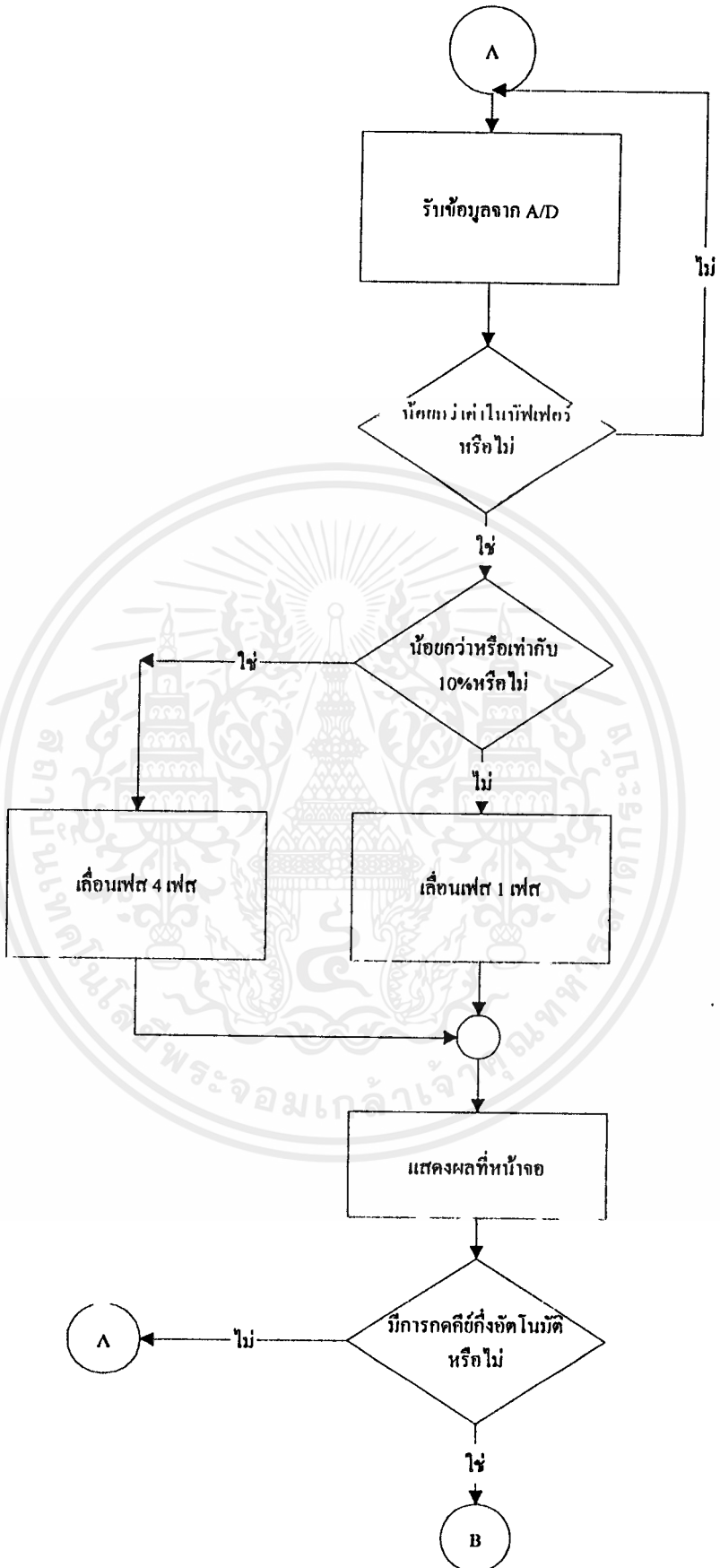
1. แบบกึ่งอัลกอริทึม คือ รอรับข้อมูลจากคีย์บอร์ดว่ามีกราดคีย์บอร์ดที่เฟสใด ถ้ากดเฟสใดก็ให้เปลี่ยนเฟสไปตามตารางที่ 3.2
2. แบบอัลกอริทึม

ในตอนแรกให้รับข้อมูลจาก เหนุติ แล้วเก็บค่าไว้จนกระทั่งเปลี่ยนเฟสครบ 8 เฟส แล้วเราจะเก็บค่าเฟสที่มีค่าสูงสุดไว้ และก็ให้เปลี่ยนเฟสไปที่เฟสที่เก็บไว้ในขั้นตอนต่อไป จะตรวจสอบรับสัญญาณที่รับจากเหนุติ มาว่ามีค่าน้อยกว่าระดับที่ยอมรับได้หรือไม่ ถ้าอยู่ในค่าที่ยอมรับได้ จะให้เฟสคงที่อยู่เดิม แต่ถ้าสมมติว่าระดับสัญญาณที่รับจาก เหนุติ มีค่าน้อยกว่า จะให้เปลี่ยนเฟสต่อไปทีละเฟส จนกระทั่งค่าเฟสที่มีระดับสัญญาณอยู่ในค่าที่ยอมรับได้ แต่ในระหว่างนี้เราจะมีการตรวจสอบด้วยว่าระดับสัญญาณที่รับเข้ามามีค่าน้อยเกินไปหรือไม่ ถ้ามีน้อยเกินไปให้เปลี่ยนทีละ 4 เฟส และจะกระทำไปเรื่อย ๆ จนกว่าจะพบค่าเฟสที่ให้สัญญาณอยู่ในระดับที่ยอมรับได้



รูปที่ 3.0 ไล่ค่าทางที่แตกต่างทางของโปรแกรม

เอกสารนี้เป็นเอกสารที่สงวนไว้สำหรับการใช้งานเพื่อการศึกษาเท่านั้น ไม่อนุญาตให้นำไปใช้ประโยชน์ด้านการค้าไม่ว่ากรณีใดๆ ทั้งสิ้น อีกทั้งห้ามมิให้ดัดแปลงเนื้อหาและต้องอ้างอิงถึงเจ้าของเอกสารทุกครั้งที่มีการนำไปใช้



รูปที่ 4.6 โปรแกรมที่แสดงการทางนของโปรแกรมต่อ)

เอกสารนี้เป็นเอกสารที่สงวนไว้สำหรับการใช้งานเพื่อการศึกษาเท่านั้น ไม่อนุญาตให้นำไปใช้ประโยชน์ด้านการค้าไม่ว่ากรณีใดๆ ทั้งสิ้น อีกทั้งห้ามมิให้ดัดแปลงเนื้อหาและต้องอ้างอิงถึงเจ้าของเอกสารทุกครั้งที่มีการนำไปใช้

โปรแกรมควบคุมเฟดอาร์เรย์กึ่งอัตโนมัติและอัตโนมัติ

```

ORG 0000h
;ตั้งค่าโหมด 8255 A:O/P B:I/P CL:I/P CH:O/P
MOV A, #83H
MOV DPTR, #0C003H ;ตั้งค่าพอร์ทควบคุม
MOVX @DPTR, A
START: MOV R1, #30H ;สำหรับเก็บค่าแสดงผล
MOV R3, #04H
MOV 70H, #00H ;สำหรับเก็บค่าของสัญญาณ
MOV R2, #09H
MOV R4, #00H
INCLED: MOV @R1, #00H ;เคลียร์จอแสดงผล
INC R1
DJNZ R3, INCLED
S: MOV DPTR, #0C002H ;ตรวจสอบการกดสวิทช์เลือกโหมด
MOVX A, @DPTR
CJNE A, #0BH, KEYAUTO
JMP S
KEYAUTO: CALL KEYDOWN

;ตรวจสอบว่ากดคีย์ที่โหมดใด
AUTO: CJNE A, #0AH, MANUL
LCALL DAUTO
JMP INIT
MANUL: CJNE A, #09H, CB
LCALL DMANUL
JMP MMANUL
CB: JMP S

;ส่วนโปรแกรมอัตโนมัติ
INIT: MOV 70H, #00H
MOV R2, #09H
MOV R4, #00H
INIT1: INC R4
LCALL SHOLED
LCALL DELAY1
LCALL SWITCH
CLR P3.2
MOVX @DPTR, A
CALL DELAY100
MOV A, P1
CJNE A, 70H, NOT_EQ
MOV 70H, A
NOT_EQ: JC PHV
MOV 70H, A
MOV 0F0H, #09H
DIV AB
MOV 0F0H, #07H
MUL AB
MOV 75H, A

```

เอกสารนี้เป็นเอกสารที่สงวนไว้สำหรับการใช้งานเพื่อการศึกษาเท่านั้น ไม่อนุญาตให้นำไปใช้ประโยชน์ด้านการค้า
ไม่ว่ากรณีใดๆ ทั้งสิ้น อีกทั้งห้ามมิให้ดัดแปลงเนื้อหาและต้องอ้างอิงถึงเจ้าของเอกสารทุกครั้งที่มีการนำไปใช้

```

CALL DELAY1
MOV 0F0H,R4
PHV:  DJNZ R2,INIT1
      MOV  R4,0F0H
      LCALL SWITCH
      LCALL SHOLED
      MOV  A,70H
      MOV  0F0H,#0AH
      DIV  AB
      MOV  72H,A
MAINAU: LCALL DELAY1
        CLR  P3.2
        MOVX @DPTR,A
        CALL DELAY100
        MOV  A,P1
        CJNE A,75H,CH
        SJMP MAINAU
CH:     JC  MOVESW
        CLR  C
        SJMP MAINAU
MOVESW: CLR  C
        CJNE A,72H,ADJ4
        JNC  AD4
ADJ4:   JC  AD4
        INC  R4
        JNC  CH8
AD4:    INC  R4
        INC  R4
        INC  R4
        INC  R4
CH8:    CJNE R4,#09H,CONV
        MOV  R4,#01H
        JNC  CON
CONV:   JC  CON
        MOV  73H,A
        MOV  A,R4
        SUBB A,#08H
        MOV  R4,A
        MOV  A,73H
CON:    LCALL SWITCH
        MOV  DPTR,#0C002H
        MOVX A,@DPTR
        CJNE A,#09H,BA
        LCALL KEYDOWN
        LCALL DMANUL
        JMP  MMANUL
BA:     JMP  MAINAU
DELAY1: MOV  R0,#99H
LOOPJ:  MOV  R7,#00H
LOOP3:  DJNZ R7,LOOP3
        LCALL SHOLED
        NOP
        NOP
        NOP
        DJNZ R0,LOOPJ
        RET

```

ส่วนโปรแกรมกึ่งอัตโนมัติ

เอกสารนี้เป็นเอกสารที่สงวนไว้สำหรับการใช้งานเพื่อการศึกษาเท่านั้น ไม่อนุญาตให้นำไปใช้ประโยชน์ด้านการค้าไม่ว่ากรณีใดๆ ทั้งสิ้น อีกทั้งห้ามมิให้ดัดแปลงเนื้อหาและต้องอ้างอิงถึงเจ้าของเอกสารทุกครั้งที่มีการนำไปใช้

```

MMANUL: LCALL SHOLED
        MOV DPTR,#0C001H
        MOVX A,@DPTR
        CJNE A,#0FFH,KEYMANUL
        MOV DPTR,#0C002H
        MOVX A,@DPTR
        CJNE A,#0B,ITRA
        JMP MMANUL
KEYMANUL:LCALL KEYDOWN
        LCALL CHGVA1
        MOV 30H,#37H
        JMP MMANUL
ITRA:   LCALL KEYDOWN
        CJNE A,#0AH,MMANUL
        LCALL DAUTO
        LJMP INIT

```

;แสดงผล 7 เซกเมนต์

```

SHOLED: MOV R1,#30H
        MOV DPTR,#0C000H
        MOV A,@R1
        MOVX @DPTR,A
        MOV DPTR,#0C002H
        MOV A,#0C0H
        MOVX @DPTR,A
        LCALL DELAY

        INC R1
        MOV DPTR,#0C000H
        MOV A,@R1
        MOVX @DPTR,A
        MOV DPTR,#0C002H
        MOV A,#70H
        MOVX @DPTR,A
        LCALL DELAY

        INC R1
        MOV DPTR,#0C000H
        MOV A,@R1
        MOVX @DPTR,A
        MOV DPTR,#0C002H
        MOV A,#80H
        MOVX @DPTR,A
        LCALL DELAY

        INC R1
        MOV DPTR,#0C000H
        MOV A,@R1
        MOVX @DPTR,A
        MOV DPTR,#0C002H
        MOV A,#00H
        MOVX @DPTR,A
        LCALL DELAY
        RET

```

;ส่วนแก้ความผิดพลาดการกดคีย์

เอกสารนี้เป็นเอกสารที่สงวนไว้สำหรับการใช้งานเพื่อการศึกษาเท่านั้น ไม่อนุญาตให้นำไปใช้ประโยชน์ด้านการค้า
ไม่ว่ากรณีใดๆ ทั้งสิ้น อีกทั้งห้ามมิให้ดัดแปลงเนื้อหาและต้องอ้างอิงถึงเจ้าของเอกสารทุกครั้งที่มีการนำไปใช้

```
KEYDOWN:MOV 60H,A
          LCALL DELAY
          MOVX A,@DPTR
          CJNE A,60H,RETURN
```

```
BACK:    MOVX A,@DPTR
          MOV 61H,A
          LCALL DELAY
          MOVX A,@DPTR
          CJNE A,61H,BACK
```

```
RELEASE:MOV A,60H
RETURN:  RET
```

;ตรวจสอบค่าในโหมดกึ่งอัตโนมัติ

```
CHGVA1: CJNE A,#0FEH,CHGVA2
          MOV R4,#01H
          CALL SWITCH
          RET
```

```
CHGVA2: CJNE A,#0FDH,CHGVA3
          MOV R4,#02H
          CALL SWITCH
          RET
```

```
CHGVA3: CJNE A,#0FBH,CHGVA4
          MOV R4,#03H
          CALL SWITCH
          RET
```

```
CHGVA4: CJNE A,#0F7H,CHGVA5
          MOV R4,#04H
          CALL SWITCH
          RET
```

```
CHGVA5: CJNE A,#0EFH,CHGVA6
          MOV R4,#05H
          CALL SWITCH
          RET
```

```
CHGVA6: CJNE A,#0DFH,CHGVA7
          MOV R4,#06H
          CALL SWITCH
          RET
```

```
CHGVA7: CJNE A,#0BFH,CHGVA8
          MOV R4,#07H
          CALL SWITCH
          RET
```

```
CHGVA8: CJNE A,#7FH,TURN
          MOV R4,#08H
          CALL SWITCH
```

```
TURN:   RET
```

;โปรแกรมย่อยสำหรับควบคุมสวิทช์

```
SWITCH: CJNE R4,#01H,C2
          MOV DPTR,#0E000H
          MOV A,#80H
          MOVX @DPTR,A
          INC DPL
          MOV A,#0C8H
          MOVX @DPTR,A
          LCALL DAN45
```

เอกสารนี้เป็นเอกสารที่สงวนไว้สำหรับการใช้งานเพื่อการศึกษาเท่านั้น ไม่อนุญาตให้นำไปใช้ประโยชน์ด้านการค้า
ไม่ว่ากรณีใดๆ ทั้งสิ้น อีกทั้งห้ามมิให้ดัดแปลงเนื้อหาและต้องอ้างอิงถึงเจ้าของเอกสารทุกครั้งที่มีการนำไปใช้

```

RET
C2:  CJNE R4, #02H, C3
      MOV  DPTR, #0E000H
      MOV  A, #3FH
      MOVX @DPTR, A
      INC  DPL
      MOV  A, #22H
      MOVX @DPTR, A
      LCALL DAN90
      RET
C3:  CJNE R4, #03H, C4
      MOV  DPTR, #0E000H
      MOV  A, #0C0H
      MOVX @DPTR, A
      INC  DPL
      MOV  A, #88H
      MOVX @DPTR, A
      LCALL DAN135
      RET
C4:  CJNE R4, #04H, C5
      MOV  DPTR, #0E000H
      MOV  A, #3EH
      MOVX @DPTR, A
      INC  DPL
      MOV  A, #23H
      MOVX @DPTR, A
      LCALL DAN180
      RET
C5:  CJNE R4, #05H, C6
      MOV  DPTR, #0E000H
      MOV  A, #0C8H
      MOVX @DPTR, A
      INC  DPL
      MOV  A, #8CH
      MOVX @DPTR, A
      LCALL DAN225
      RET
C6:  CJNE R4, #06H, C7
      MOV  DPTR, #0E000H
      MOV  A, #2EH
      MOVX @DPTR, A
      INC  DPL
      MOV  A, #33H
      MOVX @DPTR, A
      LCALL DAN270
      RET
C7:  CJNE R4, #07H, C8
      MOV  DPTR, #0E000H
      MOV  A, #88H
      MOVX @DPTR, A
      INC  DPL
      MOV  A, #0CCH
      MOVX @DPTR, A
      LCALL DAN315
      RET
C8:  CJNE R4, #08H, COME
      MOV  DPTR, #0E000H
      MOV  A, #2FH
      MOVX @DPTR, A
      INC  DPL

```

เอกสารนี้เป็นเอกสารที่สงวนไว้สำหรับการใช้งานเพื่อการศึกษาเท่านั้น ไม่อนุญาตให้นำไปใช้ประโยชน์ด้านการค้า
ไม่ว่ากรณีใดๆ ทั้งสิ้น อีกทั้งห้ามมิให้ดัดแปลงเนื้อหาและต้องอ้างอิงถึงเจ้าของเอกสารทุกครั้งที่มีการนำไปใช้

```

MOV A, #32H
MOVX @DPTR, A
LCALL DAN360
COME: RET

```

; ส่วนข้อมูลแสดงผล

```

DAN45: MOV 30H, #00H
        MOV 31H, #00H
        MOV 32H, #66H
        MOV 33H, #6DH
        RET
DAN90: MOV 30H, #00H
        MOV 31H, #00H
        MOV 32H, #6FH
        MOV 33H, #3FH
        RET
DAN135: MOV 30H, #00H
        MOV 31H, #06H
        MOV 32H, #4FH
        MOV 33H, #6DH
        RET
DAN180: MOV 30H, #00H
        MOV 31H, #06H
        MOV 32H, #7FH
        MOV 33H, #3FH
        RET
DAN225: MOV 30H, #00H
        MOV 31H, #5BH
        MOV 32H, #5BH
        MOV 33H, #6DH
        RET
DAN270: MOV 30H, #00H
        MOV 31H, #5BH
        MOV 32H, #07H
        MOV 33H, #3FH
        RET
DAN315: MOV 30H, #00H
        MOV 31H, #4FH
        MOV 32H, #06H
        MOV 33H, #6DH
        RET
DAN360: MOV 30H, #00H
        MOV 31H, #4FH
        MOV 32H, #7DH
        MOV 33H, #3FH
        RET
DAUTO: MOV 30H, #77H
        MOV 31H, #3EH
        MOV 32H, #31H
        MOV 33H, #3FH
        RET
DMANUL: MOV 30H, #37H
        MOV 31H, #77H
        MOV 32H, #3EH
        MOV 33H, #38H
        RET
DELAY: MOV R5, #07h

```

เอกสารนี้เป็นเอกสารที่สงวนไว้สำหรับการใช้งานเพื่อการศึกษาเท่านั้น ไม่อนุญาตให้นำไปใช้ประโยชน์ด้านการค้า
ไม่ว่ากรณีใดๆ ทั้งสิ้น อีกทั้งห้ามมิให้ดัดแปลงเนื้อหาและต้องอ้างอิงถึงเจ้าของเอกสารทุกครั้งที่มีการนำไปใช้

```
LOOP2: MOV R6,#00h
LOOP1: DJNZ R6,LOOP1
        DJNZ R5,LOOP2
        RET
```

```
DELAY100:MOV R5,#44H
LOOPA:  DJNZ R5,LOOPA
        NOP
        NOP
        RET
        END
```



เอกสารนี้เป็นเอกสารที่สงวนไว้สำหรับการใช้งานเพื่อการศึกษาเท่านั้น ไม่อนุญาตให้นำไปใช้ประโยชน์ด้านการค้า
ไม่ว่ากรณีใดๆ ทั้งสิ้น อีกทั้งห้ามมิให้ดัดแปลงเนื้อหาและต้องอ้างอิงถึงเจ้าของเอกสารทุกครั้งที่มีการนำไปใช้

บทที่ 4

การทดลองและผลการทดลอง

4.1 การทดลอง

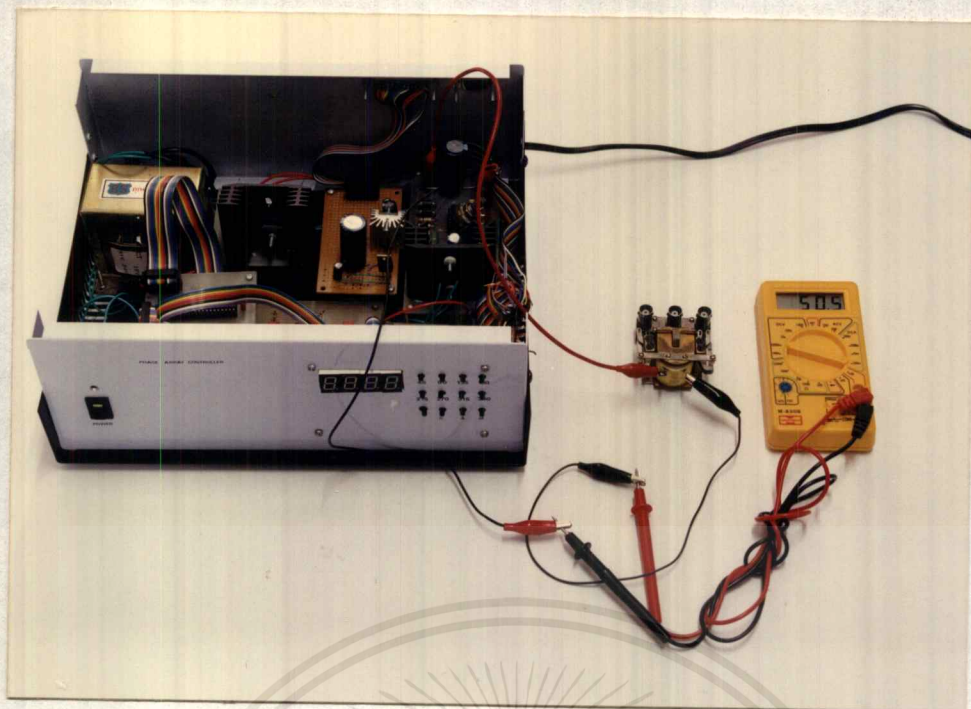
เรื่องการวัดกระแสของรีเลย์ขณะทำงานเพื่อนำไปออกแบบสวิตซ์ทรานซิสเตอร์

4.1.1 วิธีการทดลองที่ 1

1. ต่อวงจรวัดกระแสรีเลย์ดังรูปที่ 4.1, 4.2
2. อ่านค่ากระแสจากแอมป์มิเตอร์และบันทึกผล
3. นำค่าที่ได้ไปออกแบบโดยกระแสที่ได้คือ กระแสคอลเลกเตอร์ของทรานซิสเตอร์นั่นเอง



รูปที่ 4.1 การวัดกระแสรีเลย์ที่ใช้แรงดัน 9 V



รูปที่ 4.2 การวัดกระแสรีเลย์ที่ใช้แรงดัน 48 V

ผลการทดลอง

จะได้ตามตารางที่ 4.1

แบบรีเลย์	แรงดันที่รีเลย์ใช้	กระแสที่วัดได้
รีเลย์แบบที่ 1	48V	49.7mA
รีเลย์แบบที่ 2	9V	114.4mA

ตารางที่ 4.1 แสดงผลการวัดกระแสของรีเลย์

4.2 การทดลอง

เรื่องการทดลองแรงดันไฟกระแสตรงจากคิเทคเตอร์ผ่านวงจรรขยายกระแสตรง

4.2.1 วิธีการทดลองที่ 1

1. ต่อคิเทคเตอร์เข้ากับวงจรรขยาย
2. ต่อคิเทคเตอร์เข้ากับเครื่องเน็คเวิร์คอนาไลเซอร์โดยตั้งความถี่ที่ 2.45 GHz
3. ตั้งค่ากำลังงาน 10 dBm
4. วัดแรงดันเอาต์พุทของคิเทคเตอร์ และเอาต์พุทของวงจรรขยายโดยใช้ดิจิตอลมิเตอร์ บันทึกผล
5. ลดค่าเกนเพาเวอร์ลงทีละ 1 dBm จนกระทั่งวัดค่าที่เอาต์พุทของคิเทคเตอร์ไม่ได้

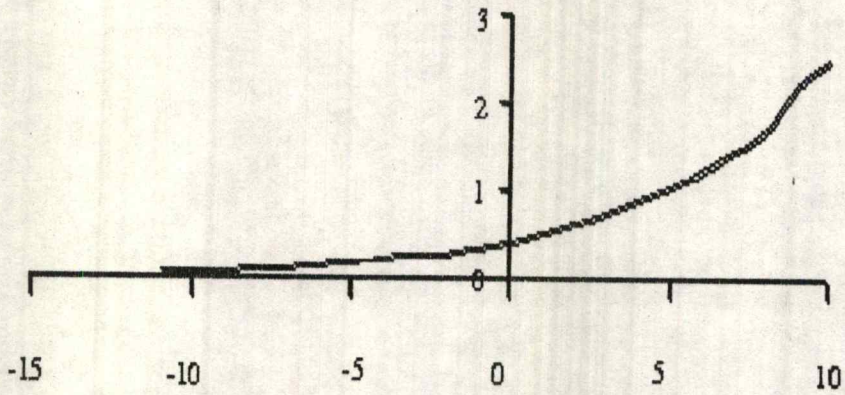
ผลการทดลอง

จะได้ตามตารางที่ 4.2

เอ้าท์พุทของ เน็ตเวิร์คกอนาไลเซอร์(dBm)	เอ้าท์พุทของคิเทคเตอร์ (mV)	เอ้าท์พุทของวงจรมหา (V)
10	-24.4	2.48
9	-21.4	2.18
8	-18.7	1.66
7	-16.2	1.43
6	-14	1.2
5	-11	1.04
4	-10	0.878
3	-8	0.733
2	-6.9	0.605
1	-5.7	0.499
0	-4.6	0.406
-1	-3.7	0.33
-2	-2.9	0.26
-3	-2.2	0.26
-4	-1.7	0.21
-5	-1.3	0.1706
-6	-0.9	0.1359
-7	-0.7	0.1083
-8	-0.4	0.0865
-9	-0.3	0.692
-10	-0.1	0.056
-11	-0.1	0.056

ตารางที่ 4.2 แสดงค่าเอ้าท์พุทที่ออกจากคิเทคเตอร์และวงจรมหา

เอาต์พุตของวงจรถยาย (V)



เอาต์พุตของเน็คเวิร์คคอนวาไลเซอร์ (dbm)

รูปที่ 4.3 กราฟแสดงค่าเอาต์พุตของดีเทคเตอร์ที่ผ่านวงจรถยาย

4.3 การทดลอง

การทำงานของวงจรแปลงสัญญาณอนาลอกเป็นสัญญาณดิจิทัล

4.3.1 วิธีการทดลองที่ 1

นำเอาไอซีเบอร์ ADC0804 ต่อดังรูปที่ 2.13 ที่แสดงรูปการทดลองในรูปที่ 4.4 และ 4.5 ปรับค่าที่แรงดันที่ขา 9 เป็น 2.45 โวลต์ โดยปรับที่ ตัวความต้านทานปรับค่าได้ที่ควบคุมอยู่กับ ไอซีแรงดันอ้างอิง LM336 2.5 V

จากนั้นนำ LED มาต่อที่ เอาต์พุตของตำแหน่ง E000 บิตที่ 0-7 (74LS374) จากนั้นเขียนโปรแกรมโดยให้ค่าที่รับจากเอชดูดี แสดงค่าออกที่ เอาต์พุตของตำแหน่ง E000 บิตที่ 0-7 (74LS374)

โดยป้อนค่าอินพุตจากเรกกูเรเตอร์เข้าที่ขาอินพุตของไอซี โดยปรับค่าตั้งแต่ 0-3 โวลต์ โดย ปรับค่าแรงดันขึ้นครั้งละ 0.2 โวลต์

ผลการทดลอง

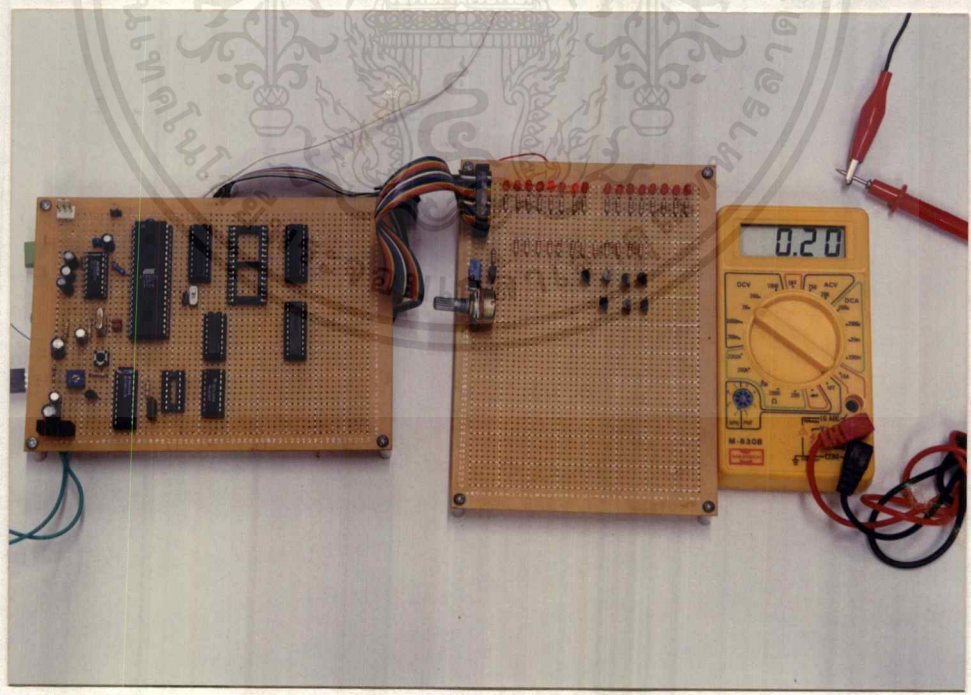
จะได้ค่าตามตารางที่ 4.3 ซึ่งแสดงค่ารหัสที่ได้จากอินพุตค่าต่างๆ

อินพุตที่ป้อนให้เอชดูดี(โวลต์)	ค่ารหัสที่แสดงออกมาที่แอลอีดี
0	00000000
0.2	00001010
0.4	00010100
0.6	00011111
0.8	00101001

1	00110011
1.2	00111101
1.4	01000111
1.6	01010011
1.8	01011100
2	01100111
2.2	01110000
2.4	01111010
2.6	10000101
2.8	10001111
3	10011001

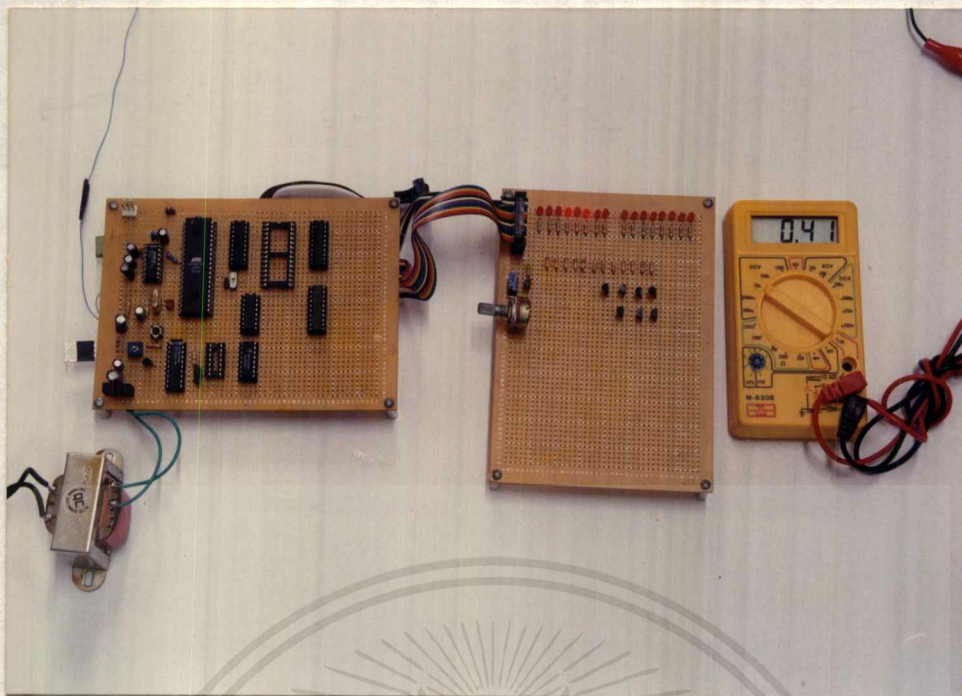
ตารางที่ 4.3 แสดงค่าของรหัสที่ได้เมื่อป้อนอินพุตค่าต่างๆ

หมายเหตุ 1 แทน สถานะหลอดแอลอีดีติด
0 แทน สถานะหลอดแอลอีดีดับ



รูปที่ 4.4 แสดงรูปผลการทดลอง A/D ที่อินพุตเข้า A/D 0.2 V

เอกสารนี้เป็นเอกสารที่สงวนไว้สำหรับการใช้งานเพื่อการศึกษาเท่านั้น ไม่อนุญาตให้นำไปใช้ประโยชน์ด้านการค้า
ไม่ว่ากรณีใดๆ ทั้งสิ้น อีกทั้งห้ามมิให้ดัดแปลงเนื้อหาและต้องอ้างอิงถึงเจ้าของเอกสารทุกครั้งที่มีการนำไปใช้



รูปที่ 4.5 แสดงรูปผลการทดลอง A/D ที่อินพุตเข้า A/D 0.4 V

โปรแกรมที่ใช้ในการทดลองที่ 4.3

```

MAIN:   CLR   P3.2           ; เริ่มต้น AD
        MOVX @DPTR, A
        CALL DELAY
        MOV  A, P1
        MOV  DPTR, #0E000H ; ตั้งค่าตำแหน่งเอาต์พุต
        MOVX @DPTR, A      ; นำค่าที่ได้จากเอาต์พุต
        SJMP MAIN

DELAY:  MOV  R5, #44H      ; หน่วงเวลา 100µs

LOOPA:  DJNZ R5, LOOPA

        NOP
        NOP
        END
  
```

4.4 การทดลอง

ตรวจสอบทำงานของโปรแกรม

4.4.1 วิธีการทดลองที่ 1

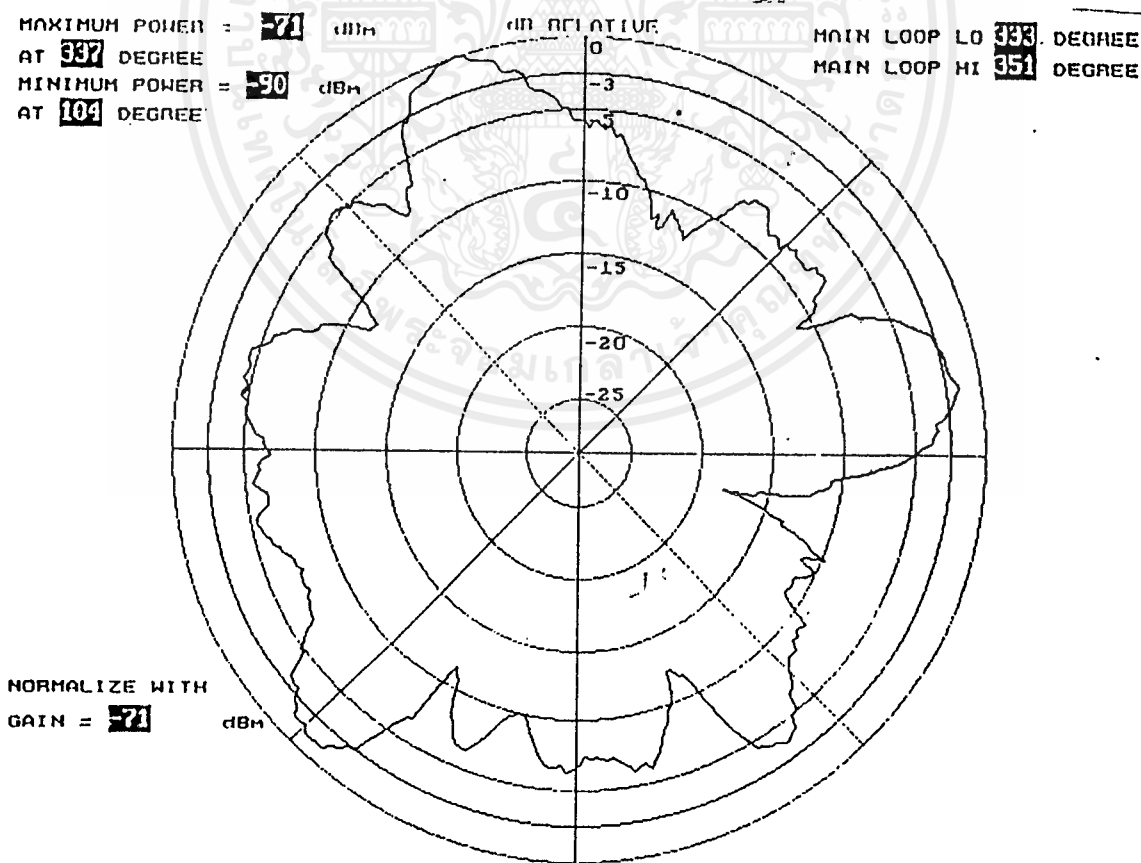
เอกสารนี้เป็นเอกสารที่สงวนไว้สำหรับการใช้งานเพื่อการศึกษาเท่านั้น ไม่อนุญาตให้นำไปใช้ประโยชน์ด้านการค้า
ไม่ว่ากรณีใดๆ ทั้งสิ้น อีกทั้งห้ามมิให้ดัดแปลงเนื้อหาและต้องอ้างอิงถึงเจ้าของเอกสารทุกครั้งที่มีการนำไปใช้

นำเครื่องควบคุมเฟสของสายอากาศต่อกับสายอากาศ แล้วนำไปต่อกับเครื่องวัดแพทเทอรันของสายอากาศ โดยตั้งตัวส่งอยู่ห่างจากสายอากาศ ประมาณ 3-4 เมตร โดยหันทิศทางของสายอากาศตัวรับมาที่เอเดมน์แรก คือที่ 45 องศา แล้วทำตามขั้นตอนต่อไปนี้

1. ปรับโหมคการรับให้อยู่ในโหมคกึ่งอัตโนมัติ
2. แล้วกดสวิทช์ปรับเฟสไปที่ 45 องศา
3. ทำการวัดแพทเทอรันแล้วบันทึกผลการทดลอง
4. ทำการปรับสวิทช์ไปที่ 90 องศา ทำการวัดแพทเทอรัน แล้วบันทึกผลการทดลอง
5. ทำการปรับสวิทช์ไปที่ 135 องศา ทำการวัดแพทเทอรัน แล้วบันทึกผลการทดลอง
6. ทำการปรับสวิทช์ไปที่ 180 องศา ทำการวัดแพทเทอรัน แล้วบันทึกผลการทดลอง
7. ทำการปรับสวิทช์ไปที่ 225 องศา ทำการวัดแพทเทอรัน แล้วบันทึกผลการทดลอง
8. ทำการปรับสวิทช์ไปที่ 270 องศา ทำการวัดแพทเทอรัน แล้วบันทึกผลการทดลอง
9. ทำการปรับสวิทช์ไปที่ 315 องศา ทำการวัดแพทเทอรัน แล้วบันทึกผลการทดลอง
10. ทำการปรับสวิทช์ไปที่ 360 องศา ทำการวัดแพทเทอรัน แล้วบันทึกผลการทดลอง

ผลการทดลอง

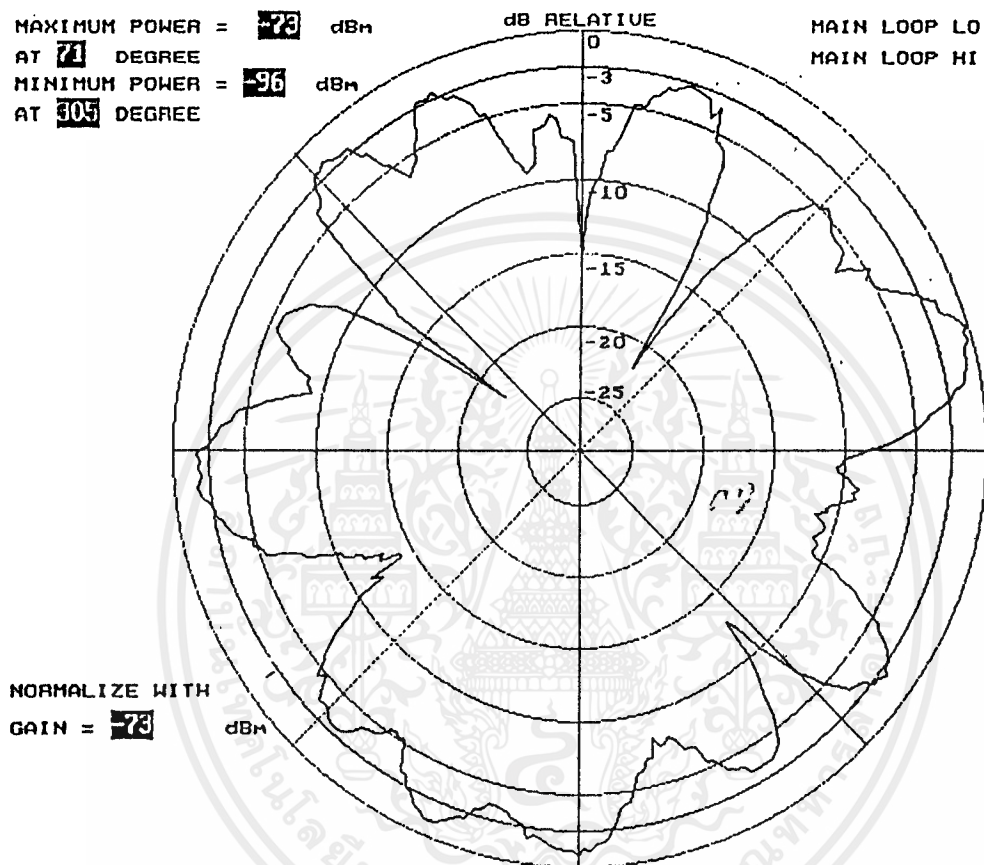
เมื่อทำการวัดแพทเทอรันจะได้รูปดังต่อไปนี้



รูปที่ 4.6 แสดงรูปของแพทเทอรันเมื่อปรับเฟสที่ 45 องศา

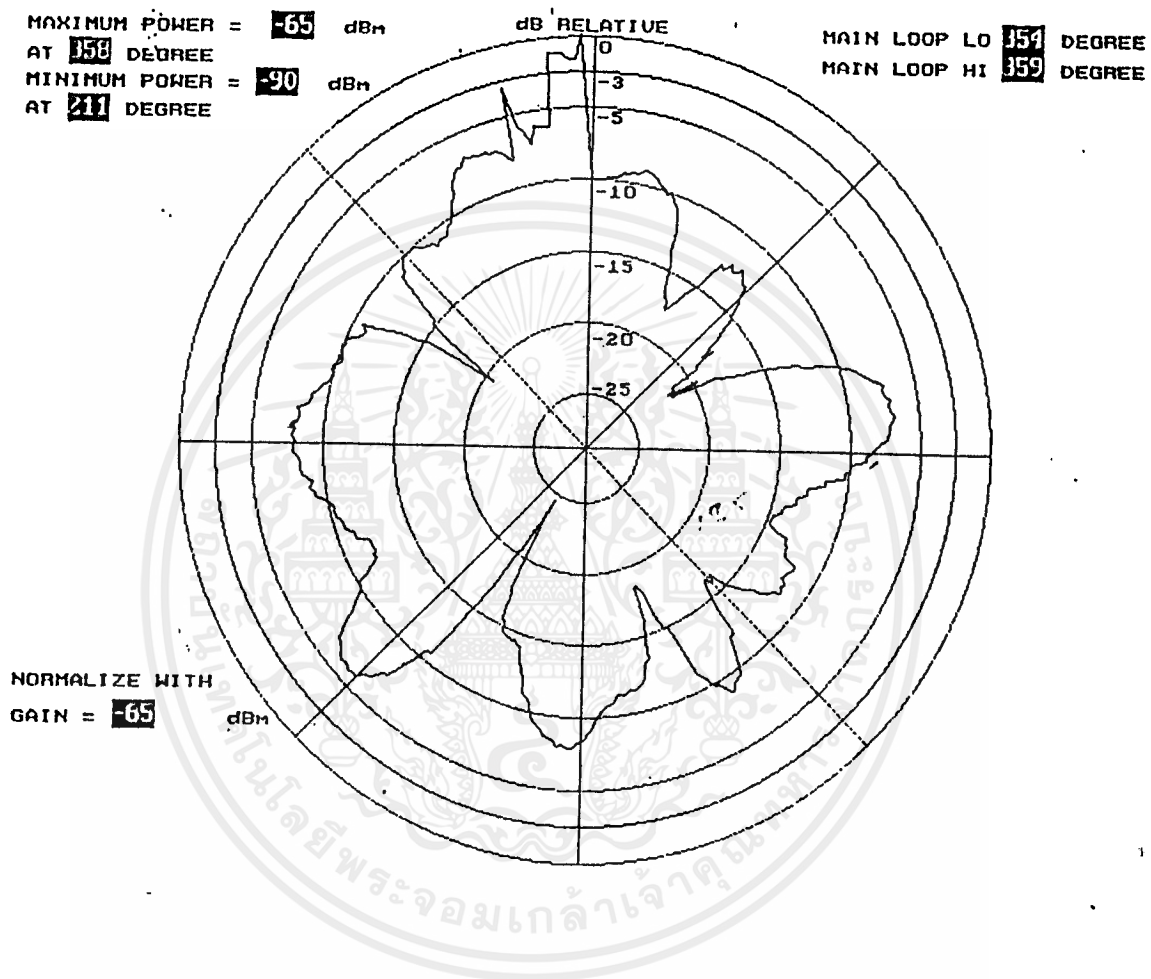
MAXIMUM POWER = **-78** dBm
 AT **71** DEGREE
 MINIMUM POWER = **-96** dBm
 AT **305** DEGREE

MAIN LOOP LO **37** DEGREE
 MAIN LOOP HI **33** DEGREE

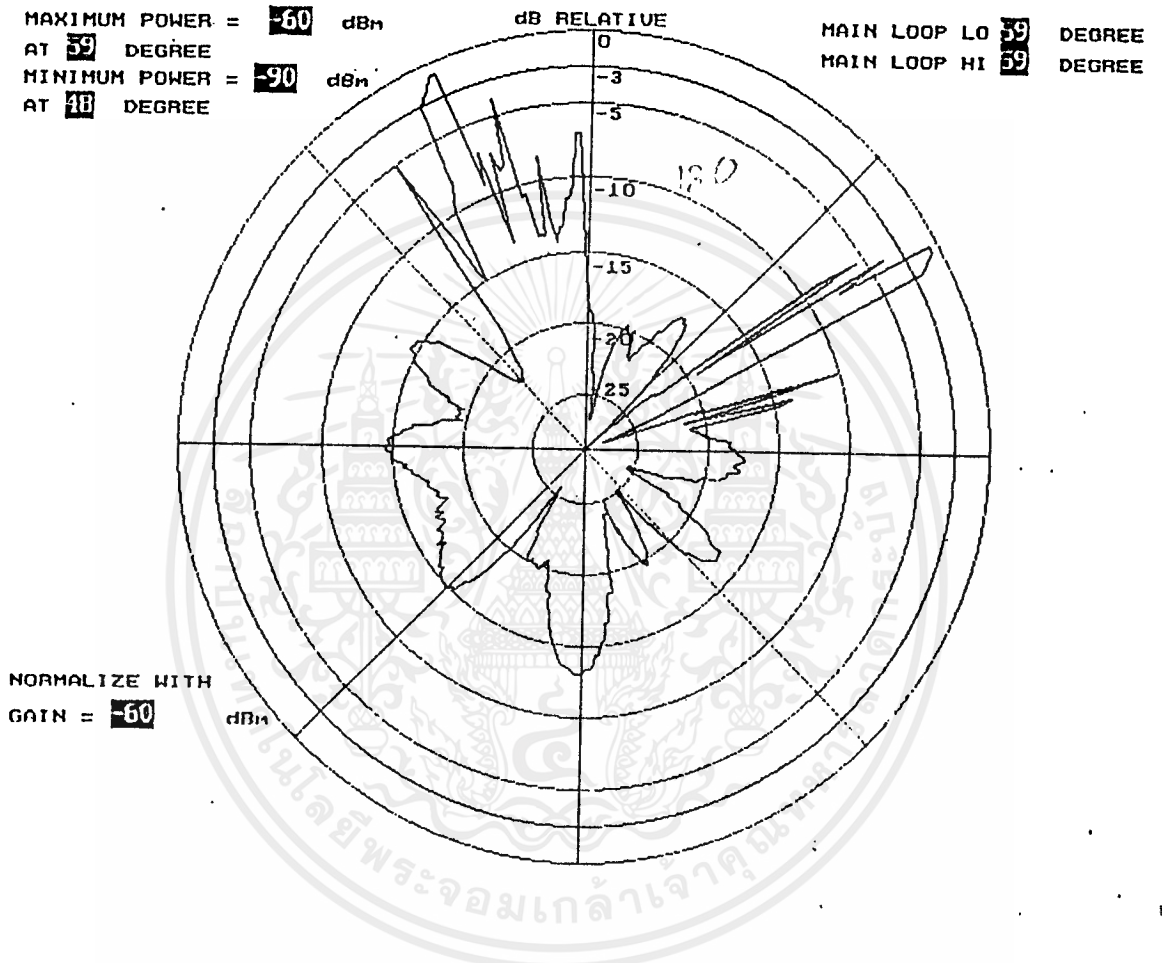


NORMALIZE WITH
 GAIN = **-78** dBm

รูปที่ 4.7 แสดงรูปของแพทเทิร์นเมื่อปรับเฟสที่ 90 องศา

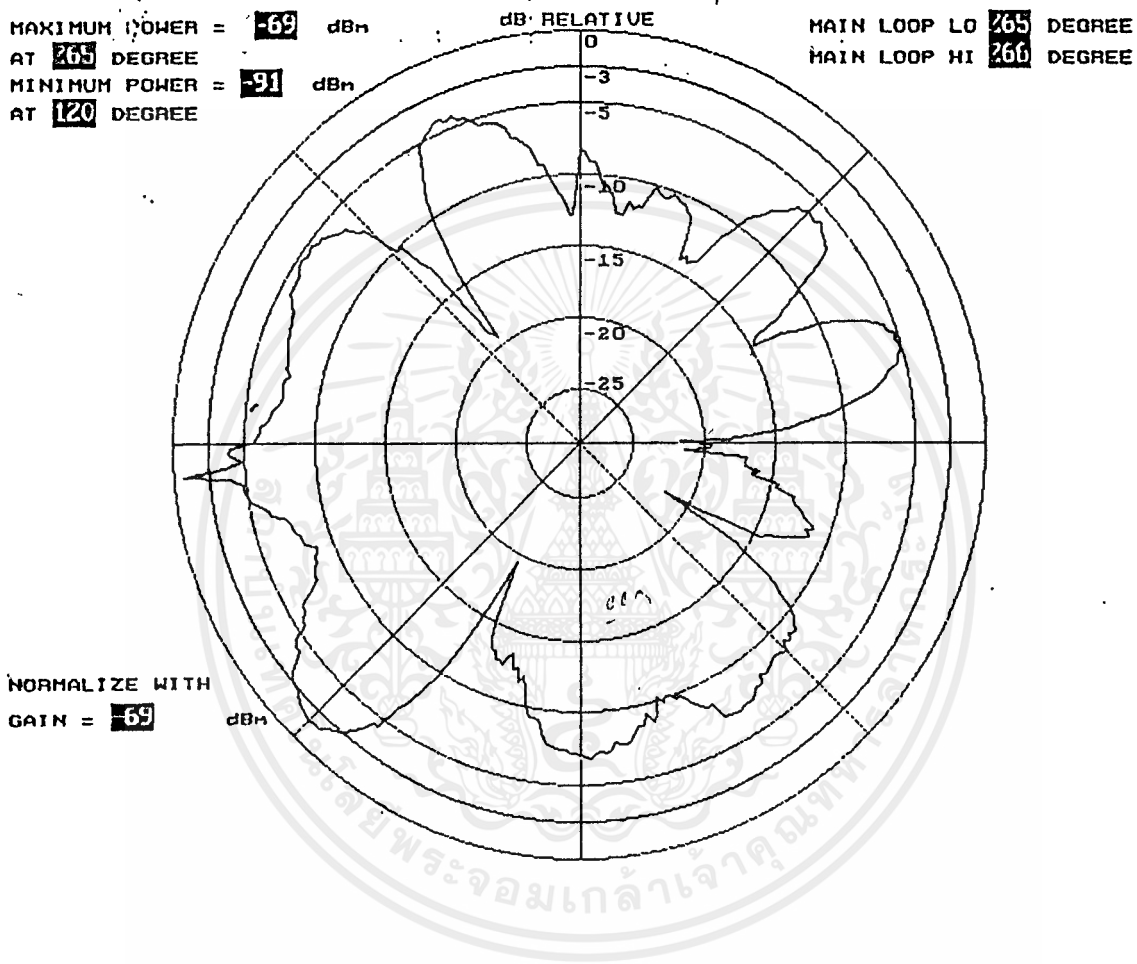


รูปที่ 4.8 แสดงรูปของแพทเทิร์นเมื่อปรับเฟสที่ 135 องศา



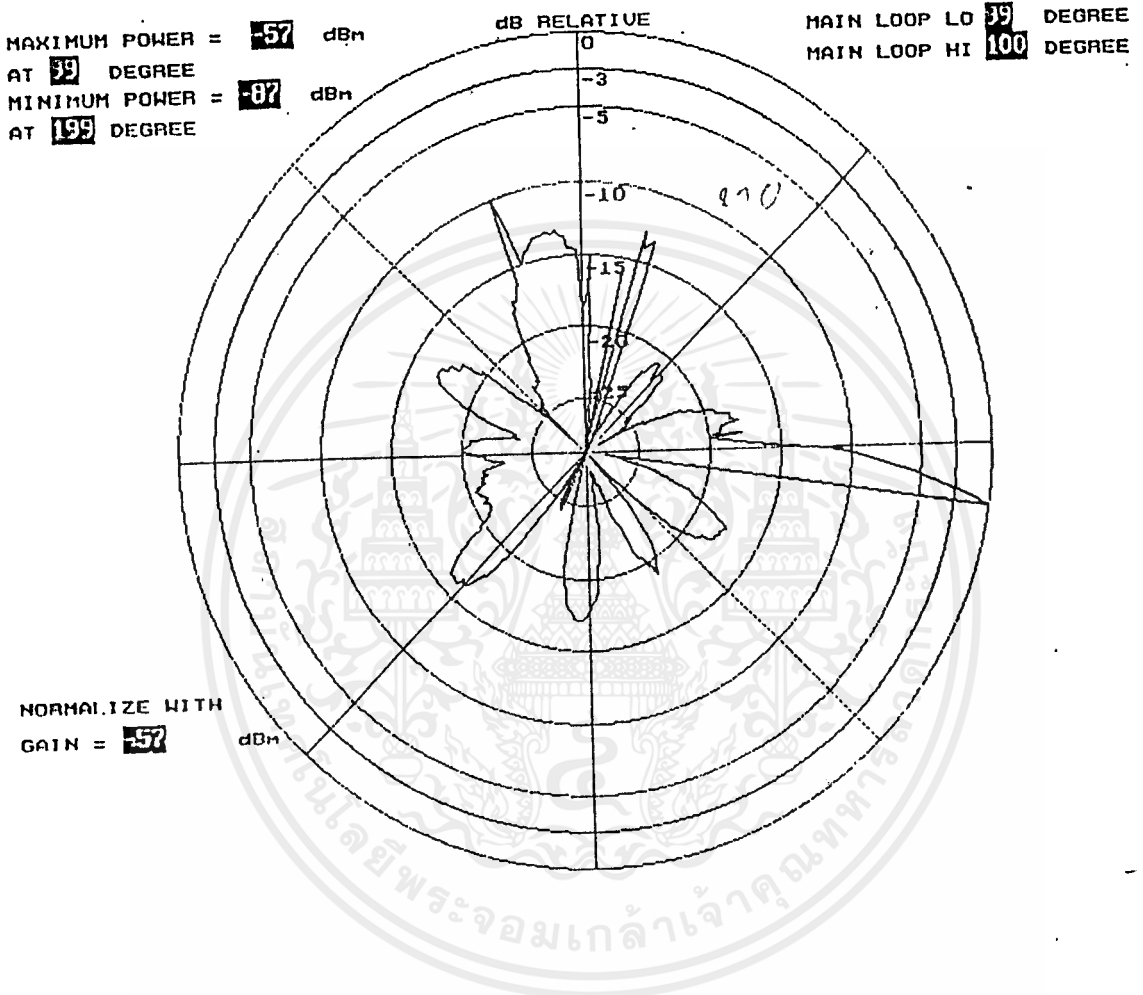
รูปที่ 4.9 แสดงรูปของแพทเทอรันเมื่อปรับเฟสที่ 180 องศา

เอกสารนี้เป็นเอกสารที่สงวนไว้สำหรับการใช้งานเพื่อการศึกษาเท่านั้น ไม่อนุญาตให้นำไปใช้ประโยชน์ด้านการค้าไม่ว่ากรณีใดๆ ทั้งสิ้น อีกทั้งห้ามมิให้ดัดแปลงเนื้อหาและต้องอ้างอิงถึงเจ้าของเอกสารทุกครั้งที่มีการนำไปใช้

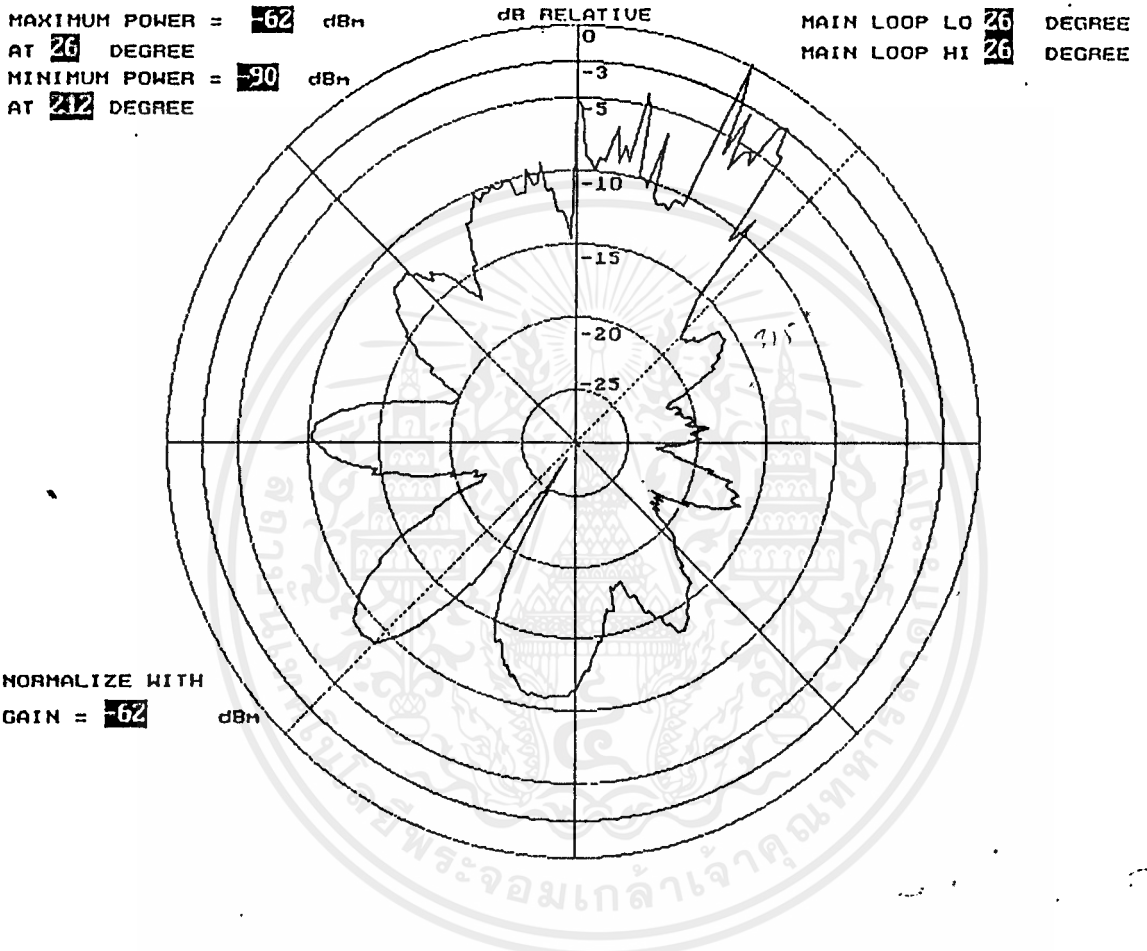


รูปที่ 4.10 แสดงรูปของแพทเทิร์นเมื่อปรับเฟสที่ 225 องศา

เอกสารนี้เป็นเอกสารที่สงวนไว้สำหรับการใช้งานเพื่อการศึกษาเท่านั้น ไม่อนุญาตให้นำไปใช้ประโยชน์ด้านการค้าไม่ว่ากรณีใดๆ ทั้งสิ้น อีกทั้งห้ามมิให้ดัดแปลงเนื้อหาและต้องอ้างอิงถึงเจ้าของเอกสารทุกครั้งที่มีการนำไปใช้



รูปที่ 4.11 แสดงรูปของแพทเทิร์นเมื่อปรับเฟสที่ 270 องศา

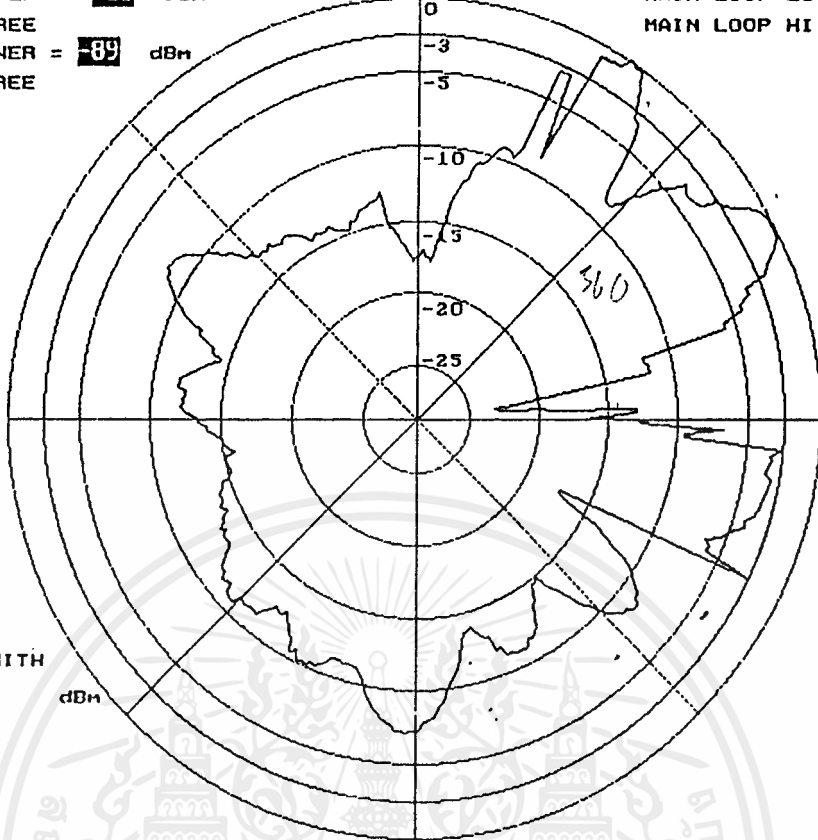


รูปที่ 4.12 แสดงรูปของแพทเทอรันเมื่อปรับเฟสที่ 315 องศา

MAXIMUM POWER = **-65** dBm
 AT **30** DEGREE
 MINIMUM POWER = **-89** dBm
 AT **32** DEGREE

dB RELATIVE

MAIN LOOP LO **29** DEGREE
 MAIN LOOP HI **37** DEGREE



NORMALIZE WITH
 GAIN = **-65** dBm

รูปที่ 4.13 แสดงรูปของแพทเทิร์นเมื่อปรับเฟสที่ 360 องศา

4.4.2 วิธีการทดลองที่ 2

1. ต่อเครื่องควบคุมเฟสอัตโนมัติเข้ากับสายอากาศ
ต่อคิตเทคเตอร์เข้ากับเน็ตเวิร์คอะนาไลเซอร์ แล้วนำเอาที่หุ้ดของคิตเทคเตอร์ต่อเข้ากับอินพุทของ
เครื่องควบคุมเฟส ดังรูปที่ 4.14
2. ตั้งค่าเพาเวอร์ของเน็ตเวิร์คอะนาไลเซอร์ที่ 6 dBm.
3. เปิดสวิทช์ที่เครื่องควบคุมเฟสแล้วเลือกไปที่โหมดอัตโนมัติ สังเกตการเปลี่ยนแปลง บันทึกผล
4. รอจนกว่าเฟสเปลี่ยนไปที่ 90 องศา โดยดูจากตัวเลขที่แสดงอยู่บนเครื่องควบคุมเฟสอัตโนมัติ
จากนั้นเพิ่มค่าเพาเวอร์ที่เน็ตเวิร์คอะนาไลเซอร์ เป็น 10 dBm จากนั้นสังเกตและบันทึกผล
5. จากนั้นเมื่อเฟสเปลี่ยนไปถึง 135 องศา ให้ลดเพาเวอร์ลงเหลือ 6 dBm และสังเกตผล บันทึก
ผลเมื่อเปลี่ยนเฟสไปจนครบ 360 องศา
6. เพิ่มค่าเพาเวอร์เป็น 10 dBm และต่อจากนั้น ลดค่าเพาเวอร์เป็น 8 dBm สังเกตผล
7. จากนั้นเพิ่มค่าเพาเวอร์ให้ขึ้นเป็น 10 dBm สังเกตผล
8. ปรับค่าเพาเวอร์ให้ลดลงเหลือ 1 dBm สังเกตผลการเปลี่ยนเฟส
9. จากนั้นเพิ่มกลับไปที่มากกว่า 8 dBm สังเกตและบันทึกผลการทดลอง



รูปที่ 4.14 แสดงการต่อเครื่องควบคุมเฟสเข้ากับเน็ตเวิร์คออนไลน์เซอร์

ผลการทดลอง

เมื่อเริ่มต้นหลังจากเลือกโหมดอัตโนมัติ เครื่องจะเริ่มเปลี่ยนเฟสแรกที่ 45 องศา ซึ่งจะแสดงให้เห็นบนเครื่องปรับเฟสอัตโนมัติ พร้อมทั้งจะทำการเปลี่ยนสวิทช์บนสายอากาศไปตามตารางที่ 3.1

ต่อไปเมื่อเปลี่ยนไปที่ 90 องศาแล้ว เราทำการทดลองข้อ 5, 6 เสร็จ เฟสจะเปลี่ยนมาที่ 90 องศา จากนั้นเฟสจะคงที่อยู่ที่ 90 องศาไปตลอดเวลา จนกระทั่งเราทำการทดลองข้อ 7 และ ข้อ 8 เสร็จ เฟสก็ยังคงที่อยู่ที่เดิมไม่มีการเปลี่ยนแปลง เมื่อทำการทดลองข้อ 9 แล้วปรากฏว่าจะเกิดการเลื่อนเฟสจาก 90 องศาไปเป็นเฟสที่ 270 องศา และ ต่อจากนั้นจะเปลี่ยนเฟสไปเรื่อย ๆ ทีละ 45 องศา จนกระทั่งเราทำการทดลองข้อ 10 ในขณะที่เฟสเปลี่ยนไปอยู่ที่เฟสเท่าใด จะคงที่อยู่ที่เฟสนั้นโดยไม่มีการเปลี่ยนแปลงอีกต่อไป

บทที่ 5

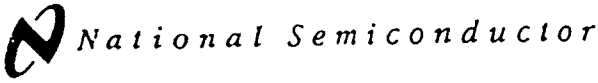
บทวิจารณ์และบทสรุป

จากการทดลองในบทที่ 4 จะพบว่าโปรแกรมสามารถควบคุมการปรับเฟสได้จริง โดยเมื่อสัญญาณมีระดับคงที่จะไม่มีการปรับเฟสรีเฟรช แต่พอสัญญาณมีระดับลดลงจะมีการสแกน เฟสรีเฟรช ไปที่ค่าต่างๆเพื่อหาระดับสัญญาณสูงสุด เมื่อพบแล้วจะหยุดการสแกนเฟสรีเฟรช เนื่องจากทดลองกับสายอากาศจริงๆ แต่ไม่สามารถที่จะหาตัวคิเท็คเตอร์ที่มีประสิทธิภาพพอที่จะรับสัญญาณที่ระดับนี้ได้ รวมทั้งเมื่อคุณภาพของสายอากาศที่ใช้ทดลองแล้ว ก็จะเห็นว่าไม่เป็นไปไกล่เคียงกับทฤษฎีจึงทำให้ยังไม่ทราบถึงประสิทธิภาพที่แท้จริงของโปรแกรมและวงจรควบคุมเนื่องจากเวลาทดลองจะต้องจำลองระดับสัญญาณที่ค่าต่างๆ ซึ่งอาจจะทำให้ผลการทดลองที่ได้นี้ไม่ค่อยชัดเจนนัก ซึ่งในอนาคตต่อไป เมื่อนำสายอากาศที่ปรับปรุงจนดี รวมถึงสามารถหาตัวคิเท็คเตอร์ที่มีความไวในการรับสัญญาณมากกว่านี้หรือมีเครื่องขยายกำลังสัญญาณอาร์เอฟ 2.45 GHz เราก็สามารถจะทดลองและปรับปรุงโปรแกรมควบคุมตามแพทเทิร์นในทางปฏิบัติที่ใกล้เคียงกับทฤษฎี ซึ่งจะช่วยให้เครื่องควบคุมเฟสอันนี้สามารถที่จะใช้งานได้อย่างมีประสิทธิภาพ





เอกสารนี้เป็นเอกสารที่สงวนไว้สำหรับการใช้งานเพื่อการศึกษาเท่านั้น ไม่อนุญาตให้นำไปใช้ประโยชน์ด้านการค้า
แม้ว่ากรณีใดๆ ทั้งสิ้น อีกทั้งห้ามมิให้ดัดแปลงเนื้อหาและต้องอ้างอิงถึงเจ้าของเอกสารทุกครั้งที่มีการนำไปใช้



LM136-2.5/LM236-2.5/LM336-2.5V Reference Diode

General Description

The LM136-2.5/LM236-2.5 and LM336-2.5 integrated circuits are precision 2.5V shunt regulator diodes. These monolithic IC voltage references operate as a low-temperature-coefficient 2.5V zener with 0.2Ω dynamic impedance. A third terminal on the LM136-2.5 allows the reference voltage and temperature coefficient to be trimmed easily.

The LM136-2.5 series is useful as a precision 2.5V low voltage reference for digital voltmeters, power supplies or op amp circuitry. The 2.5V makes it convenient to obtain a stable reference from 5V logic supplies. Further, since the LM136-2.5 operates as a shunt regulator, it can be used as either a positive or negative voltage reference.

The LM136-2.5 is rated for operation over -55°C to +125°C while the LM236-2.5 is rated over a -25°C to +85°C temperature range.

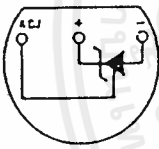
The LM336-2.5 is rated for operation over a 0°C to +70°C temperature range. See the connection diagrams for available packages.

Features

- Low temperature coefficient
- Wide operating current of 400 μA to 10 mA
- 0.2Ω dynamic impedance
- ± 1% initial tolerance available
- Guaranteed temperature stability
- Easily trimmed for minimum temperature drift
- Fast turn-on
- Three lead transistor package

Connection Diagrams

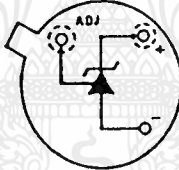
TO-92 Plastic Package



Bottom View

Order Number LM236Z-2.5, LM236AZ-2.5, LM336Z-2.5 or LM336BZ-2.5
See NS Package Number Z03A

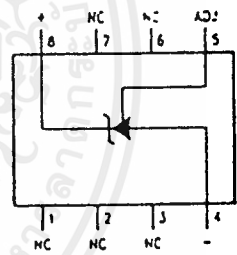
TO-46 Metal Can Package



Bottom View

Order Number LM136H-2.5, LM136H-2.5/883, LM236H-2.5, LM136AH-2.5, LM136AH-2.5/883 or LM236AH-2.5
See NS Package Number H03H

SO Package

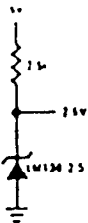


Top View

Order Number LM236M-2.5, LM236AM-2.5, LM336M-2.5 or LM336BM-2.5
See NS Package Number M08A

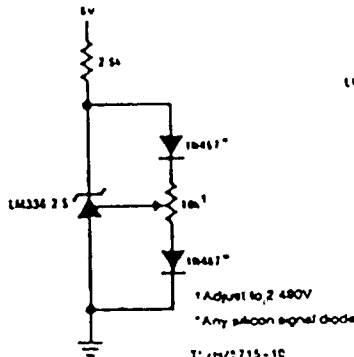
Typical Applications

2.5V Reference



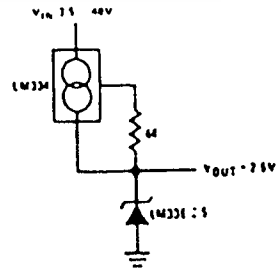
TJ/M/5715-9

2.5V Reference with Minimum Temperature Coefficient



TJ/M/5715-10

Wide Input Range Reference



TJ/M/5715-11

เอกสารนี้เป็นเอกสารที่สงวนไว้สำหรับการใช้งานเพื่อการศึกษาเท่านั้น ไม่อนุญาตให้นำไปใช้ประโยชน์ด้านการค้า
ไม่ว่ากรณีใดๆ ทั้งสิ้น อีกทั้งห้ามมิให้ดัดแปลงเนื้อหาและต้องอ้างอิงถึงเจ้าของเอกสารทุกครั้งที่มีการนำไปใช้

Absolute Maximum Ratings (Note 1)

If Military/Aerospace specified devices are required, please contact the National Semiconductor Sales Office/Distributors for availability and specifications.

Reverse Current	15 mA
Forward Current	10 mA
Storage Temperature	-60°C to +150°C
Operating Temperature Range (Note 2)	
LM136	-55°C to +150°C
LM236	-25°C to +85°C
LM336	0°C to +70°C

Soldering Information

TO-92 Package (10 sec.)	260°C
TO-46 Package (10 sec.)	300°C
SO Package	
Vapor Phase (60 sec.)	215°C
Infrared (15 sec.)	220°C

See AN-450 "Surface Mounting Methods and Their Effect on Product Reliability" (Appendix D) for other methods of soldering surface mount devices.

Electrical Characteristics (Note 3)

Parameter	Conditions	LM136A-2.5/LM236A-2.5 LM136-2.5/LM236-2.5			LM336B-2.5 LM336-2.5			Units
		Min	Typ	Max	Min	Typ	Max	
Reverse Breakdown Voltage	$T_A = 25^\circ\text{C}$, $I_R = 1\text{ mA}$ LM136, LM236, LM336 LM136A, LM236A, LM336B	2.440	2.490	2.540	2.390	2.490	2.590	V
		2.465	2.490	2.515	2.440	2.490	2.540	V
Reverse Breakdown Change With Current	$T_A = 25^\circ\text{C}$, $400\ \mu\text{A} \leq I_R \leq 10\text{ mA}$		2.6	6		2.6	10	mV
Reverse Dynamic Impedance	$T_A = 25^\circ\text{C}$, $I_R = 1\text{ mA}$, $f = 100\text{ Hz}$		0.2	0.6		0.2	1	Ω
Temperature Stability (Note 4)	V_R Adjusted to 2.490V $I_R = 1\text{ mA}$ (Figure 2) $0^\circ\text{C} \leq T_A \leq 70^\circ\text{C}$ (LM336) $-25^\circ\text{C} \leq T_A \leq +85^\circ\text{C}$ (LM236H, LM236Z) $-25^\circ\text{C} \leq T_A \leq +85^\circ\text{C}$ (LM236M) $-55^\circ\text{C} \leq T_A \leq +125^\circ\text{C}$ (LM136)					1.8	6	mV
			3.5	9				mV
			7.5	18				mV
			12	16				mV
Reverse Breakdown Change With Current	$400\ \mu\text{A} \leq I_R \leq 10\text{ mA}$		3	10		3	12	mV
Reverse Dynamic Impedance	$I_R = 1\text{ mA}$		0.4	1		0.4	1.4	Ω
Long Term Stability	$T_A = 25^\circ\text{C} \pm 0.1^\circ\text{C}$, $I_R = 1\text{ mA}$, $t = 1000\text{ hrs}$		20			20		ppm

Note 1: Absolute Maximum Ratings indicate limits beyond which damage to the device may occur. Electrical specifications do not apply when operating the device beyond its specified operating conditions.

Note 2: For elevated temperature operation, T_J max is:

LM136	150°C
LM236	125°C
LM336	100°C

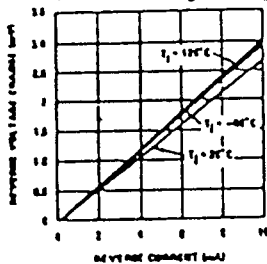
Thermal Resistance	TO-92	TO-46	SO-8
θ_{JA} (Junction to Ambient)	180°C/W (0.4" leads) 170°C/W (0.125" lead)	440°C/W	165°C/W
θ_{JC} (Junction to Case)	n/a	80°C/W	n/a

Note 3: Unless otherwise specified, the LM136-2.5 is specified from $-55^\circ\text{C} \leq T_A \leq +125^\circ\text{C}$, the LM236-2.5 from $-25^\circ\text{C} \leq T_A \leq +85^\circ\text{C}$ and the LM336-2.5 from $0^\circ\text{C} \leq T_A \leq +70^\circ\text{C}$.

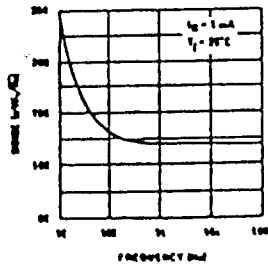
Note 4: Temperature stability for the LM336 and LM236 family is guaranteed by design. Design limits are guaranteed (but not 100% production tested) over the indicated temperature and supply voltage ranges. These limits are not used to calculate outgoing quality levels. Stability is defined as the maximum change in V_{BR} from 25°C to T_A (min) or T_A (max).

Typical Performance Characteristics

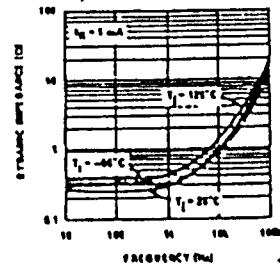
Reverse Voltage Change



Zener Noise Voltage

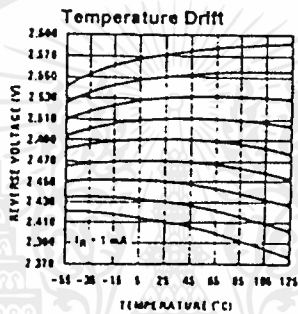
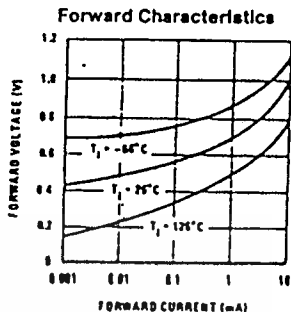
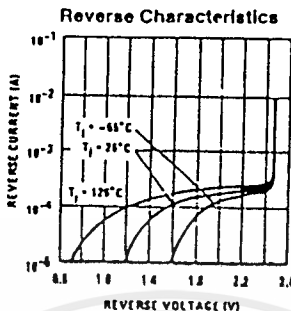
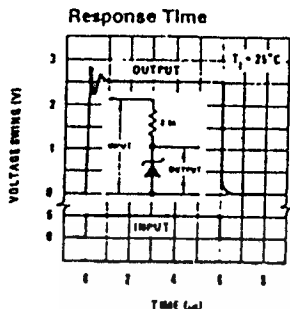


Dynamic Impedance



TLN5715-3

Typical Performance Characteristics (Continued)



TL/H/5715-3

Application Hints

The LM136 series voltage references are much easier to use than ordinary zener diodes. Their low impedance and wide operating current range simplify biasing in almost any circuit. Further, either the breakdown voltage or the temperature coefficient can be adjusted to optimize circuit performance.

Figure 1 shows an LM136 with a 10k potentiometer for adjusting the reverse breakdown voltage. With the addition of R1 the breakdown voltage can be adjusted without affecting the temperature coefficient of the device. The adjustment range is usually sufficient to adjust for both the initial device tolerance and inaccuracies in buffer circuitry.

If minimum temperature coefficient is desired, two diodes can be added in series with the adjustment potentiometer as shown in Figure 2. When the device is adjusted to 2.490V the temperature coefficient is minimized. Almost any silicon signal diode can be used for this purpose such as a 1N914, 1N4148 or a 1N457. For proper temperature compensation the diodes should be in the same thermal environment as the LM136. It is usually sufficient to mount the diodes near the LM136 on the printed circuit board. The absolute resistance of R1 is not critical and any value from 2k to 20k will work.

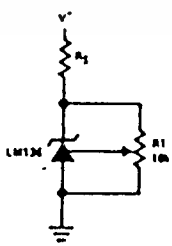


FIGURE 1. LM136 With Pot for Adjustment of Breakdown Voltage (Trim Range = ± 120 mV typical)

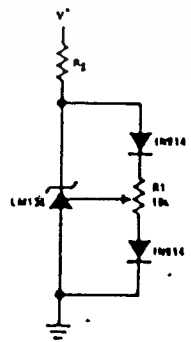
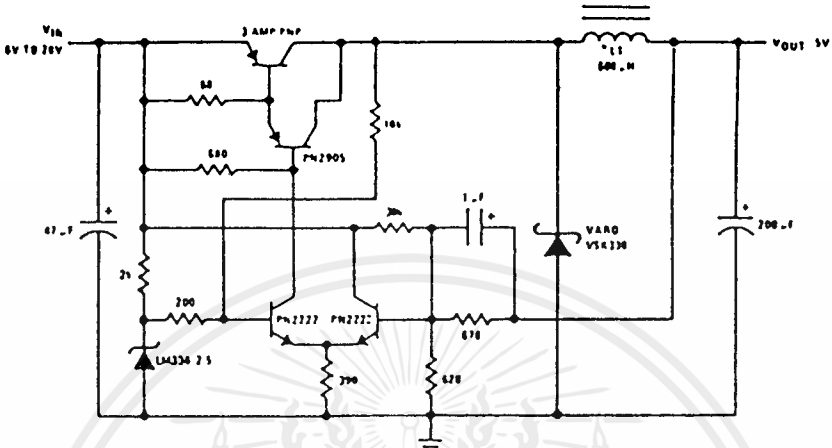


FIGURE 2. Temperature Coefficient Adjustment (Trim Range = ± 70 mV typical)

TL/H/5716-4

Typical Applications (Continued)

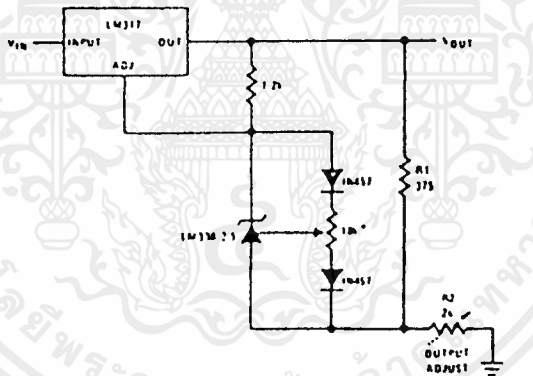
Low Cost 2 Amp Switching Regulator¹



¹L1 60 turns #16 wire on Arnold Core A-254168-2
 1 Efficiency = 80%

TL/H/5715-5

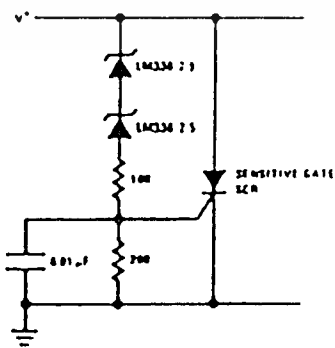
Precision Power Regulator with Low Temperature Coefficient



*Adjust for 3.75V across R1

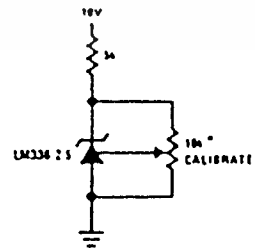
TL/H/5715-13

5V Crowbar



TL/H/5715-14

Trimmed 2.5V Reference with Temperature Coefficient Independent of Breakdown Voltage



*Does not affect temperature coefficient

TL/H/5715-15

ADC0801/ADC0802/ADC0803/ADC0804/ADC0805 8-Bit μ P Compatible A/D Converters

General Description

The ADC0801, ADC0802, ADC0803, ADC0804 and ADC0805 are CMOS 8-bit successive approximation A/D converters that use a differential potentiometric ladder—similar to the 256R products. These converters are designed to allow operation with the NSC800 and INS800A derivative control bus with TRI-STATE[®] output latches directly driving the data bus. These A/Ds appear like memory locations or I/O ports to the microprocessor and no interfacing logic is needed.

Differential analog voltage inputs allow increasing the common-mode rejection and offsetting the analog zero input voltage value. In addition, the voltage reference input can be adjusted to allow encoding any smaller analog voltage span to the full 8 bits of resolution.

Features

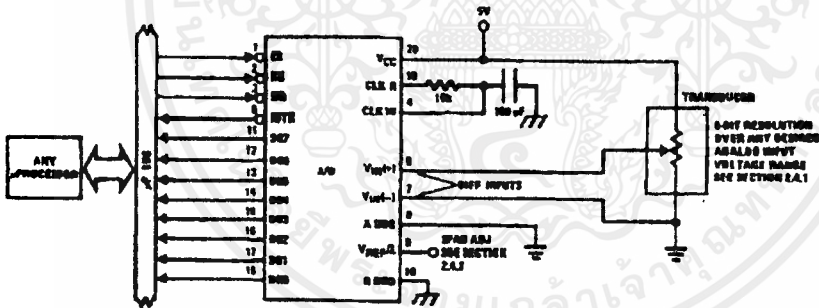
- Compatible with 8080 μ P derivatives—no interfacing logic needed - access time - 135 ns
- Easy interface to all microprocessors, or operates "stand alone"

- Differential analog voltage inputs
- Logic inputs and outputs meet both MOS and TTL voltage level specifications
- Works with 2.5V (LM336) voltage reference
- On-chip clock generator
- 0V to 5V analog input voltage range with single 5V supply
- No zero adjust required
- 0.3" standard width 20-pin DIP package
- 20-pin molded chip carrier or small outline package
- Operates ratiometrically or with 5 V_{DC}, 2.5 V_{DC}, or analog span adjusted voltage reference

Key Specifications

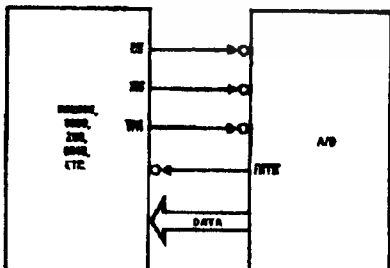
- Resolution: 8 bits
- Total error: $\pm 1/4$ LSB, $\pm 1/2$ LSB and ± 1 LSB
- Conversion time: 100 μ s

Typical Applications



TL/H/6671-1

8080 Interface

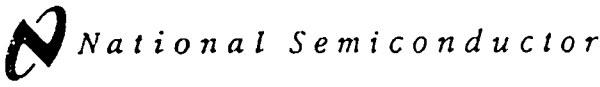


TL/H/6671-31

Error Specification (Includes Full-Scale, Zero Error, and Non-Linearity)

Part Number	Full-Scale Adjusted	V _{REF} /2 = 2.500 V _{DC} (No Adjustments)	V _{REF} /2 = No Connection (No Adjustments)
ADC0801	$\pm 1/4$ LSB		
ADC0802		$\pm 1/4$ LSB	
ADC0803	$\pm 1/2$ LSB		
ADC0804		± 1 LSB	
ADC0805			± 1 LSB

TRI-STATE[®] is a registered trademark of National Semiconductor Corp.
Z-80[®] is a registered trademark of Zilog Corp.



LM136-2.5/LM236-2.5/LM336-2.5V Reference Diode

General Description

The LM136-2.5/LM236-2.5 and LM336-2.5 integrated circuits are precision 2.5V shunt regulator diodes. These monolithic IC voltage references operate as a low-temperature-coefficient 2.5V zener with 0.2Ω dynamic impedance. A third terminal on the LM136-2.5 allows the reference voltage and temperature coefficient to be trimmed easily.

The LM136-2.5 series is useful as a precision 2.5V low voltage reference for digital voltmeters, power supplies or op amp circuitry. The 2.5V make it convenient to obtain a stable reference from 5V logic supplies. Further, since the LM136-2.5 operates as a shunt regulator, it can be used as either a positive or negative voltage reference.

The LM136-2.5 is rated for operation over -55°C to +125°C while the LM236-2.5 is rated over a -25°C to +85°C temperature range

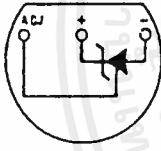
The LM336-2.5 is rated for operation over a 0°C to +70°C temperature range. See the connection diagrams for available packages

Features

- Low temperature coefficient
- Wide operating current of 400 μA to 10 mA
- 0.2Ω dynamic impedance
- ± 1% initial tolerance available
- Guaranteed temperature stability
- Easily trimmed for minimum temperature drift
- Fast turn-on
- Three lead transistor package

Connection Diagrams

TO-92 Plastic Package

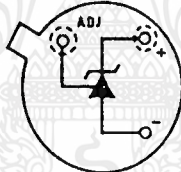


TL/M/5715-B

Bottom View

Order Number LM236Z-2.5, LM236AZ-2.5, LM336Z-2.5 or LM336BZ-2.5
See NS Package Number Z03A

TO-46 Metal Can Package

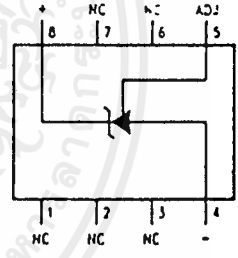


TL/M/5715-Z

Bottom View

Order Number LM136H-2.5, LM136H-2.5/883, LM236H-2.5, LM136AH-2.5, LM136AH-2.5/883 or LM236AH-2.5
See NS Package Number H03H

SO Package



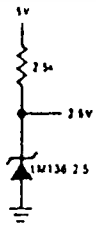
TL/M/5715-12

Top View

Order Number LM236M-2.5, LM236AM-2.5, LM336M-2.5 or LM336BM-2.5
See NS Package Number M08A

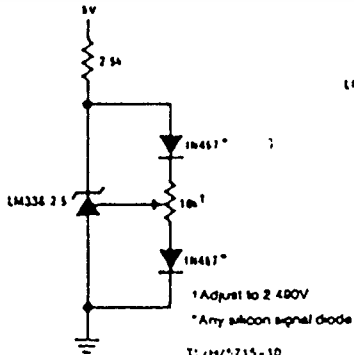
Typical Applications

2.5V Reference



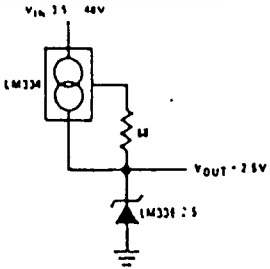
TL/M/5715-9

2.5V Reference with Minimum Temperature Coefficient



TL/M/5715-10

Wide Input Range Reference



TL/M/5715-11

Functional Description (Continued)

SAMPLE PROGRAM FOR FIGURE 14 ADC0801-MC6800 CPU INTERFACE

```

0010    DF 36          DATAIN    STX          TEMP2          ; Save contents of X
0012    CE 00 2C      LDX          #002C          ; Upon IRQ low CPU
0015    FF FF F8      STX          $FFF8          ; jumps to 002C
0018    B7 50 00      STAA         $5000          ; Start ADC0801
001B    0E
001C    3E          CONVRT      WAI
001D    DE 34          LDX          TEMP1          ; Wait for interrupt
001F    8C 02 0F      CFX          #020F          ; Is final data stored?
0022    27 14          BRQ          RNDP
0024    B7 50 00      STAA         $5000          ; Restarts ADC0801
0027    08
0028    DF 34          STX          TEMP1
002A    20 F0          BRA          CONVRT
002C    DE 34          INTRPT      LDX          TEMP1
002E    B8 50 00      LDAA         $5000          ; Read data
0031    A7 00          STAA         X              ; Store it at X
0033    3E
0034    02 00          TEMP1      FDB          $0200          ; Starting address for
0036    00 00          TEMP2      FDB          $0000          ; data storage
0038    CE 02 00      RNDP        LDX          #0200          ; Reinitialize TEMP1
003B    DF 34          STX          TEMP1
003D    DE 36          LDX          TEMP2
003F    39          RTS
    
```

; Return from subroutine
; To user's program

Note 1: In order for the microprocessor to service subroutines and interrupts, the stack pointer must be incremented in the user's program.

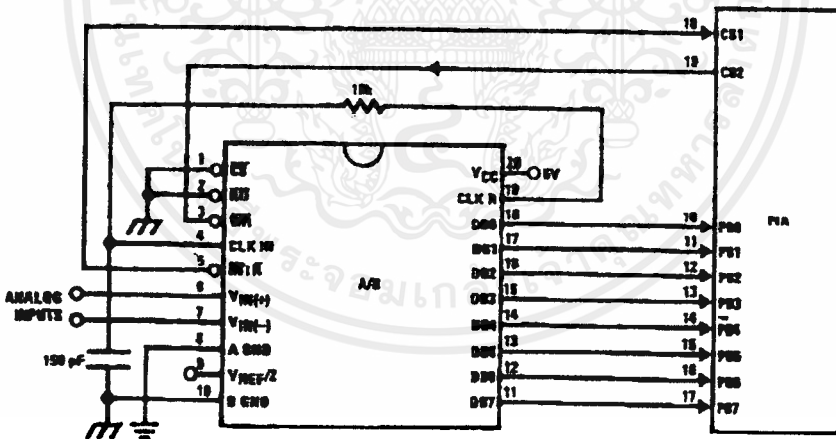
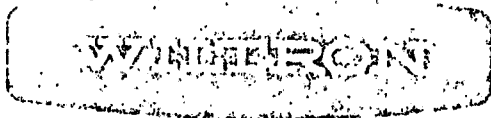


FIGURE 15. ADC0801-MC6820 PIA interface

TL/H/5671-25



INSTRUCTION SHEET FOR WILTRON RF DETECTORS

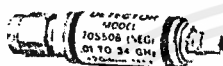
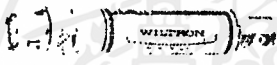
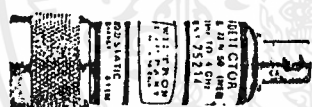
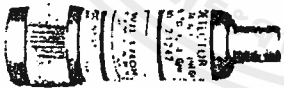
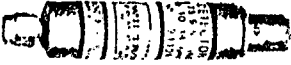
1. GENERAL INFORMATION

WILTRON RF Detectors are available in a variety of frequency ranges, impedances, output polarities, and connector types. The WILTRON Series includes general purpose, extended

bandwidth, instrumentation, and OEM detectors.

Table 1 contains a brief description of each series of RF Detectors. Table 2 provides detailed specifications.

Table 1. RF Detector Series, Summary

SERIES MODEL NUMBER	DESCRIPTION
70 SERIES 	Extended Bandwidth. Frequency range, 10 MHz to 40 GHz. K male input connector. SMC male output connector.
71 SERIES 	General Purpose. Frequency range, 100 kHz to 3 GHz with 50-ohm impedance and 100 kHz to 2 GHz with 75-ohm impedance. Positive or Negative output voltage. BNC input and output connectors.
73 SERIES 	General Purpose. Frequency range, 100 kHz to 4 GHz with 50-ohm impedance and 100 kHz to 2 GHz with 75-ohm impedance. Type N input connector, BNC output connector.
74 SERIES 	General Purpose. Wideband frequency range, 10 MHz to 12.4 GHz. 50-ohm impedance. Type N input connector, BNC output connector.
75 SERIES 	Extended Bandwidth. Frequency range, 10 MHz to 40.0 GHz. Type N, GPC-7 or K male input connector. BNC output connector. 50-ohm impedance.

490 JARVIS DRIVE, MORGAN HILL, CA 95037-2809
TEL. (408) 778-2000, TELEX 285227 WILTRON MH, FAX 408-778-0239

PRINTED: DECEMBER 1989
COPYRIGHT 1977 WILTRON COMPANY

P/N: 10100-00010
REVISION: 1

เอกสารนี้เป็นเอกสารที่สงวนไว้สำหรับการใช้งานเพื่อการศึกษาเท่านั้น ไม่อนุญาตให้นำไปใช้ประโยชน์ด้านการค้า
ไม่ว่ากรณีใดๆ ทั้งสิ้น อีกทั้งห้ามมิให้ตัดแปลงเนื้อหาและต้องอ้างอิงถึงเจ้าของเอกสารทุกครั้งที่มีการนำไปใช้

Table 2. Specifications

Model	Frequency Range	Flatness (dB)	Connectors		Impedance (Ohms)	SWR Maximum	Low Level Sensitivity at -30 dBm (mV/μW)	High Level Sensitivity at +13 dBm (Volts, Min.)	Input Max. (mW)	Output Capacitance (pF)
			In	Out						
70KA50	0.01-20 GHz	± 0.5	K(m)	SMC(m)	50	1.33	0.5	1	100	30
70KB50	0.01-26.5 GHz	±0.5 to 20 GHz	K(m)	SMC(m)	50	1.33 to 20 GHz 1.5 to 26.5 GHz	0.5	1	100	30
70KC50	0.01-40 GHz	± 0.5 to 20 GHz ±1 to 26.5 GHz ±1.5 to 40 GHz	K(m)	SMC(m)	50	1.33 to 20 GHz 1.5 to 26.5 GHz 1.9 to 40 GHz	0.5	1	100	30
71B50	100 kHz-3 GHz	±0.5	BNC(m)	BNC(f)	50	1.2	0.35	1	100	500
71B75	100 kHz-2 GHz	±0.5	BNC(m)	BNC(f)	75	1.25	0.35	1	100	500
73N50	100 kHz-4 GHz	±0.5	N(m)	BNC(f)	50	1.2	0.35	1	100	500
73N75	100 kHz-2 GHz	±0.5	N(m)	BNC(f)	75	1.2	0.35	1	100	500
74N50B	0.01-12.4 GHz	±0.5	N(m)	BNC(f)	50	1.25 to 4.5 GHz 1.35 to 7 GHz 1.5 to 12.4 GHz	0.4	1	100	20
75A50	0.01-18.5 GHz	±0.5 to 12.4 GHz ±1 to 18.5 GHz	GPC-7	BNC(f)	50	1.25 to 4.5 GHz 1.35 to 7 GHz 1.5 to 12.4 GHz 1.6 to 18.5 GHz	0.4	1	100	20
75N50B	0.01-18.5 GHz	±0.5 to 12.4 GHz ±1 to 18.5GHz	N(m)	BNC(f)	50	1.25 to 4.5 GHz 1.35 to 7 GHz 1.5 to 12.4 GHz 1.6 to 18.5 GHz	0.4	1	100	20
75KA50	0.01-20 GHz	±0.5	K(m)	BNC(f)	50	1.33	0.4	1	100	20
75KB50	0.01-26.5 GHz	±0.5 to 20 GHz ±1 to 26.5 GHz	K(m)	BNC(f)	50	1.33 to 20 GHz 1.5 to 26.5 GHz	0.4	1	100	20
75KC50	0.01-40 GHz	±0.5 to 20 GHz ±1 to 26.5 GHz ±1.5 to 40 GHz	K(m)	BNC(f)	50	1.33 to 20 GHz 1.5 to 26.5 GHz 1.9 to 40 GHz	0.4	1	100	20

2. HANDLING PRECAUTIONS

CAUTION

Static electricity can damage the RF detector. Before picking up the RF detector, discharge body static electricity by touching the grounded chassis of the instrument used with the detector. Also, check that interconnecting cables and associated equipment are discharged before connecting them to the RF detector.

3. DIODE REPLACEMENT

WILTRON RF Detector Series 70, 71, 73, 74, and 75 have field-replaceable diodes. Table 3 lists the diode part numbers. To replace a diode, follow the steps in the applicable RF detector series diode replacement procedure.

Table 3. Diode Part Numbers

Series	Negative Polarity	Positive Polarity
70K Series (≤20 GHz)	A16177	A18948
70K Series (>20 GHz)	A16176	A18873
71 and 73 Series	10-A2X985	10A2X985
74N50B	A18735	A18736
75A50	10-75	10-75
75N50B	B16132	A18694
75K Series (≤20 GHz)	A16177	A18948
75K Series (>20 GHz)	A16176	A18873

กิตติกรรมประกาศ

ในการจัดทำปริญญานิพนธ์ฉบับนี้ จะสำเร็จสมบูรณ์ได้ด้วยความช่วยเหลือจากท่าน อาจารย์โมไนย ไกรฤกษ์ ที่ได้กรุณาเป็นอาจารย์ที่ปรึกษา และได้ให้คำปรึกษา วิชาความรู้ พร้อมให้คำแนะนำ และกำลังใจ ที่เป็นประโยชน์ในการจัดทำโครงการนี้ ผู้วิจัยรู้สึกซาบซึ้งในความอนุเคราะห์จากท่าน และ กราบขอบพระคุณเป็นอย่างสูง และ ขอขอบคุณชวงศ์ พงศ์เจริญพาณิชย์ และ คุณคมศักดิ์ เมฆสมุทร ที่ให้คำ ปรึกษาและช่วยเหลือทำให้งานสำเร็จลุล่วงไปด้วยดี รวมไปถึงเจ้าหน้าที่ประจำห้อง EMI/EMC ทุกท่านที่ให้ความช่วยเหลือและอำนวยความสะดวกด้านอุปกรณ์การวัดต่างๆ อีกทั้งขอขอบคุณบิดา มารดา และเพื่อนๆ ตลอดจนผู้มีอุปการะคุณทุกท่าน ที่ได้ให้ความช่วยเหลือ ถ้าหากมีข้อบกพร่องสิ่งหนึ่งประการใดแล้ว ข้าพเจ้า ในนามของผู้จัดทำต้องขออภัยไว้ ณ โอกาสนี้ด้วย

คุณค่าและประโยชน์อันพึงมีจากปริญญานิพนธ์ฉบับนี้ ผู้วิจัยขอมอบแด่ผู้มีพระคุณทุกท่าน



เอกสารนี้เป็นเอกสารที่สงวนไว้สำหรับการใช้งานเพื่อการศึกษาเท่านั้น ไม่อนุญาตให้นำไปใช้ประโยชน์ด้านการค้า ไม่ว่ากรณีใดๆ ทั้งสิ้น อีกทั้งห้ามมิให้คัดแปลงเนื้อหาและต้องอ้างอิงถึงเจ้าของเอกสารทุกครั้งที่มีการนำไปใช้

หนังสืออ้างอิง

- [1] Constantine A. Balanis, *Antenna Theory Analysis and Design*, 2nd ed. John Wiley & Sons, Inc
- [2] Hurray Hoffman, "Convention for the Analysis of Spherical Array" *IEEE TRANS. Antenna and Propagation*, Vol.30 ,PP 390-393, July 1963
- [3] Josh T. Nessmith, Willard T. Patton, "Tracking Antenna", Chapter 34 of *Antenna Handbook*, 2nd ed, R.C. John New York: Mcgraw-hill Book CO., 1984
- [4] Merrill, Skolnik, "Introduction to Radar System" Artech House, Norwood, MA 1994
- [5] Robert Boylestad, Louis Nashelsky, *Electronic Devices and Circuit Theory*, 5th ed Prentice Hall International, Inc 1992
- [6] รศ. ดร. โมไนย ไกรฤกษ์, "ทฤษฎี สายอากาศ", ฟิสิกส์ เซนเตอร์
- [7] รศ. สมยศ จุณณะปิยะ, "การใช้งานไมโครคอนโทรลเลอร์ตระกูล MCS 51" สถาบันเทคโนโลยีเจ้าคุณทหารลาดกระบัง กรุงเทพมหานคร

